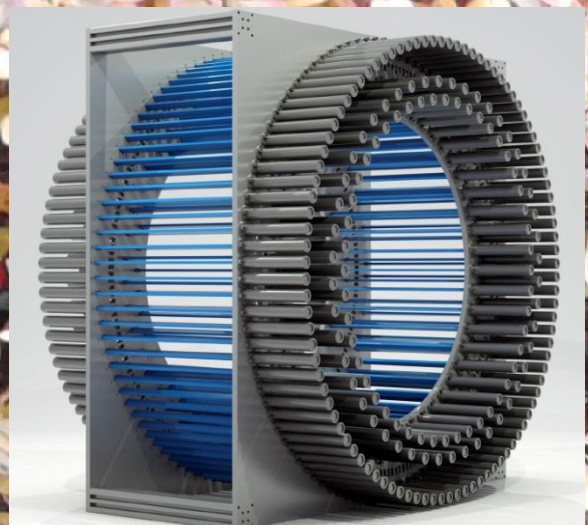




# Wgląd w naturę materii za pomocą anihilacji cząstek



Jagiellonian PET



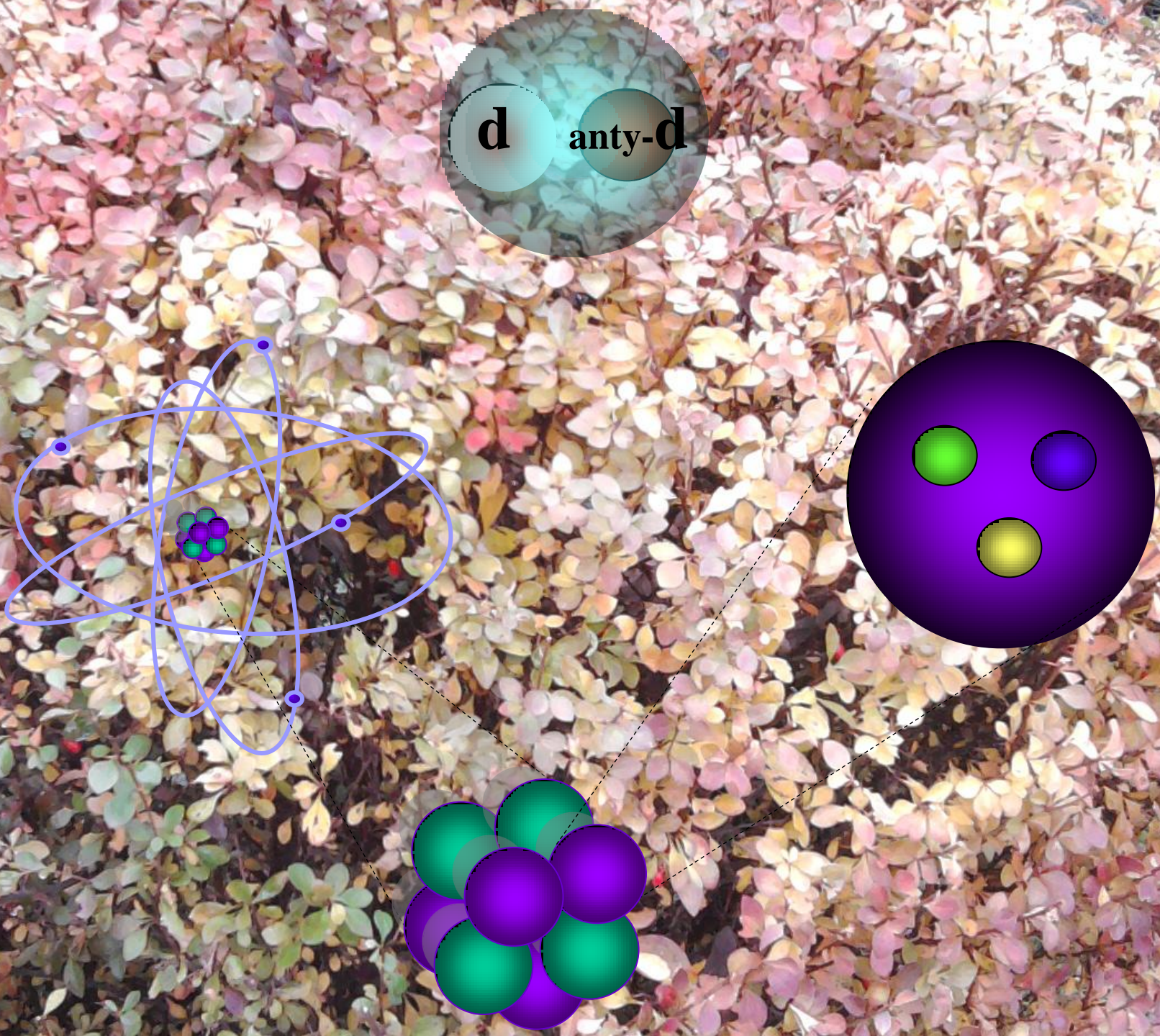
Seminarium, Wydział WFiS AGH, 8 kwietnia 2015

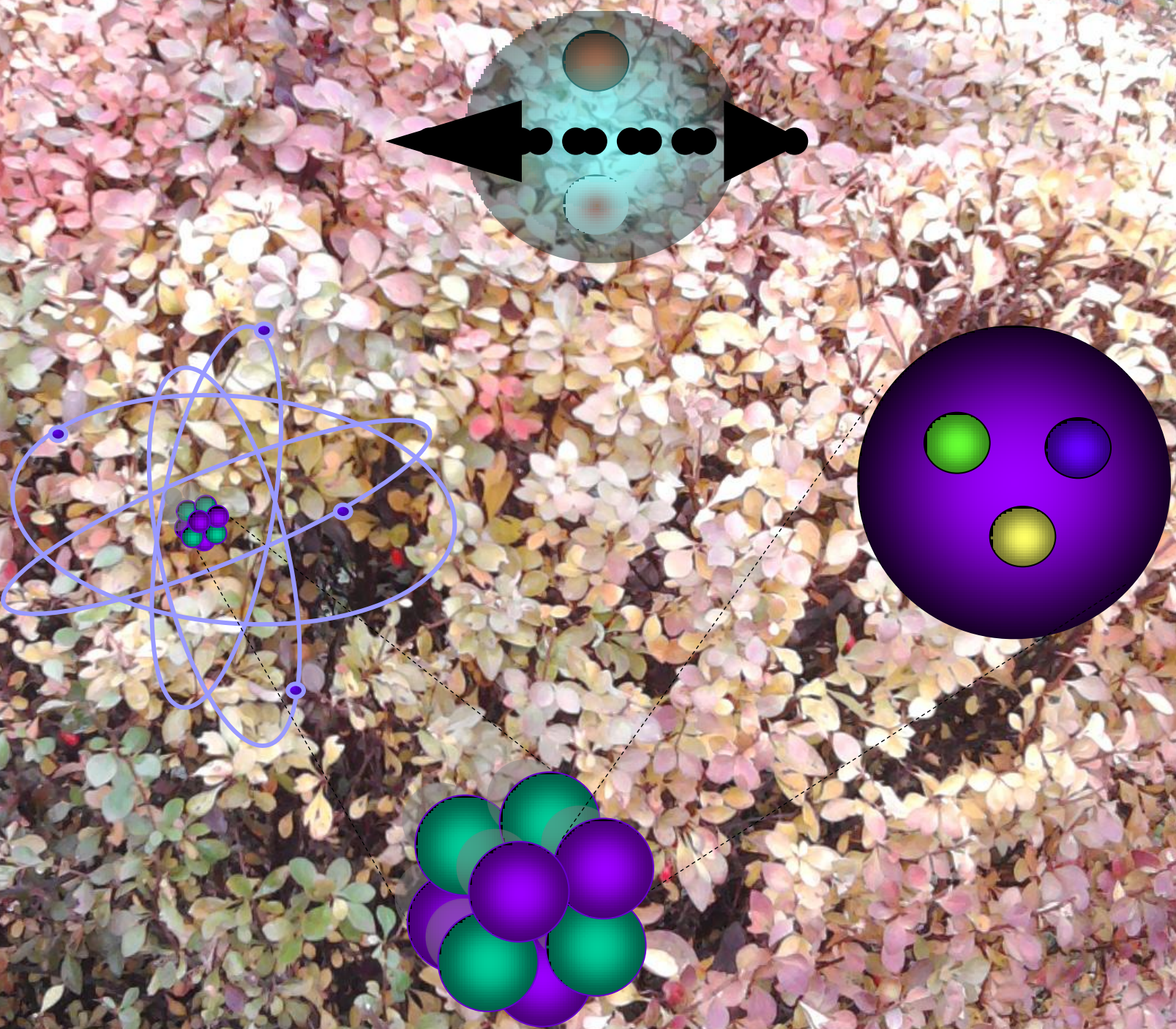
Paweł Moskal, Uniwersytet Jagielloński





- **materia -- anty-materia**
- **ciemny foton**
- **Jagiellonian PET**
- **symetrie dyskretne**
- **nano-struktura komórek**





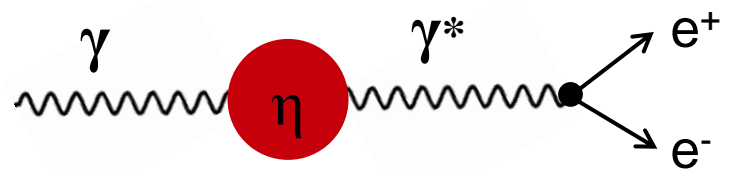


**E. Czerwiński, P.M. et al., Phys. Rev. Lett. 113 (2014) 062004**

**E. Czerwiński, P.M. et al., Phys. Rev. Lett. 105 (2010) 122001**

**R. Czyżykiewicz, P.M. et al., Phys. Rev. Lett. 98 (2007) 122003**

**P.M. et al., Phys. Rev. Lett. 80 (1998) 3202**





R. Pohl et al., The size of the proton, Nature 466 (2010) 213  
A. Liesenfeld et al., Phys. Lett. B468 (1999) 20

Czynniki postaci: J. Zdebik PhD JU (2013); M. Hodana PhD JU (2012)



# CHANDRA SATELLITE

[chandra.harvard.edu](http://chandra.harvard.edu)

0.5 Mpc





## Princess Elisabeth of Bohemia writes on 10.vi.1643:

„...I don't see how the idea that you used to have about weight can guide us to the idea we need in order to judge **how the (nonextended and immaterial) soul can move the body**”

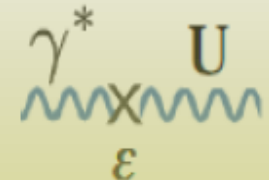


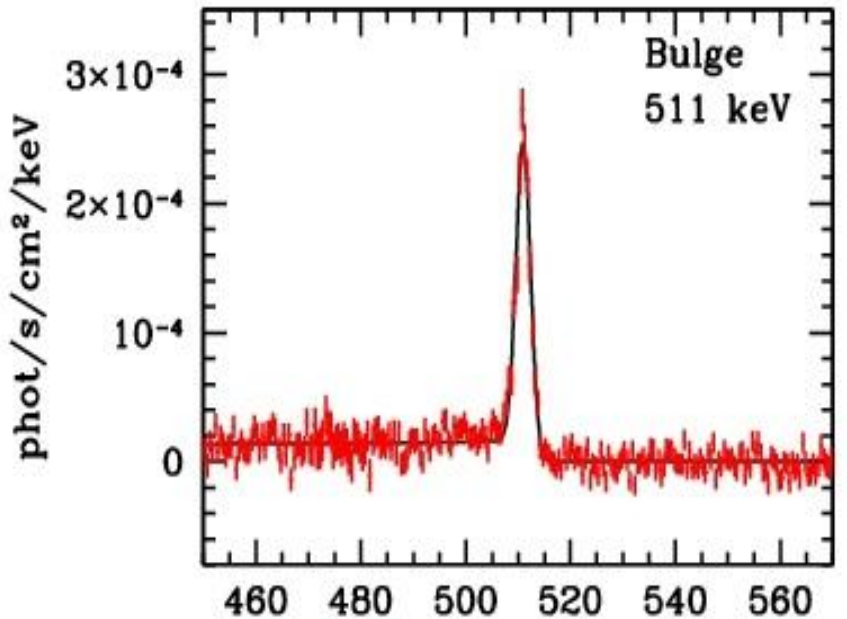
## Descartes writes on 28.vi.1643:

„...I ought to have made clear that although one may wish to think of the soul as material (...), that wouldn't stop one from realizing that the soul is separable from the body. I think that those cover everything that you asked me to do in your letter.”

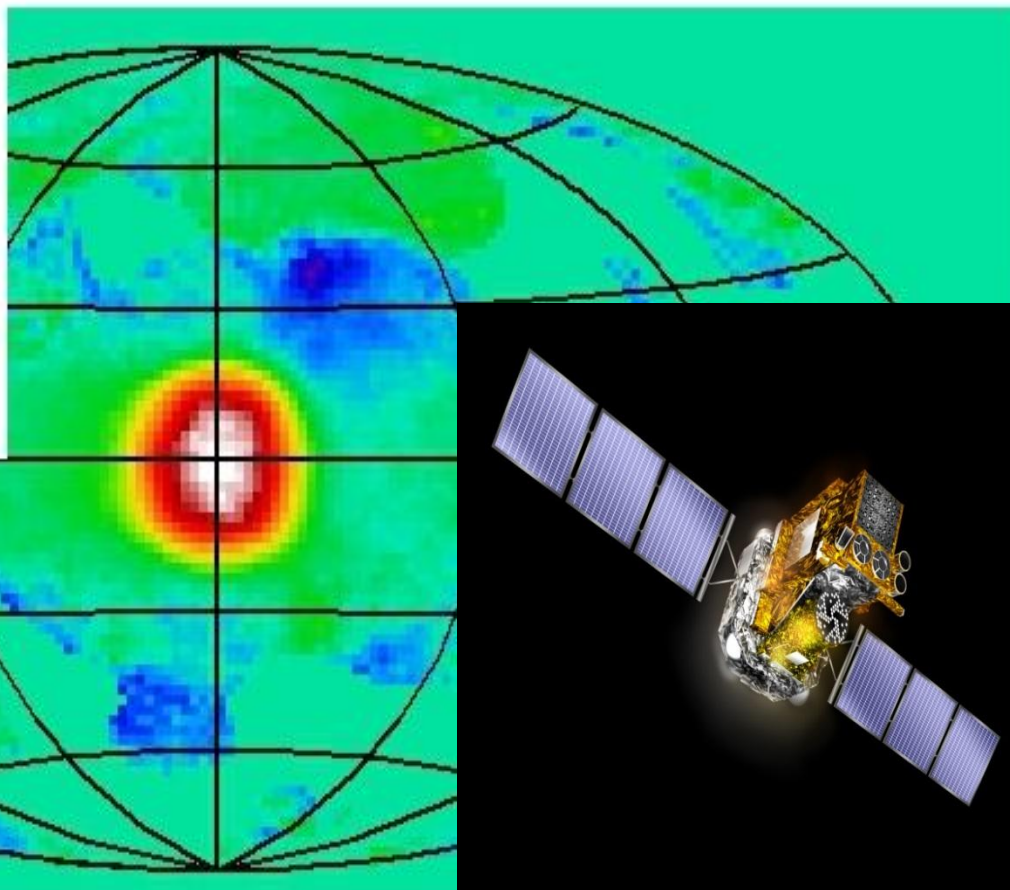
## Particle physics four centuries later: How the „non-SM dark matter” can move the „SM matter” ?:

$$\mathcal{L} = \mathcal{L}_{SM} - \frac{1}{4} F_{\mu\nu}^{dark} F_{dark}^{\mu\nu} - \frac{\epsilon}{2} F_{\mu\nu}^{dark} F^{\mu\nu} + |D^\mu \phi|^2 - V(\phi)$$

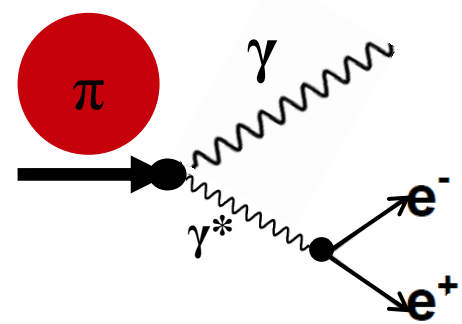


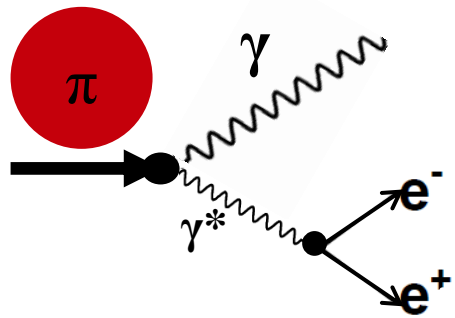
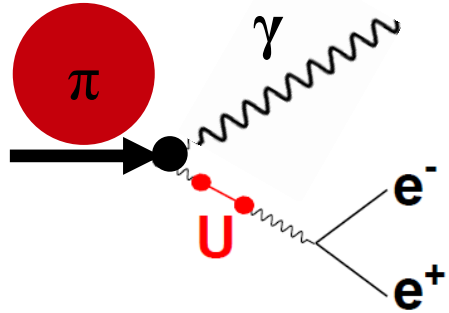
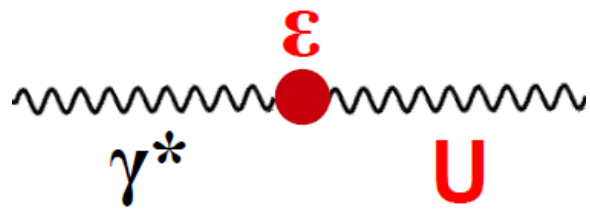


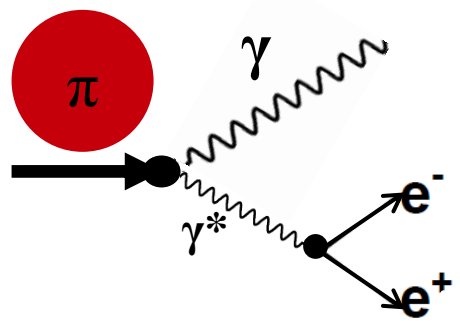
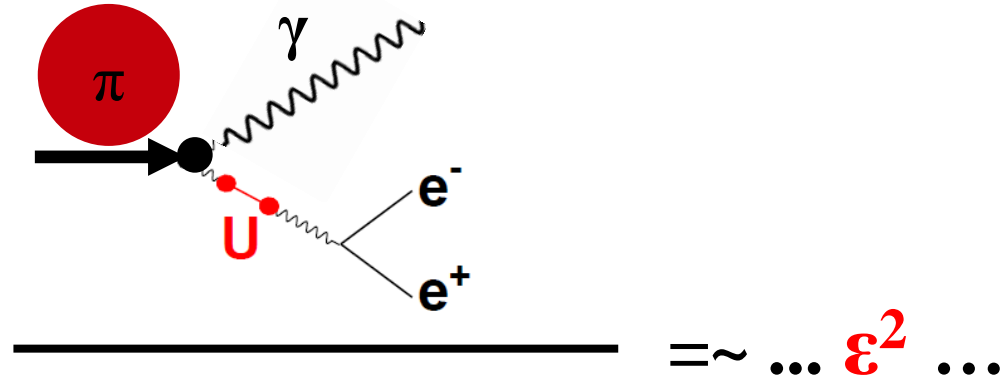
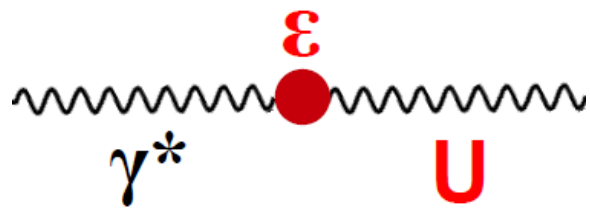
Bulge  
511 keV



# INTEGRAL SATELLITE









**WASA-at-COSY**



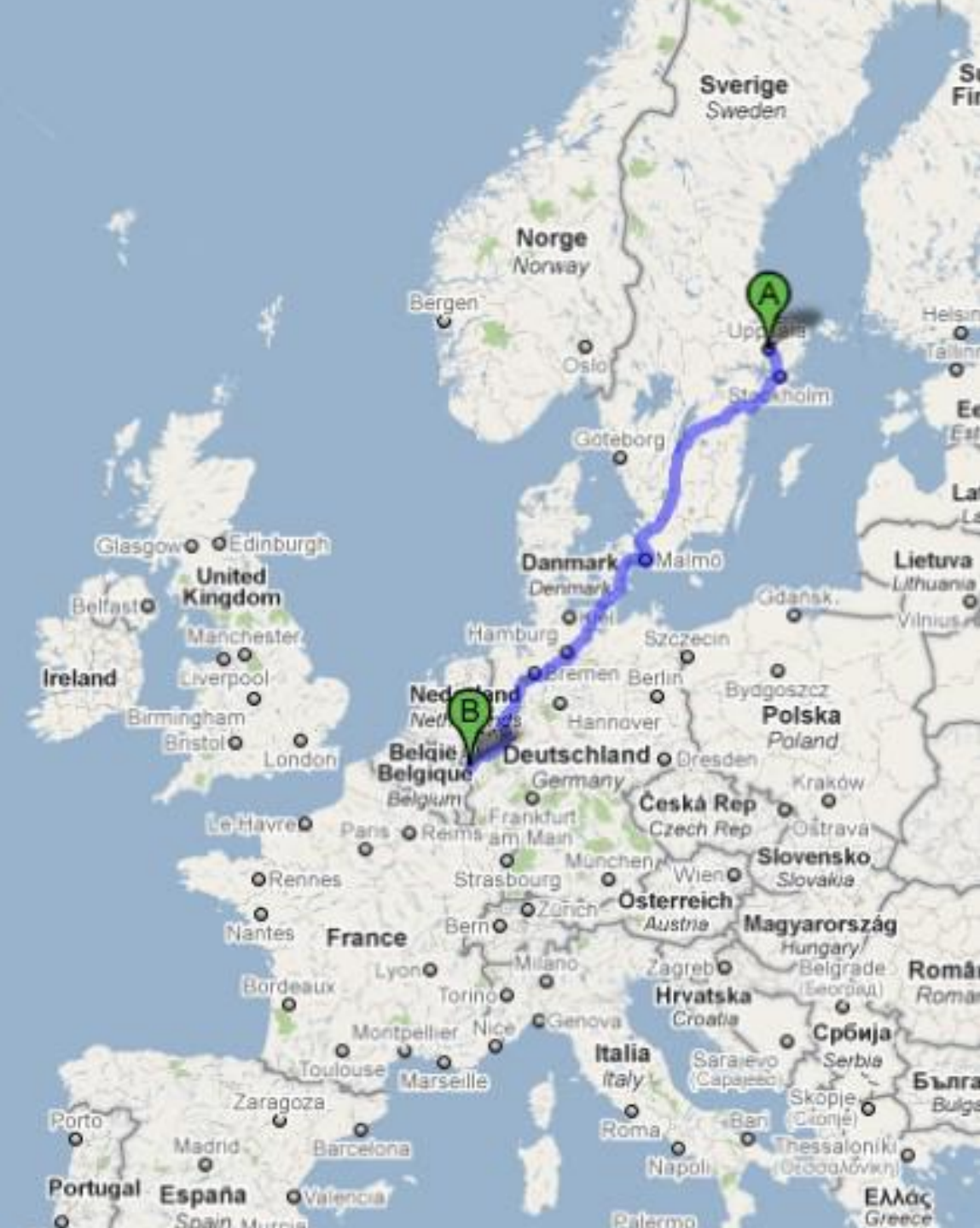
$10^9 \eta$  and  $10^{11} \pi^0$





## WASA

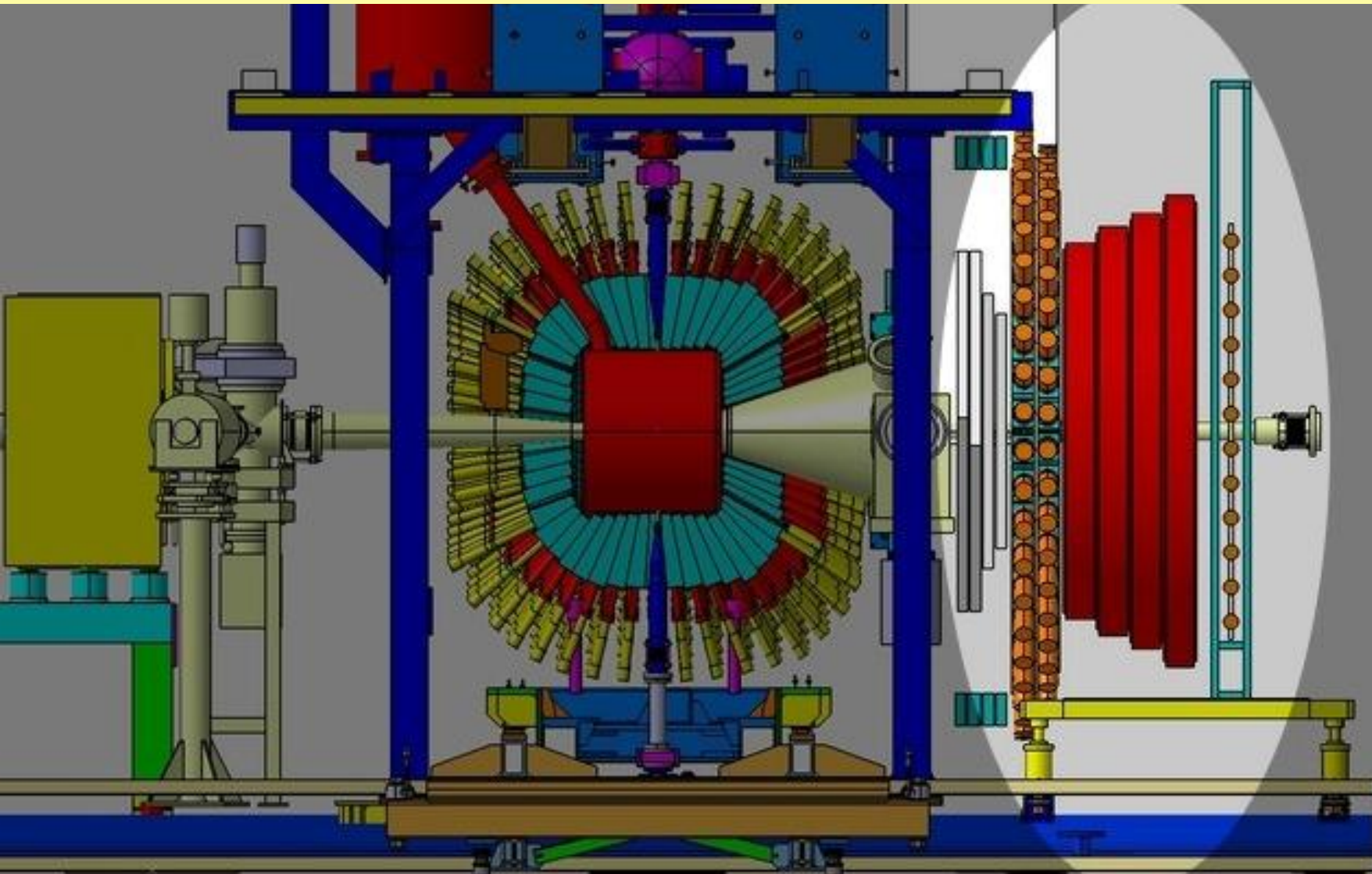
A WARSHIP built for the war with Poland  
which sank in 1628 in the middle of Stockholm harbour  
after sailing barely 1300 meters



# WASA-at-COSY

$pp \rightarrow pp \eta$

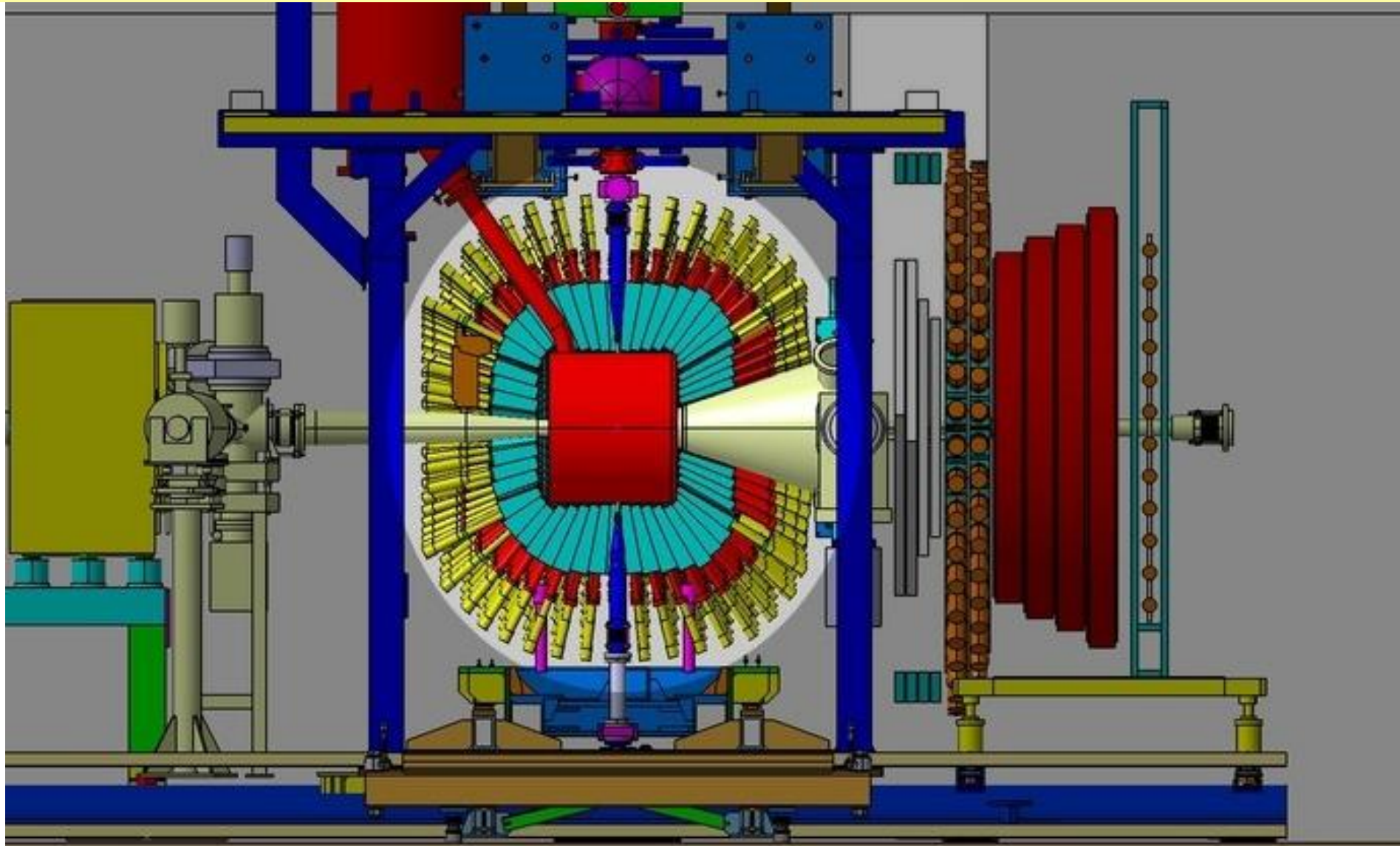
$pd \rightarrow {}^3\text{He} \eta$



# WASA-at-COSY

$pp \rightarrow pp \eta$

$pd \rightarrow {}^3\text{He} \eta$



# WASA-at-COSY

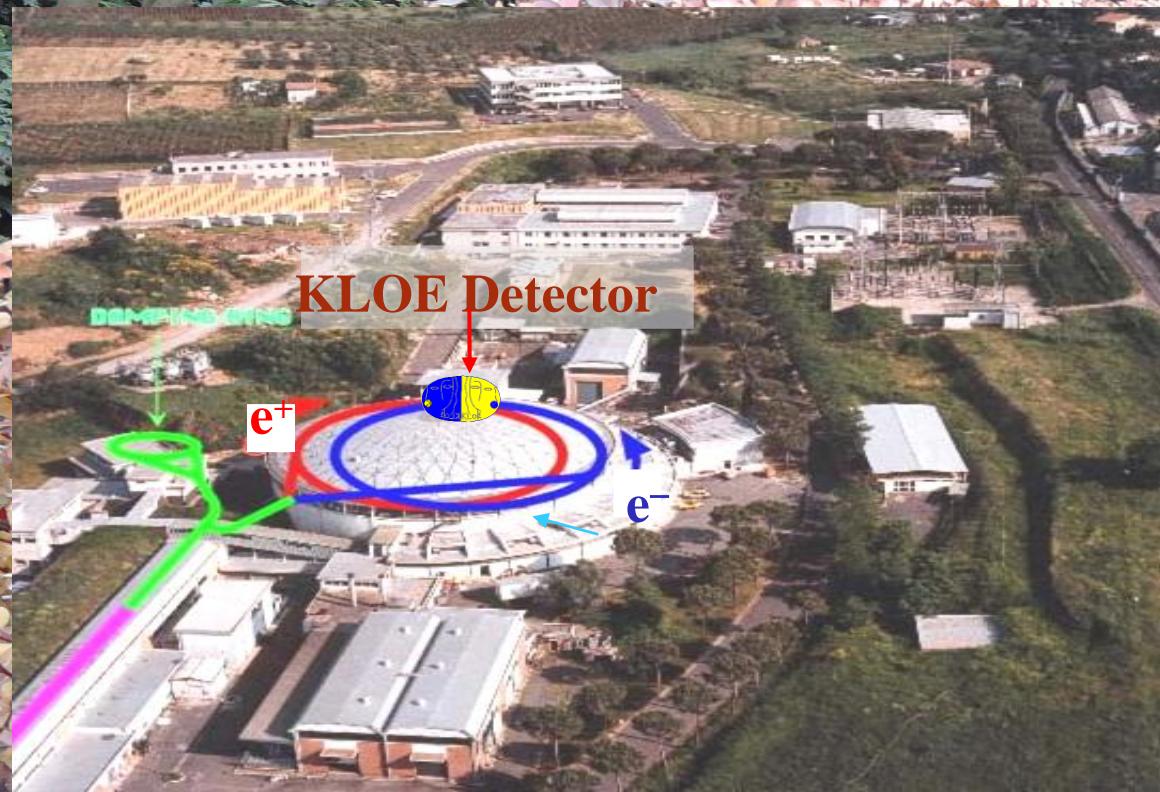
$pp \rightarrow pp \eta$

$pd \rightarrow {}^3\text{He} \pi$



# DAΦNE $e^+e^-$ collider

Frascati (Rome)



- $e^+e^- \rightarrow \phi$     $\sqrt{s} \sim m_\phi = 1019.4 \text{ MeV}$

*BR's for selected  $\phi$  decays*

$K^+K^-$       **49.1%**

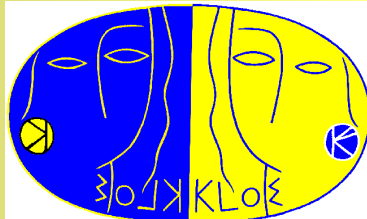
$K_S K_L$       **34.1%**

$\rho\pi + \pi^+\pi^-\pi^0$       **15.5%**

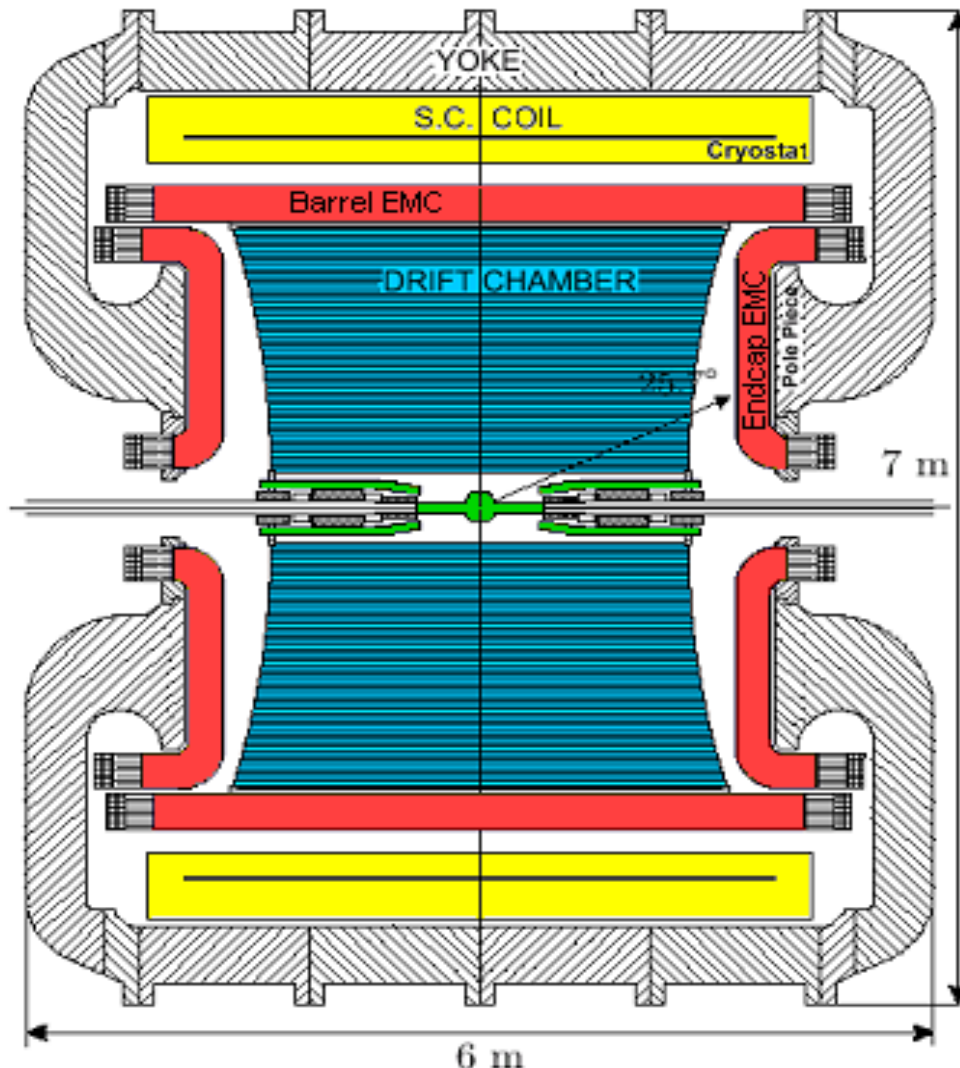
$\eta\gamma$       **1.3 %**

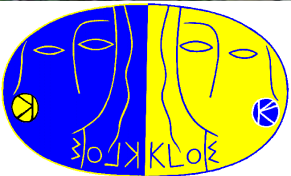
$\eta'\gamma$       **0.006%**

# KLOE



## K LOng Experiment





# KLOE → KLOE-2

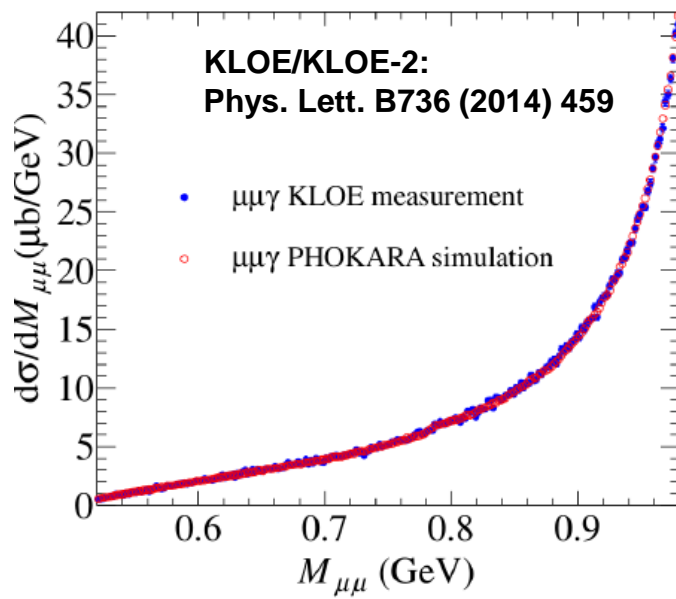
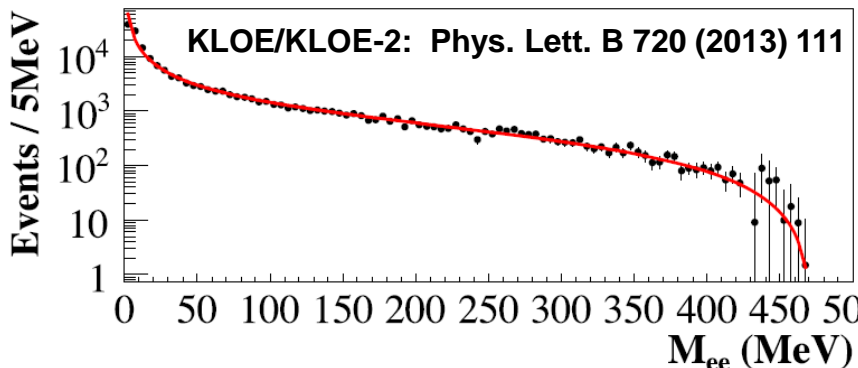
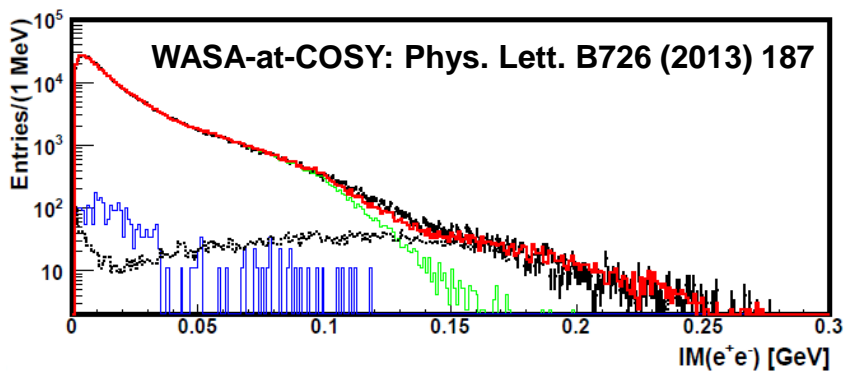
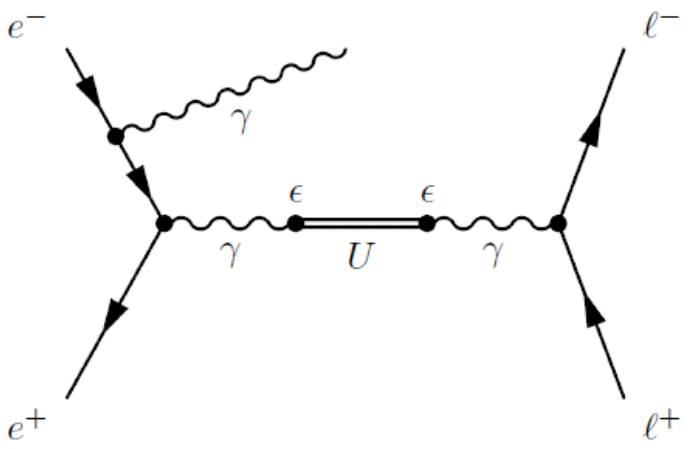
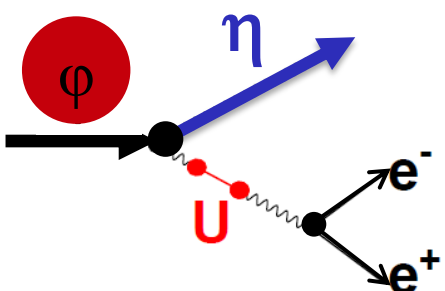
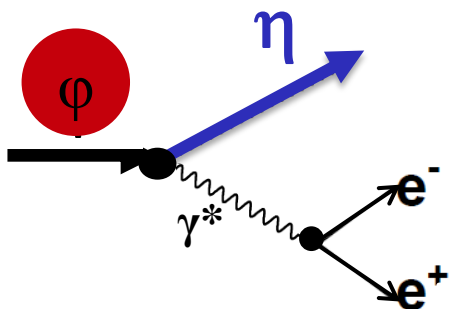
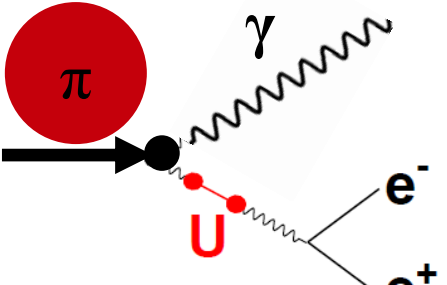
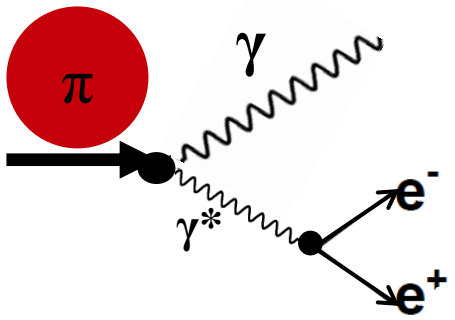


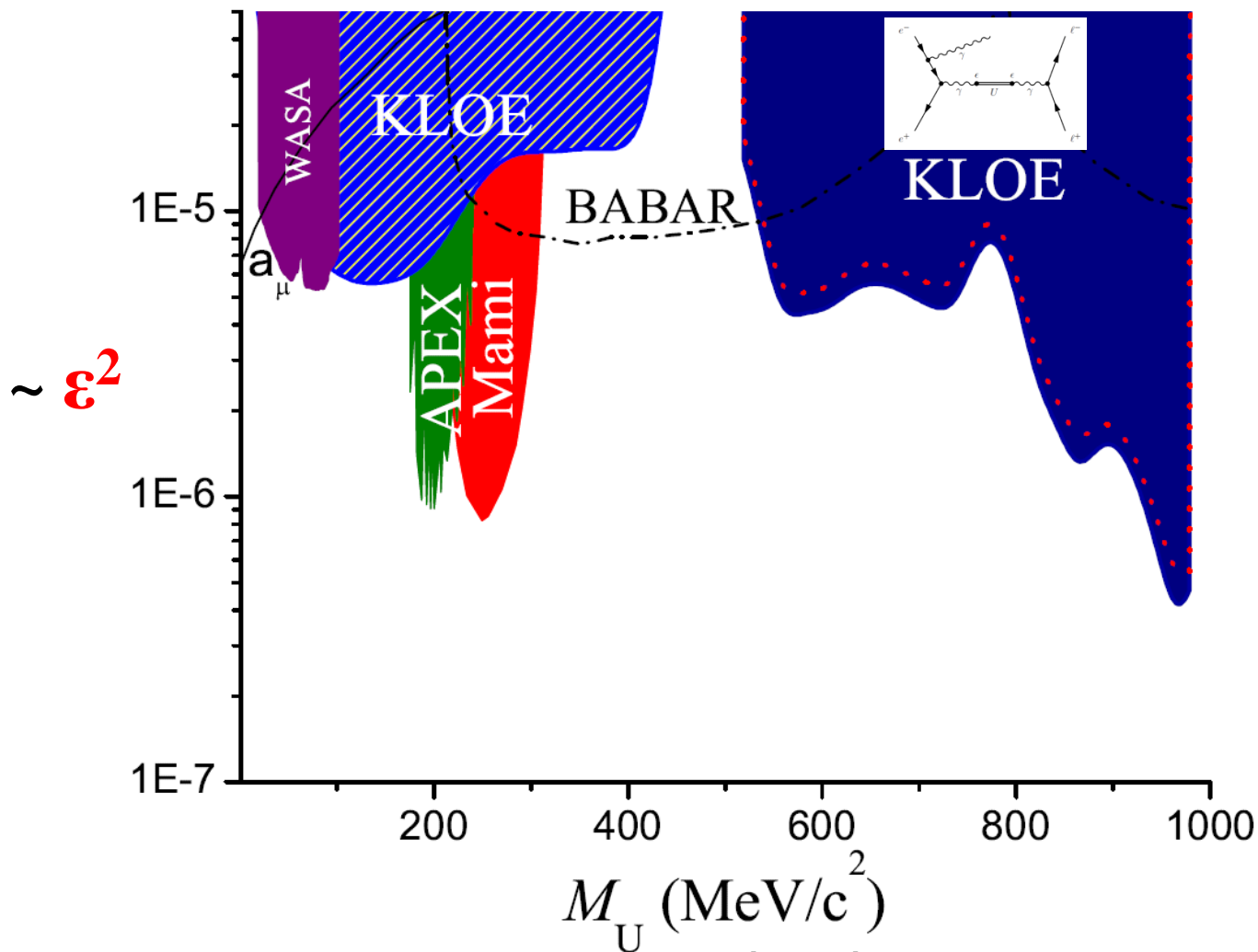
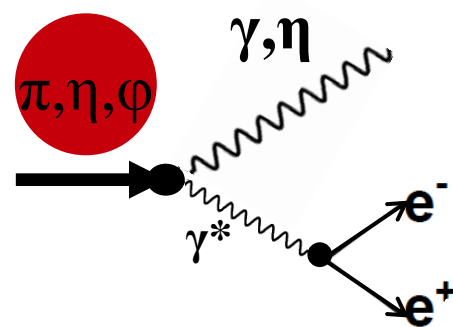
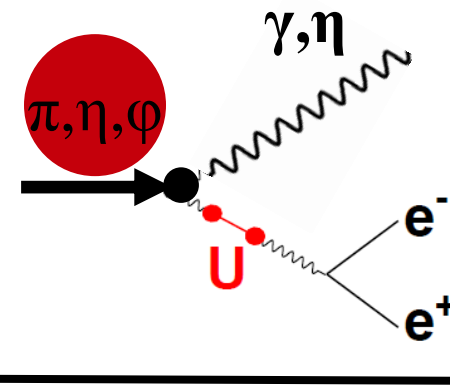
$2.5 \text{ fb}^{-1}$  →  $\sim 10 \text{ fb}^{-1}$  (expected)

$\sim 8 \cdot 10^9 \phi$  →  $\sim 3 \cdot 10^{10} \phi$

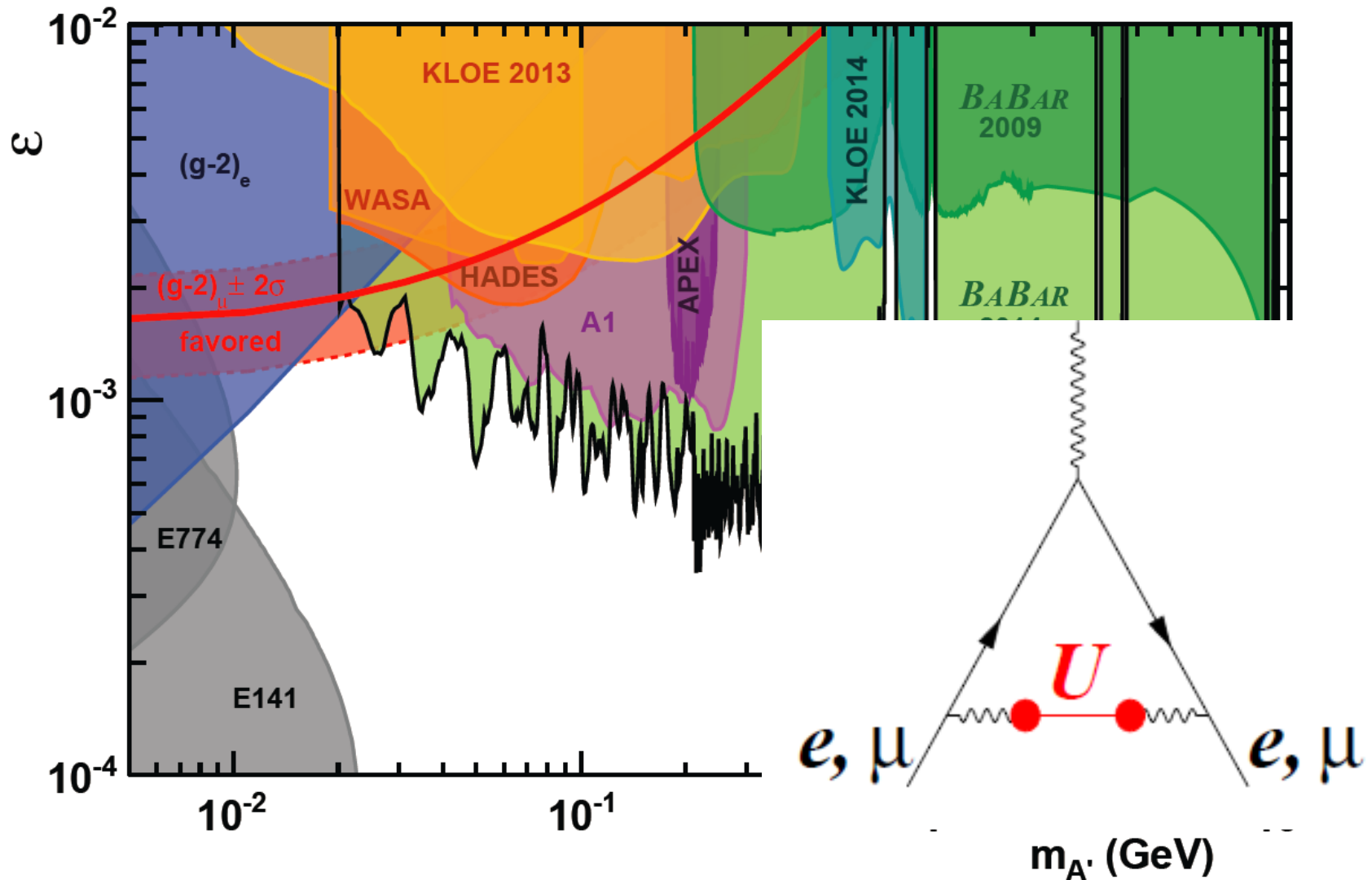
...

Detector upgrade completed  
Experimental campaign in progress ...

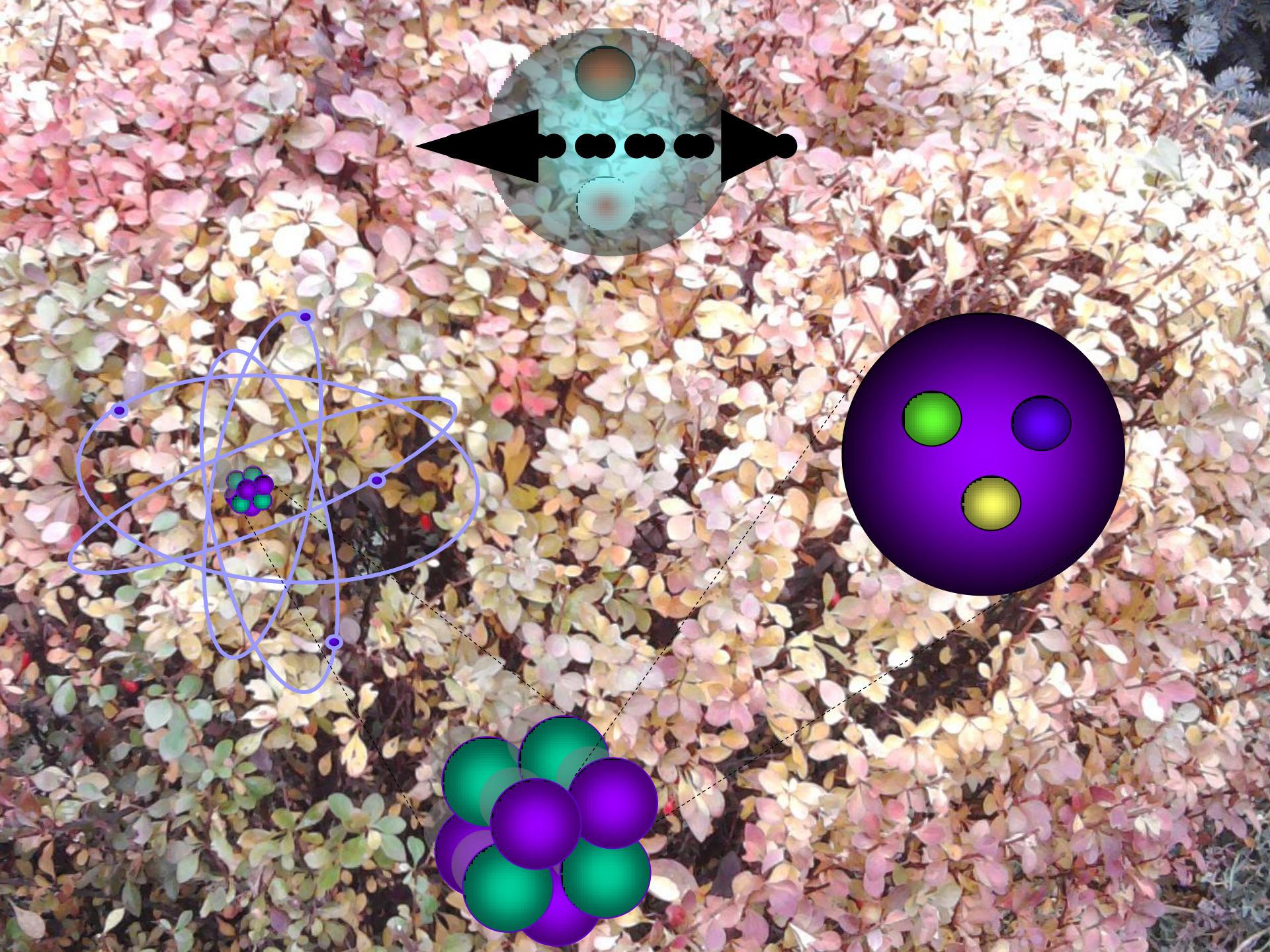


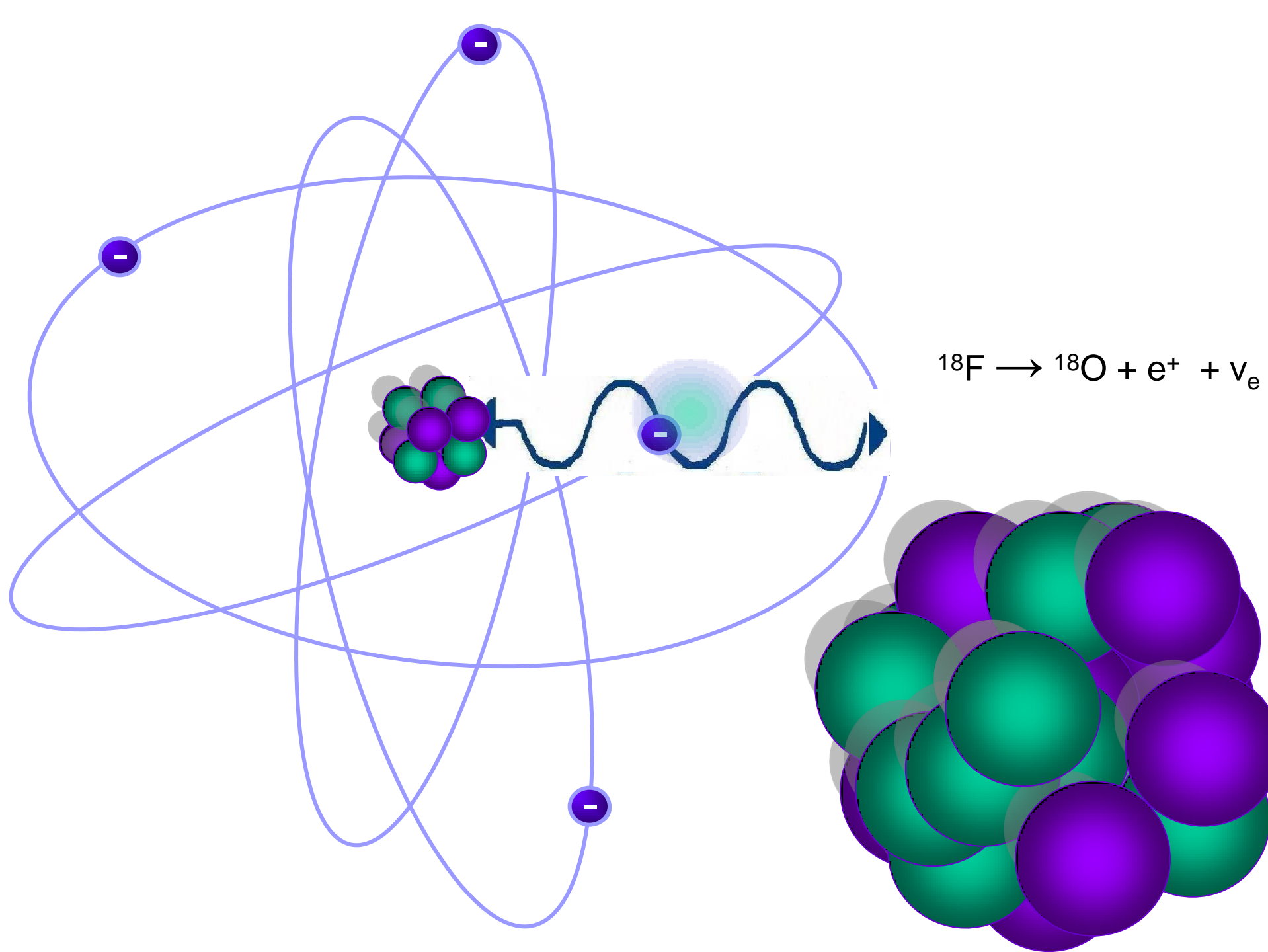


- APEX: S. Abrahamyan et al., Phys. Rev. Lett. 107 (2011) 191804
- BABAR: B. Aubert et al., Phys. Rev. Lett. 103 (2009) 081803
- KLOE/KLOE-2: F. Archilli et al., Phys. Lett. B 720 (2013) 111
- KLOE/KLOE-2: D. Babusci et al., Phys. Lett. B 706 (2012) 251
- MAMI: M. Merkel et al., Phys. Rev. Lett. 106 (2011) 251802
- WASA-at-COSY: P. Adlarson et al., Phys. Lett. B 726 (2013) 187
- KLOE/KLOE-2: D. Babusci et al., Phys. Lett. B 736 (2014) 459-464



**BABAR:** J.P. Lees et al., Phys.Rev.Lett. 113 (2014) 20, 201801  
**HADES:** G. Agakishiev et al., Phys.Lett. B731 (2014) 265-271



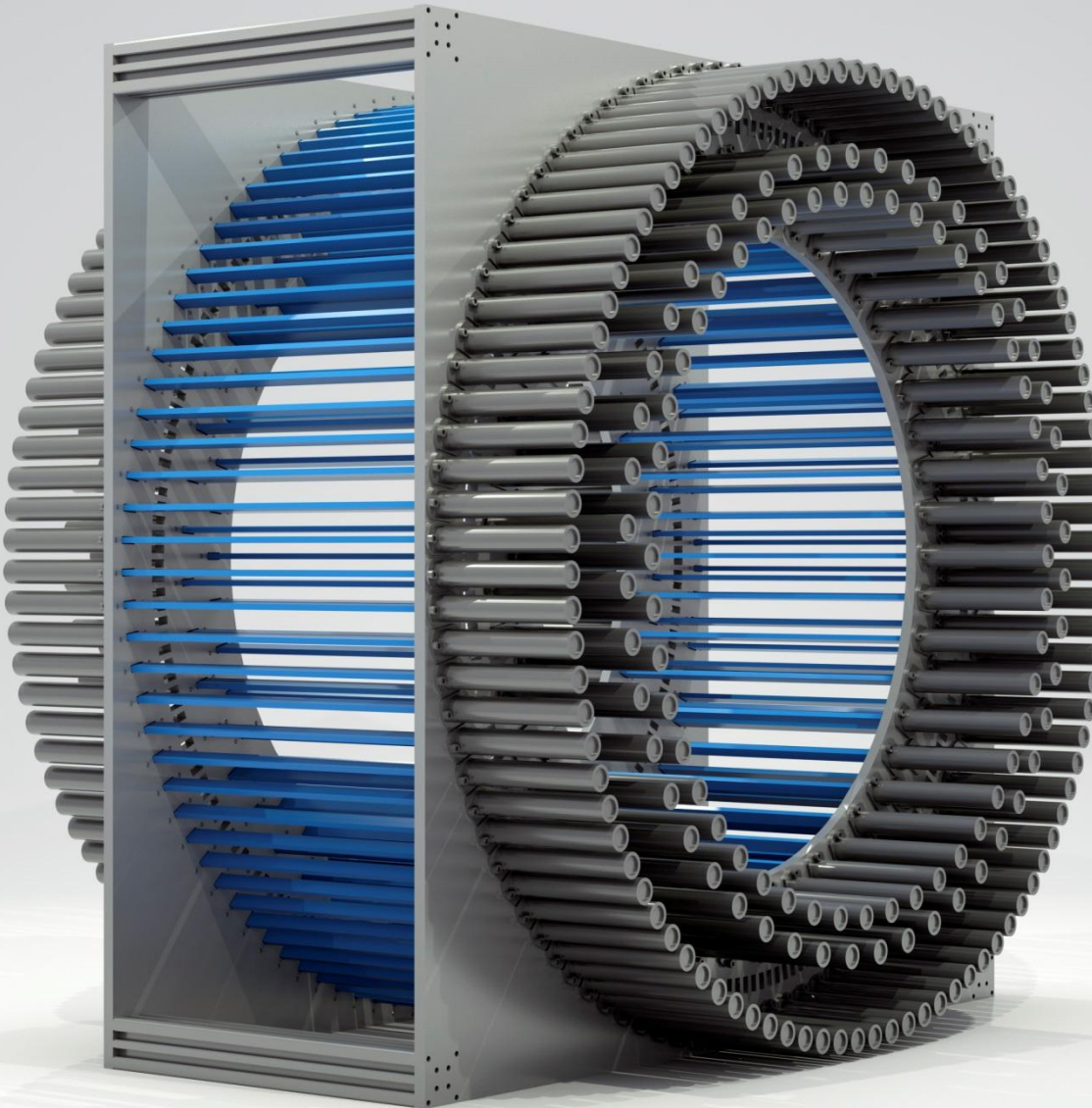




- materia -- anty-materia
- ciemny foton
- Jagielloński PET
- symetrie dyskretne
- nano-struktura komórek

Jagiellonian PET

# Jagiellonian PET



kryształy → plastiki



# Zupełnie nowe podejście nieakceptowane przez Ekspertów !



KAPITAŁ LUDZKI  
NARODOWA STRATEGIA SPÓŁNOŚCI

Projekt współfinansowany przez Unię Europejską  
w ramach Programu Operacyjnego Kapitał Ludzki

UNIA EUROPEJSKA  
EUROPEJSKI  
FUNDUSZ SPOŁECZNY



*numer umowy:* Umowa nr CITTRU/061023/01/10/2009

*platne ze środków:* budżetu projektu Kompas innowacji (PSP:S/FS0/0023)

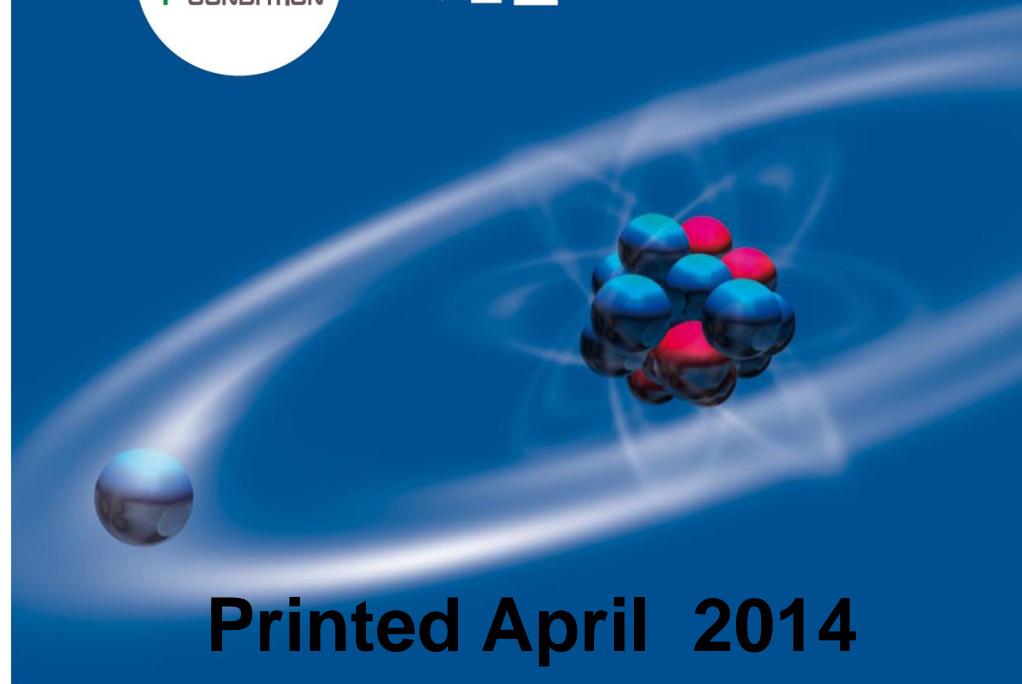
*jednostka organizacyjna:* CITTRU

Warszawa, dnia 17 listopada 2009 roku.

**P. M., Patent (2014) Nr EP2454612B1, WO2011008119,  
EP2454611, WO2011008118.**

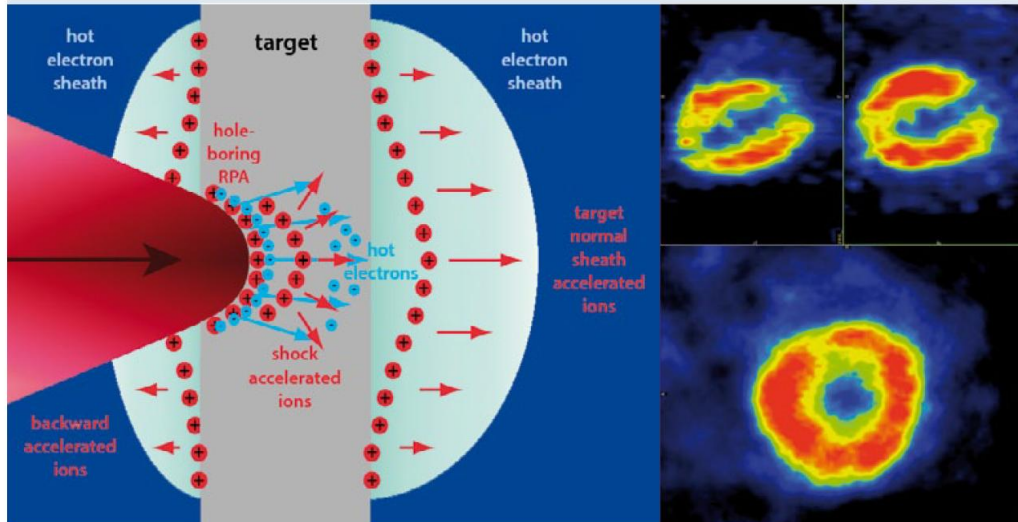
**„Urządzenie matrycowe i sposób do wyznaczania miejsca i czasu reakcji kwantów gamma oraz zastosowanie urządzenia do wyznaczania miejsca i czasu reakcji kwantów gamma w emisyjnej tomografii pozytonowej”**

Kierując się obecnym stanem wiedzy, zarówno z zakresu dostępnych technologii, jak i podstaw fizyki uważam, że proponowane rozwiązanie nie nadaje się do zastosowania w praktyce. Przedłożony wniosek przedstawia ogólną definicję tomografii pozytonowo emisyjnej, natomiast w dalszym jego części proponuje rozwiązania, które świadczą o niezrozumieniu zasady działania układu detekcyjnego będącego fizyczną podstawą dyskutowanej metody obrazowania, czyli detekcji kwantów anihilacji gamma o energii 511 keV.

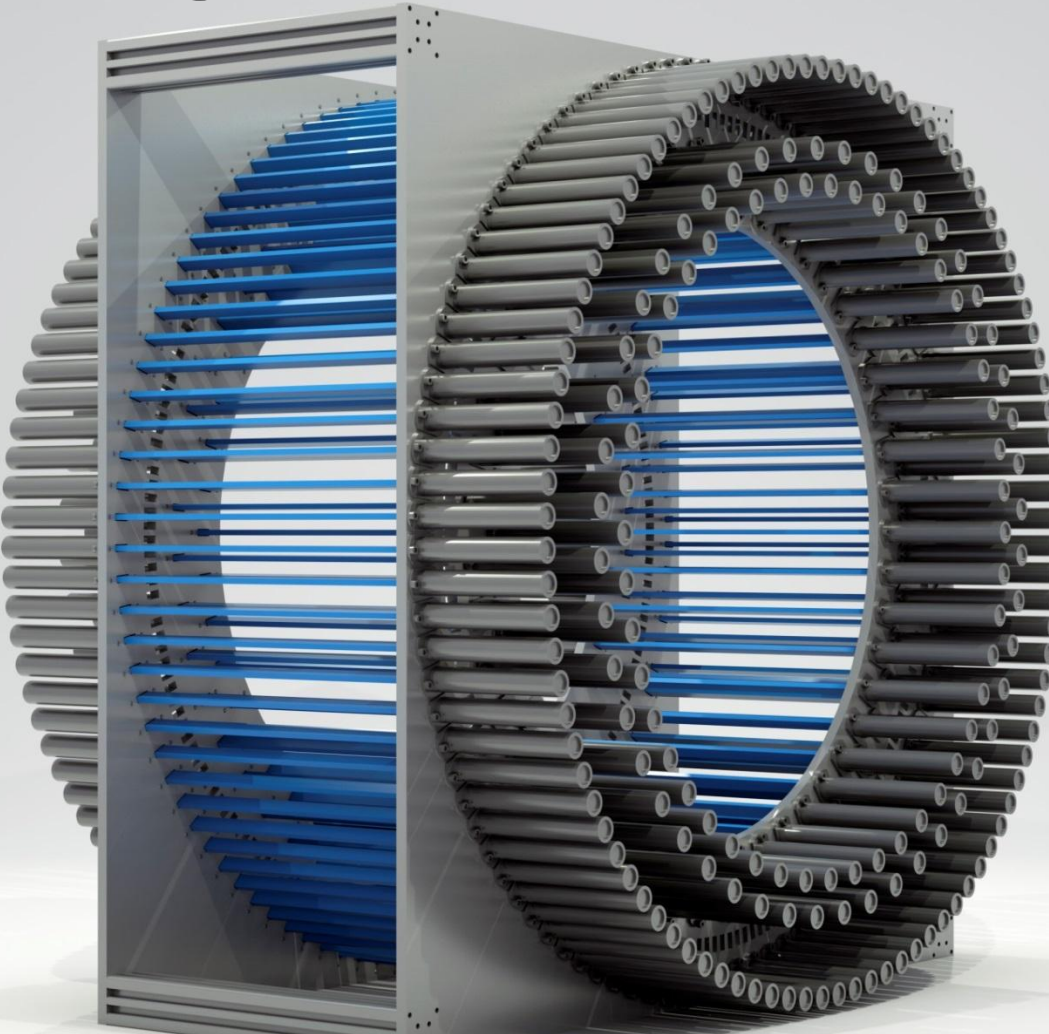


Nuclear Physics European Collaboration Committee (NuPECC)

## Nuclear Physics for Medicine



# Jagiellonian PET



kryształy  
→ plastiki

P. M. et al., Radioteraphy and Oncology 110 (2014) S69

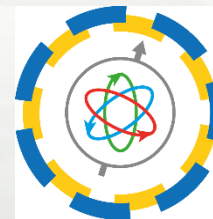
L. Raczyński et al., Nucl. Instrum. Meth. A764 (2014) 186

P. M. et al., Nucl. Instrum. Meth. A764 (2014) 317

P. M. et al., Nucl. Instrum. Meth. A775 (2015) 54

L. Raczyński et al., Nucl. Instrum. Meth. A786 (2015) 105

~30 articles and 12 International patent applications

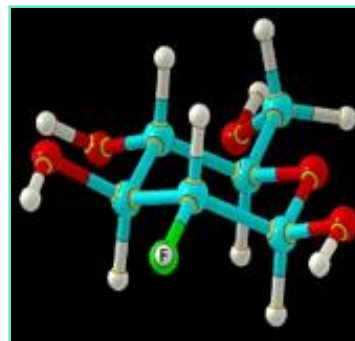


**J-PET**



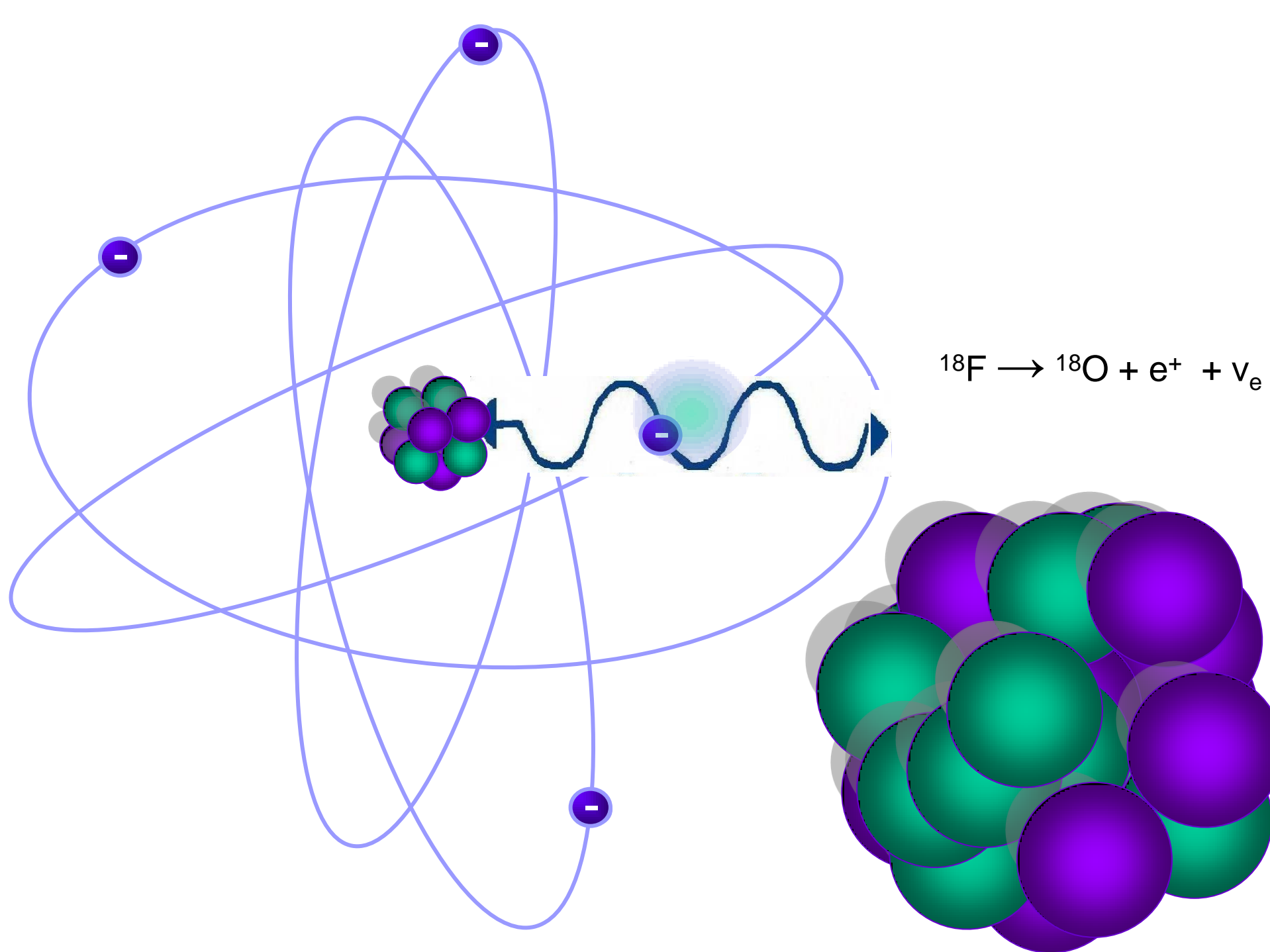
## CUKIER RADIOAKTYWNY

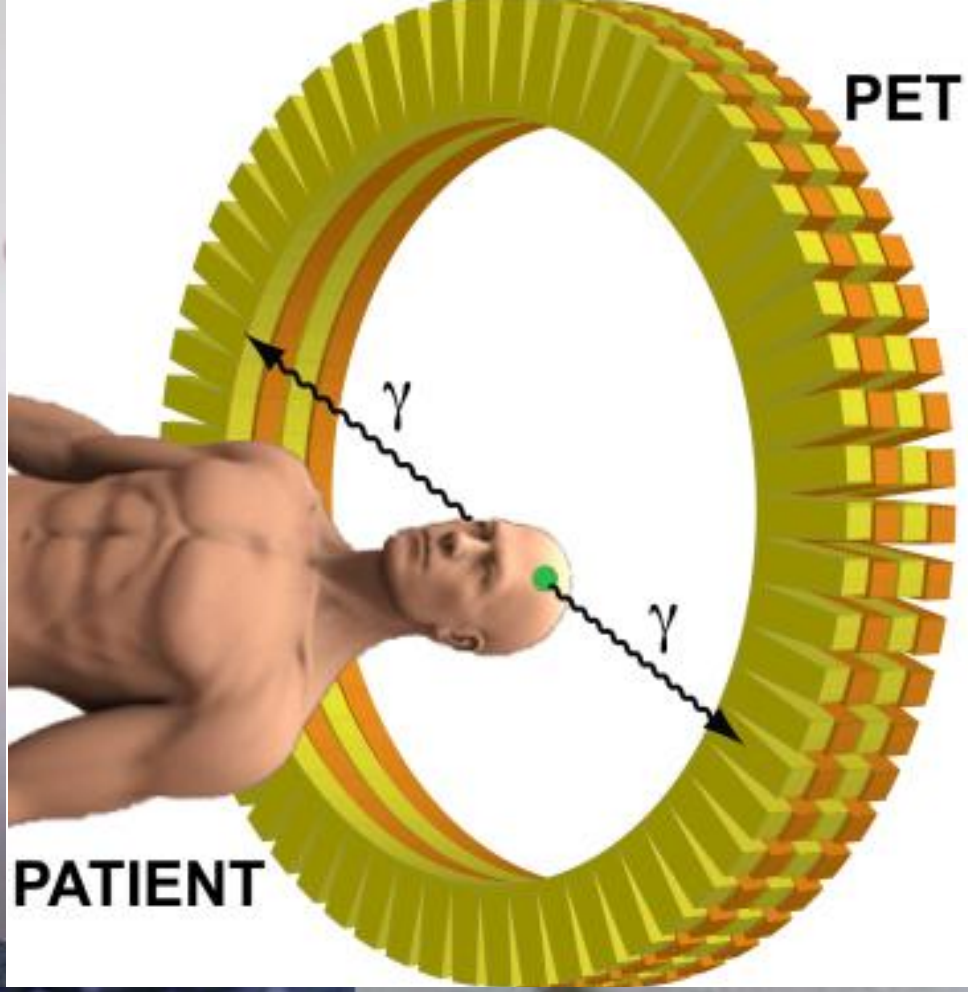
Fluoro-deoksy-glukoza  
(F-18 FDG)



**W komórkach nowotworowych glikoliza zwiększa się 20 do 30 razy -jawisko Warburga -**

**Mechanizm pułapki molekularnej powoduje, że fosforan glukozy gromadzi się w komórkach**

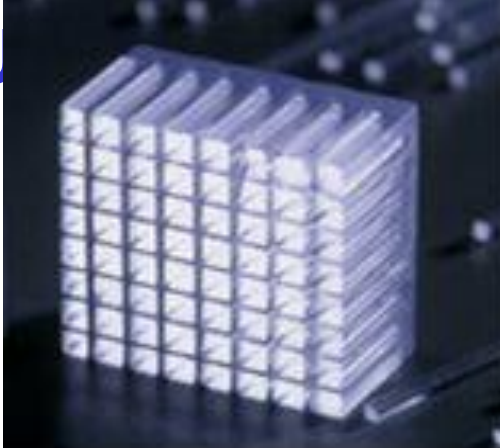


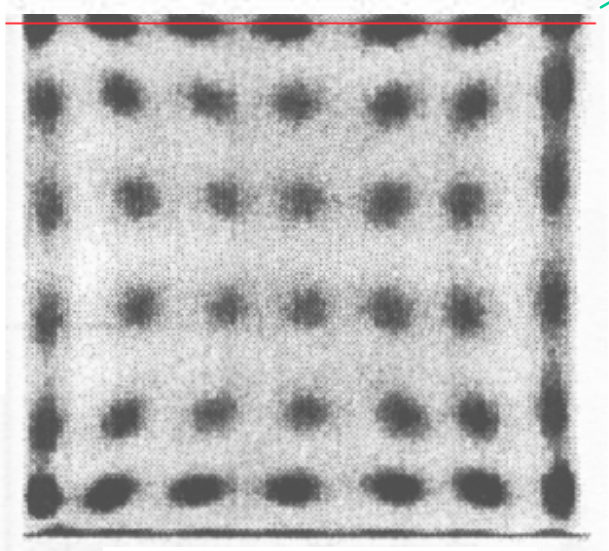
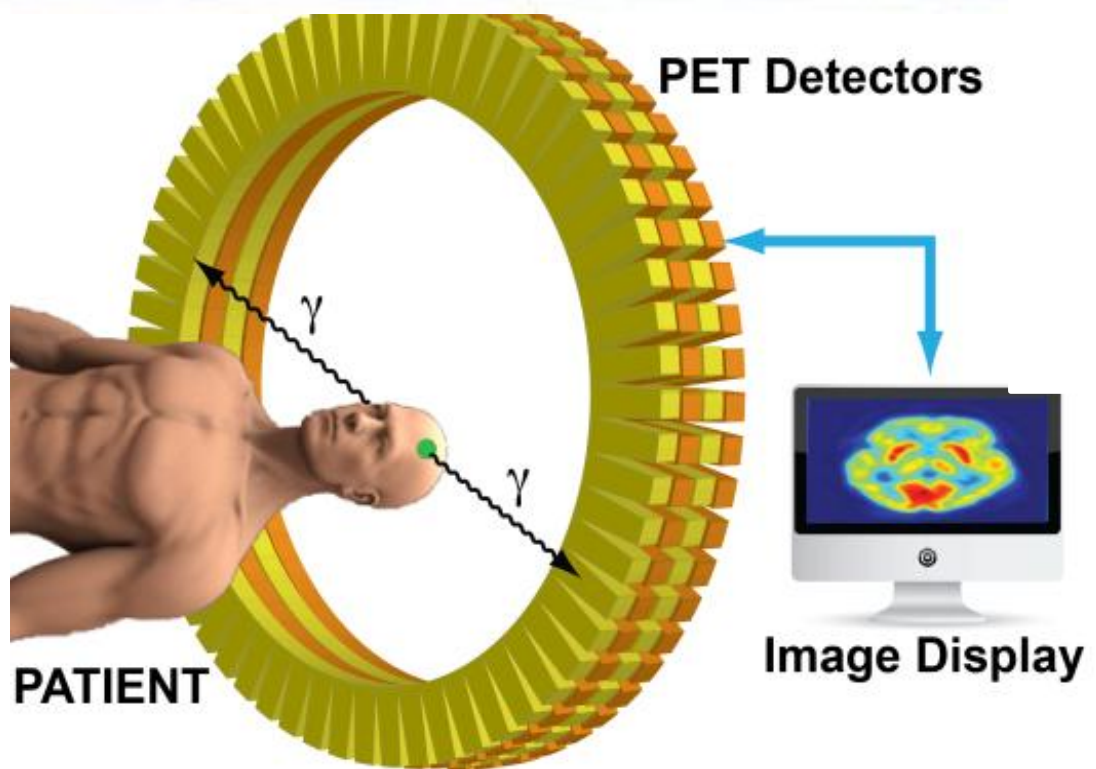


## RADIOAKTYWNY CU

Fluoro-deoksy-glukoza  
(F-18 FDG)

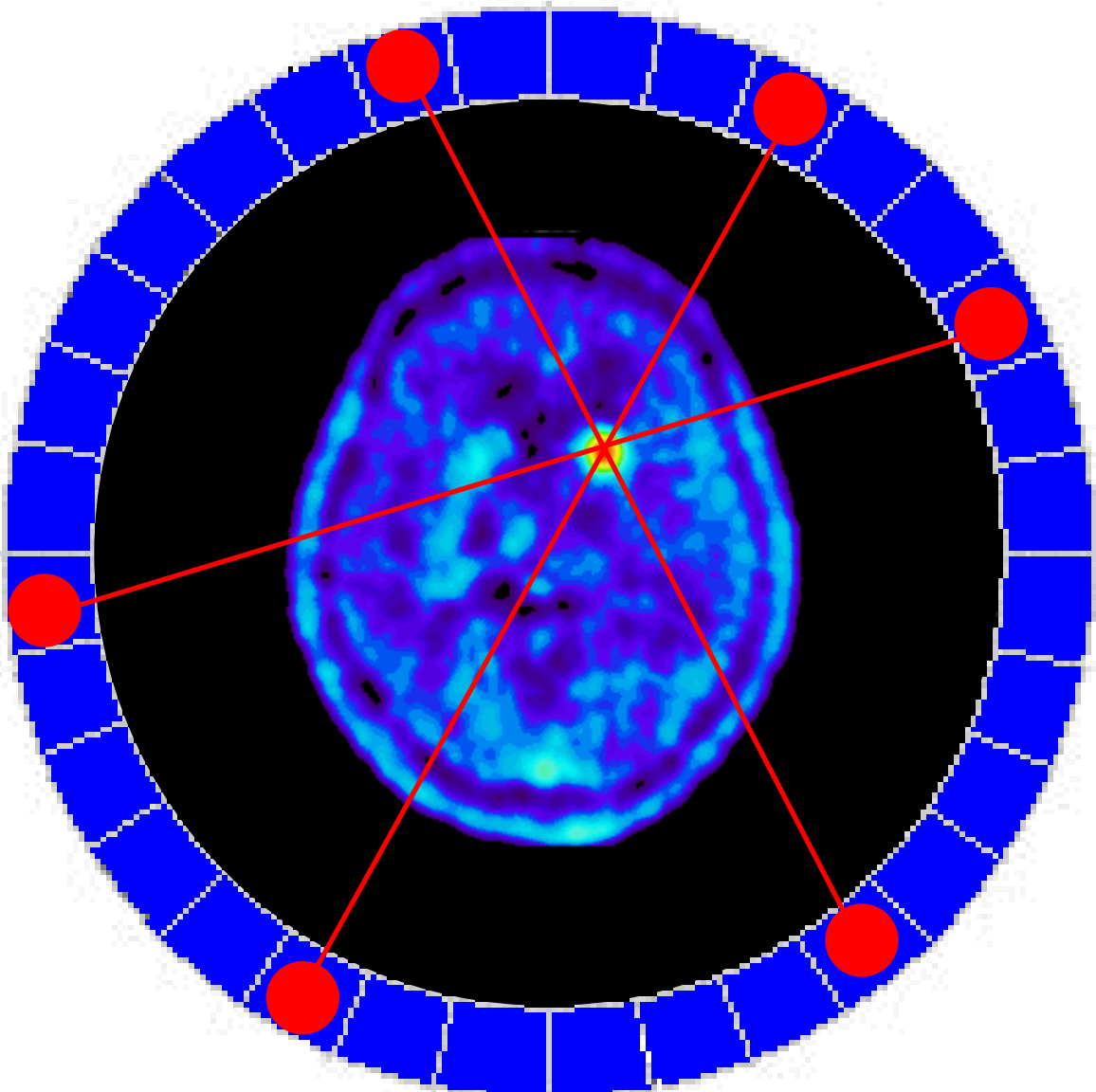
~200 000 000  
kwantów gamma na sekunde

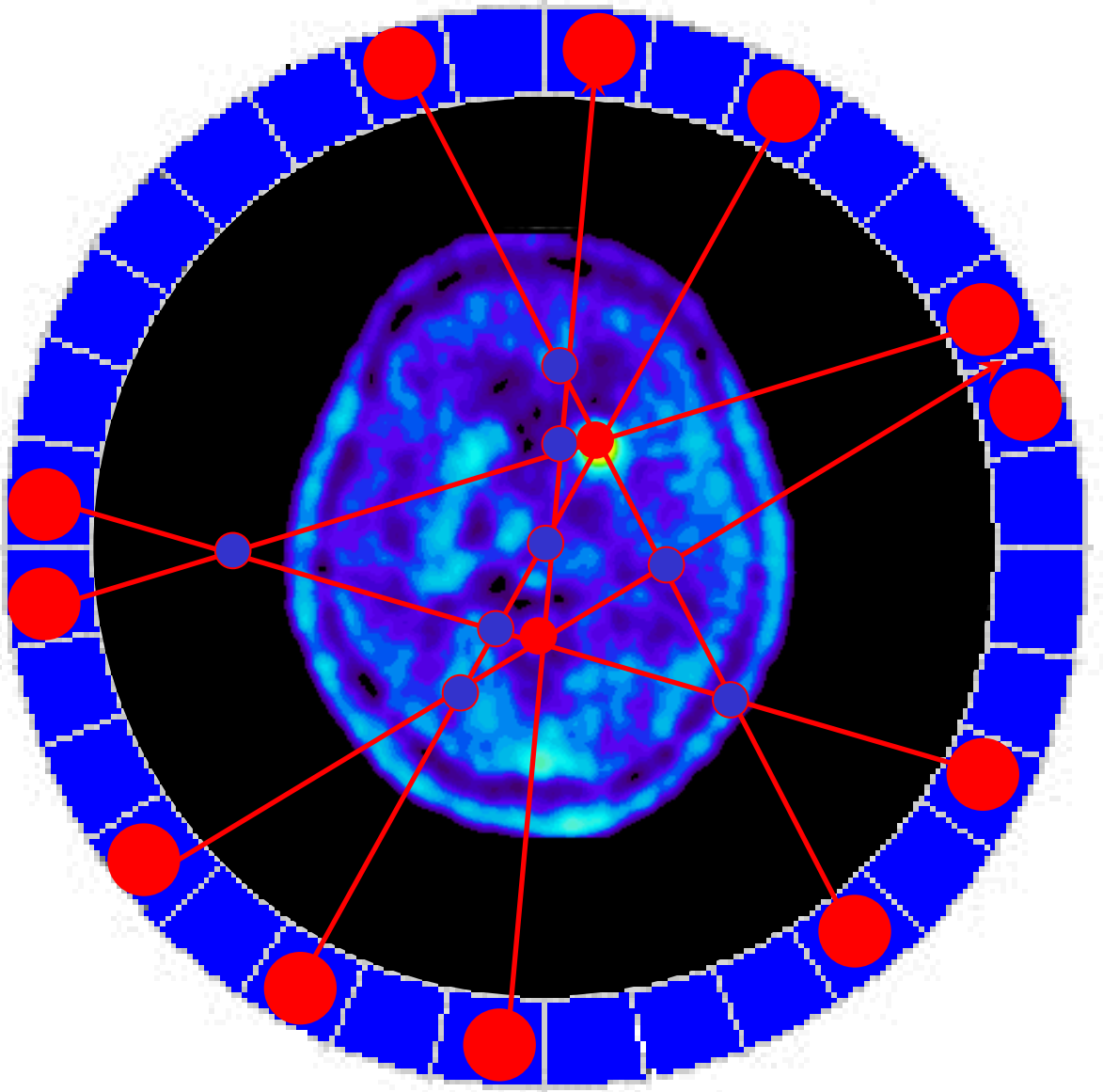


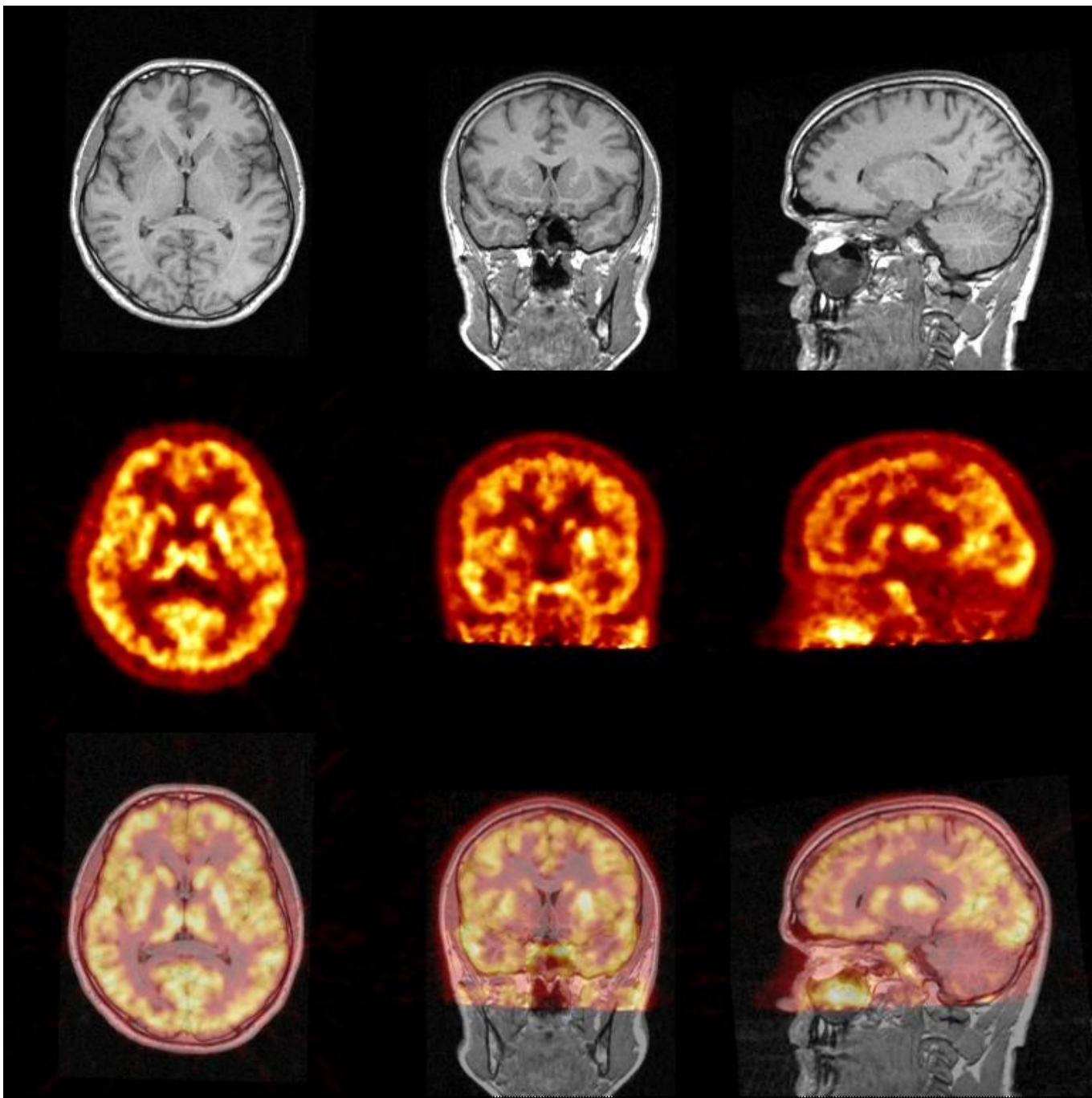


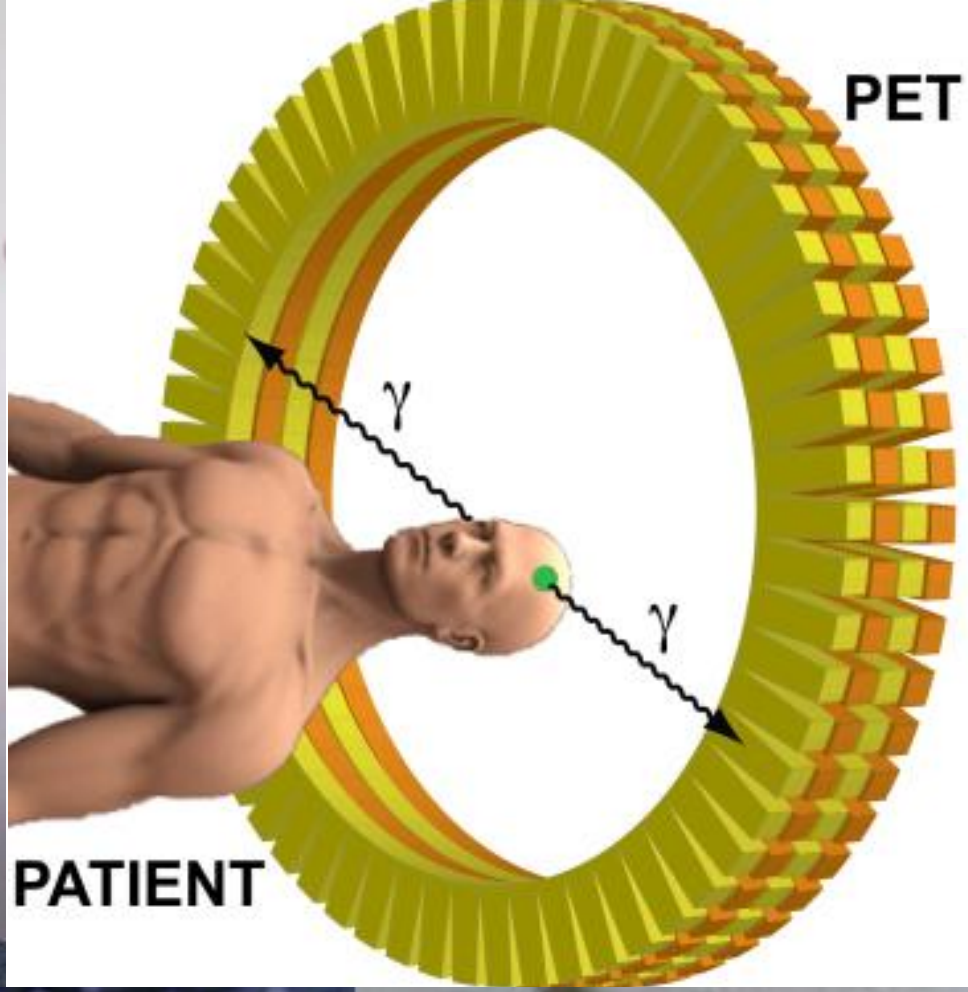
$$X = \frac{(B + C) - (A + D)}{A + B + C + D},$$

$$Y = \frac{(C + D) - (A + B)}{A + B + C + D}.$$







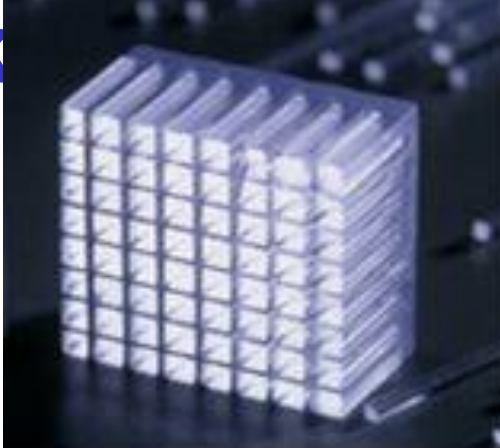


## RADIOAKTYWNY CUK

Fluoro-deoksy-glukoza  
(F-18 FDG)

~200 000 000

kwantów gamma na sekunde





Type: LSO / LYSO / BGO / scyntylatory polimerowe

Price per cm<sup>3</sup>: 86 / 86 / 35 / 1

Polimery można łatwo produkować o dowolnych rozmiarach i kształtach

PHILIPS → LYSO

SIMENS → LSO

GE Healthcare → BGO

**Dlaczego scyntylatory plastikowe nie były rozważane  
jako materiał do budowy tomografów PET ?**

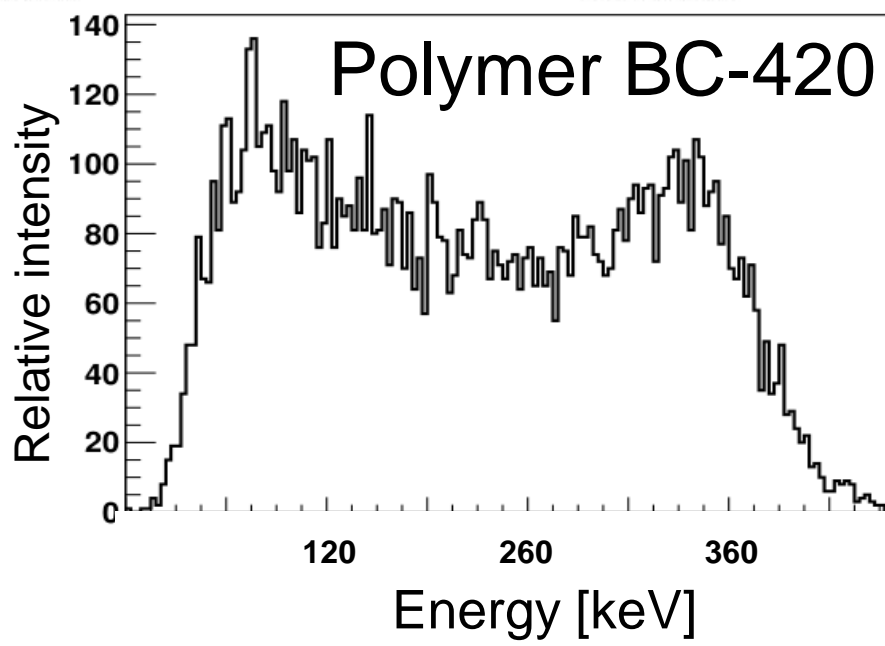
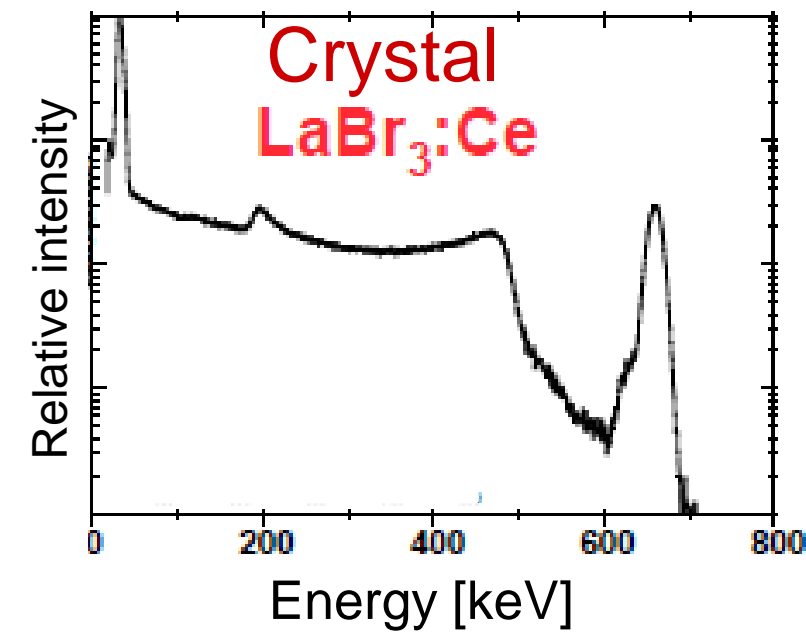
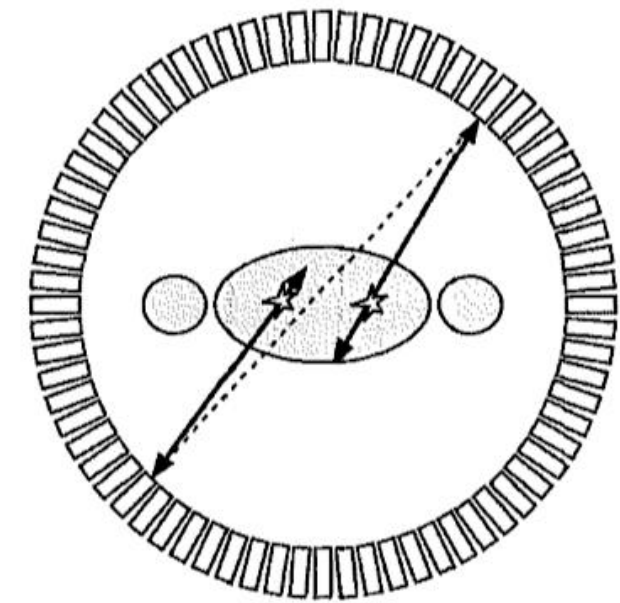
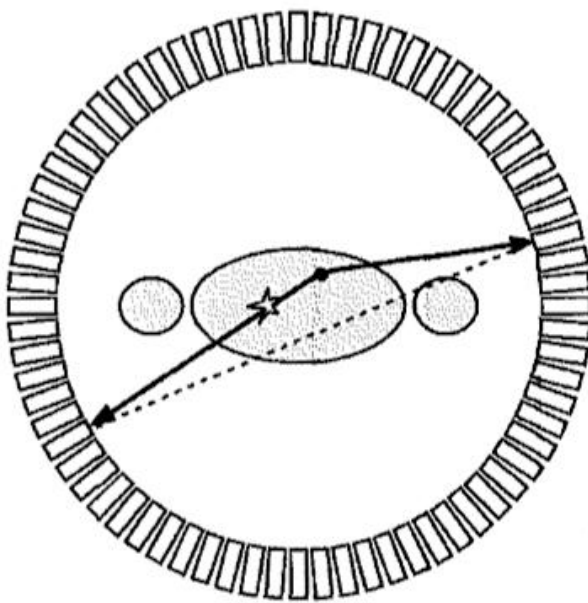
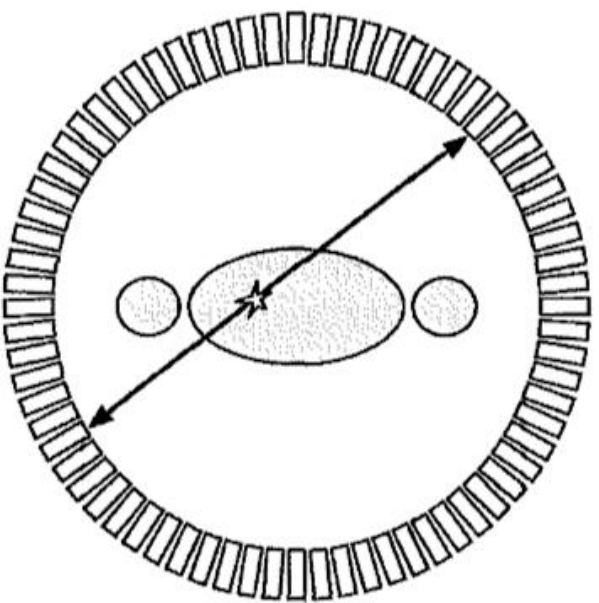
dla 2.5 cm warstwy wydajność rejestracji zdarzeń plastikowymi scyntylatorami jest około 20 razy mniejsza w stosunku do kryształów BGO i około 40 razy mniejsza w stosunku do kryształów LSO

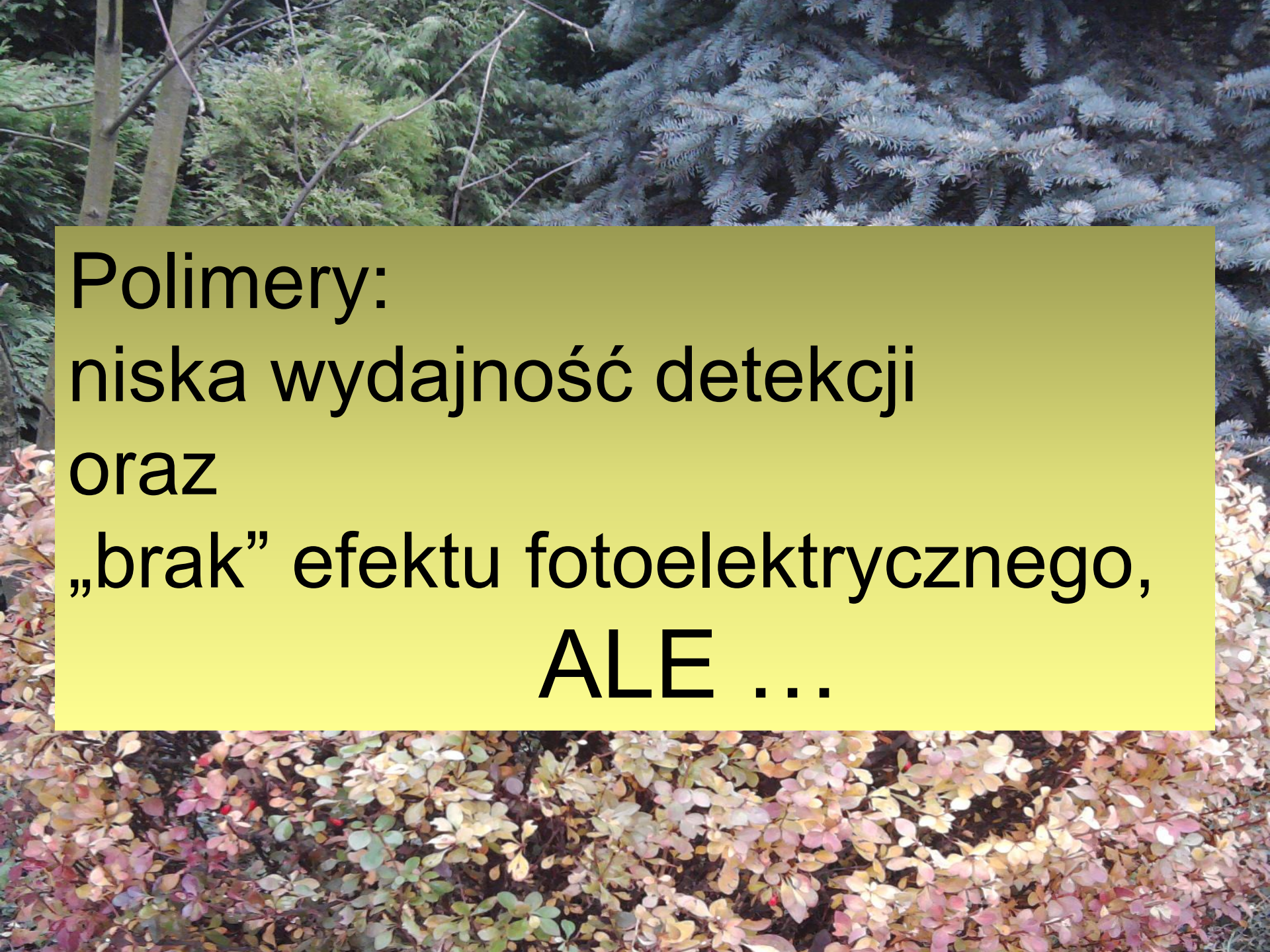
<b>name</b>	<b>type</b>	<b>density [g/cm<sup>3</sup>]</b>	<b>decay time [ns]</b>	<b>photons/ MeV</b>	<b>mean free path [cm]</b>
<b>BGO</b>	crystal	<b>7.13</b>	<b>300</b>	<b>6000</b>	<b>1.04</b>
<b>GSO</b>	crystal	<b>6.71</b>	<b>50</b>	<b>10000</b>	<b>1.49</b>
<b>LSO</b>	crystal	<b>7.40</b>	<b>40</b>	<b>29000</b>	<b>1.15</b>
<b>NE102A</b>	polymer	<b>1.032</b>	<b>2.4</b>	<b>10000</b>	<b>10.2</b>
<b>BC404</b>	polymer	<b>1.032</b>	<b>1.8</b>	<b>10000</b>	<b>10.2</b>
<b>RP422</b>	polymer	<b>1.032</b>	<b>1.6</b>	<b>10000</b>	<b>10.2</b>

„prawdziwe”

ZDARZENIA  
„rozproszone”

„przypadkowe”

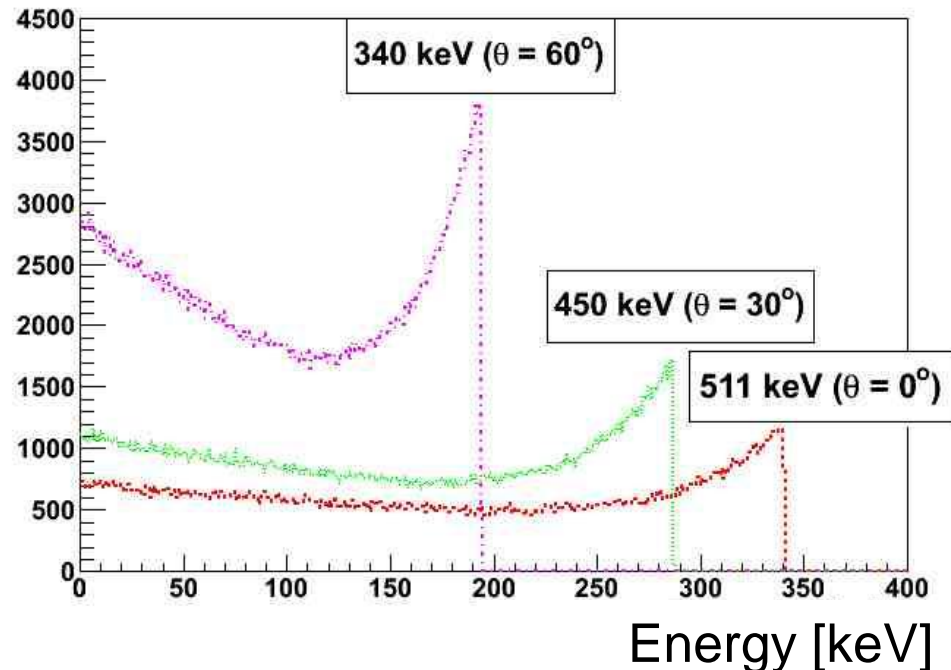
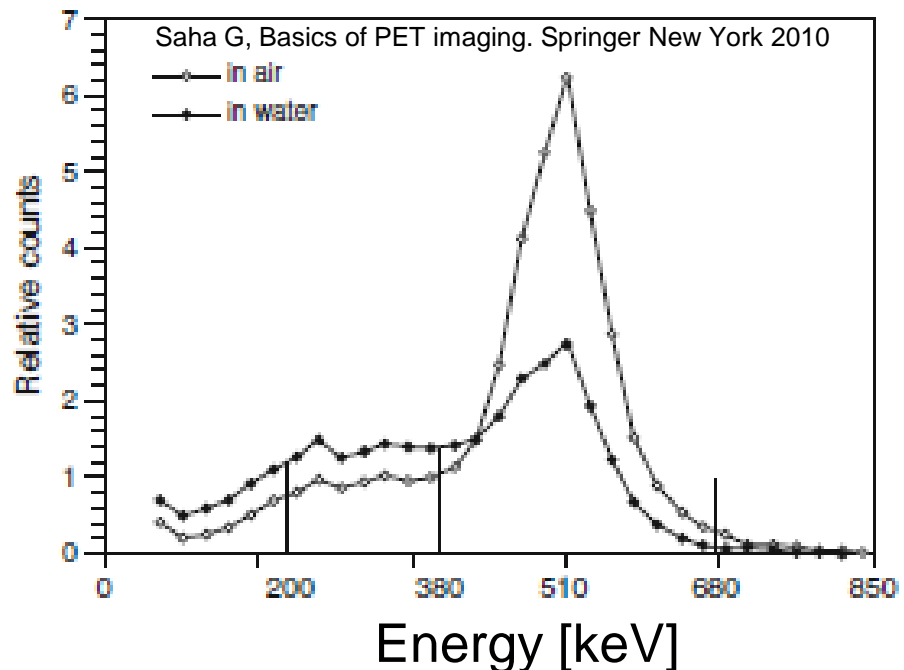
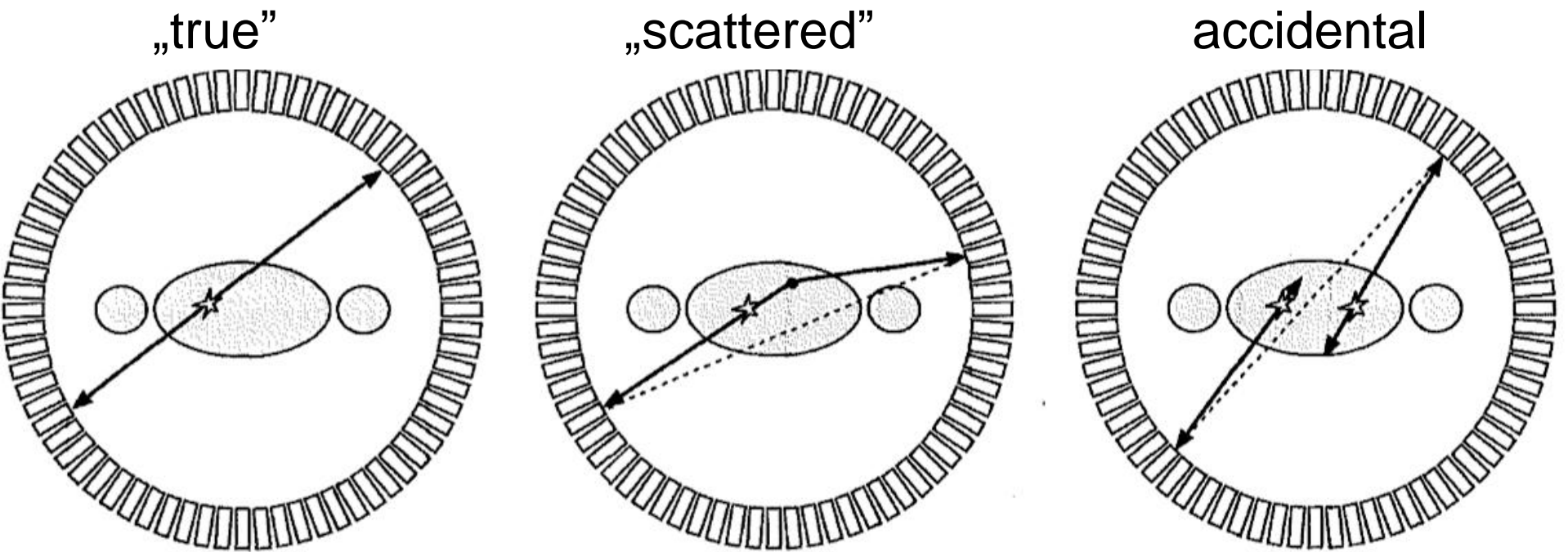




**Polimery:**  
niska wydajność detekcji  
oraz  
„brak” efektu fotoelektrycznego,  
**ALE ...**

# EVENTS

„scattered”

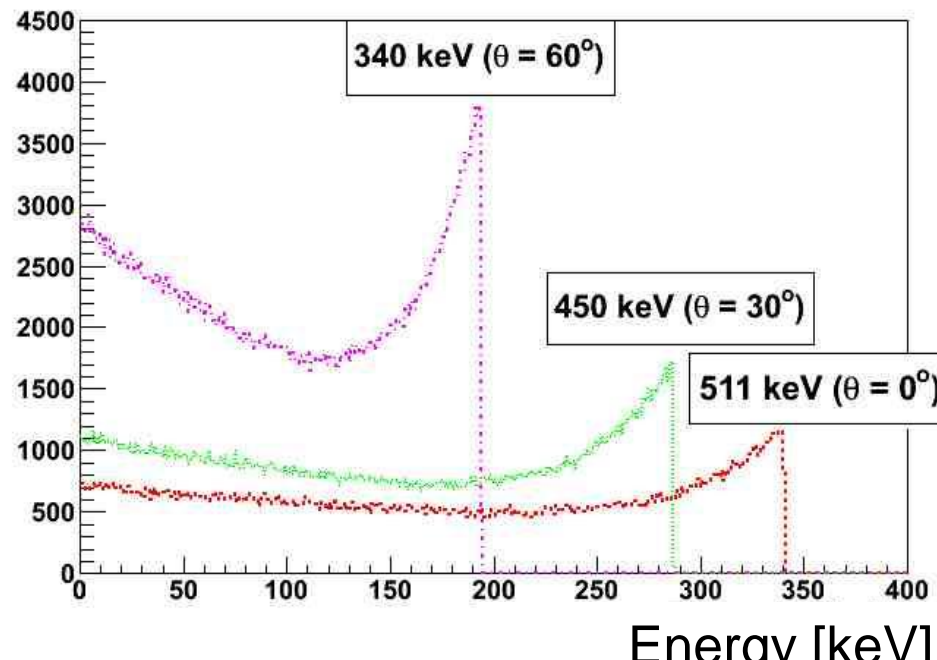
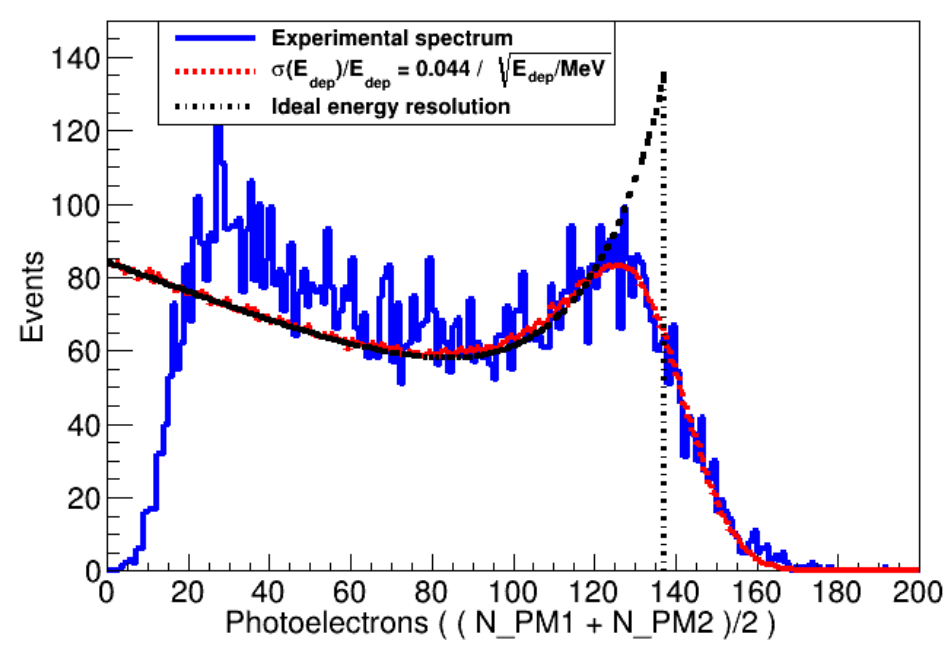
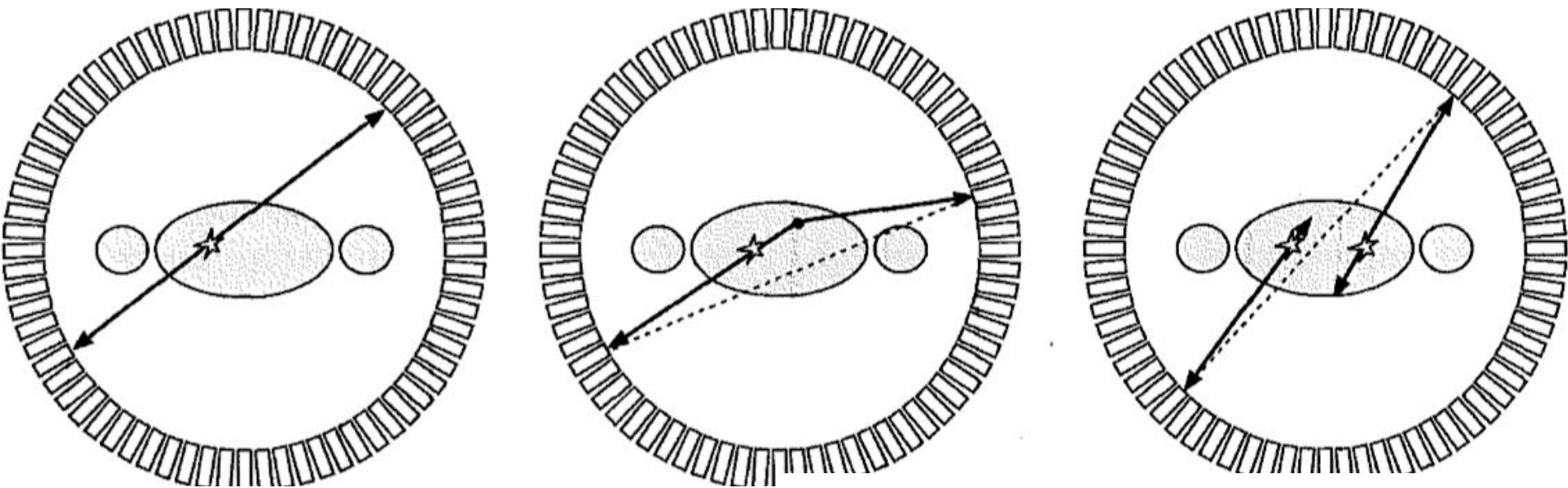


# EVENTS

„scattered”

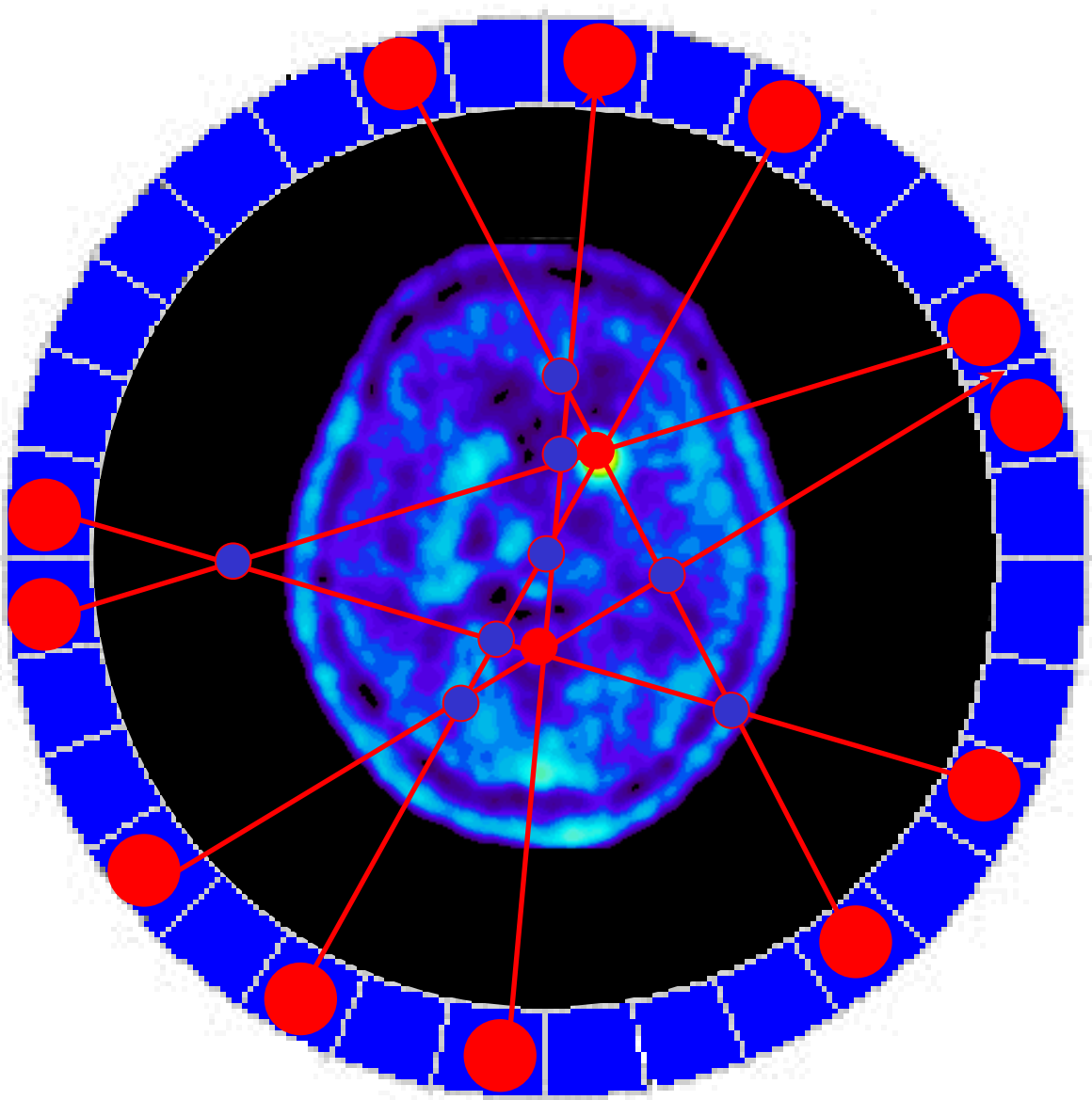
„true”

accidental



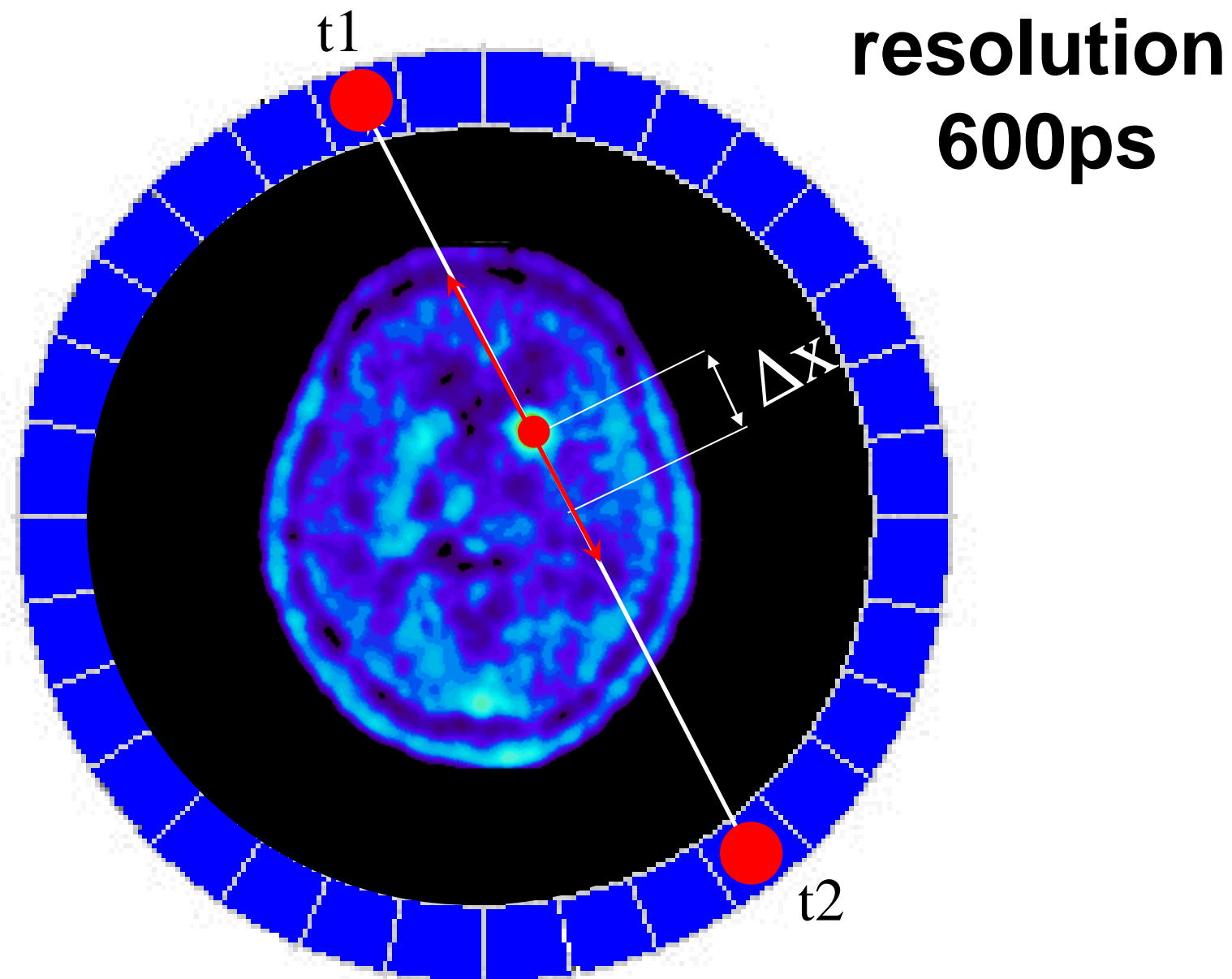
# LIGHT SIGNALS FROM POLYMERS ARE MUCH „FASTER” !!!

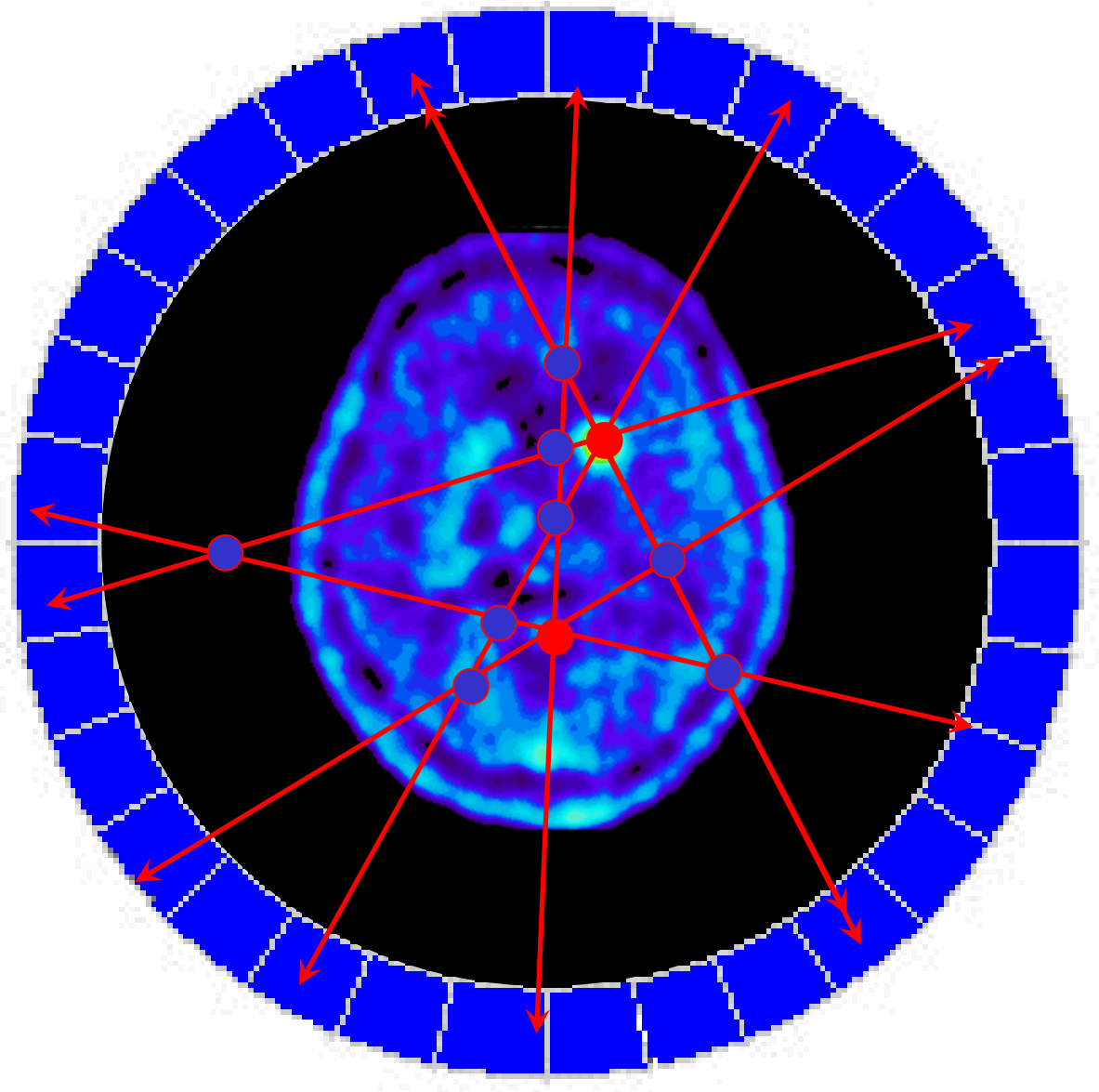
name	type	density [g/cm <sup>3</sup> ]	decay time [ns]	photons/ MeV	mean free path [cm]
BGO	crystal	7.13	300	6000	1.04
GSO	crystal	6.71	50	10000	1.49
LSO	crystal	7.40	40	29000	1.15
NE102A	polymer	1.032	2.4	10000	10.2
BC404	polymer	1.032	1.8	10000	10.2
RP422	polymer	1.032	1.6	10000	10.2



PET-TOF

$$\Delta x = (t_2 - t_1) c / 2$$

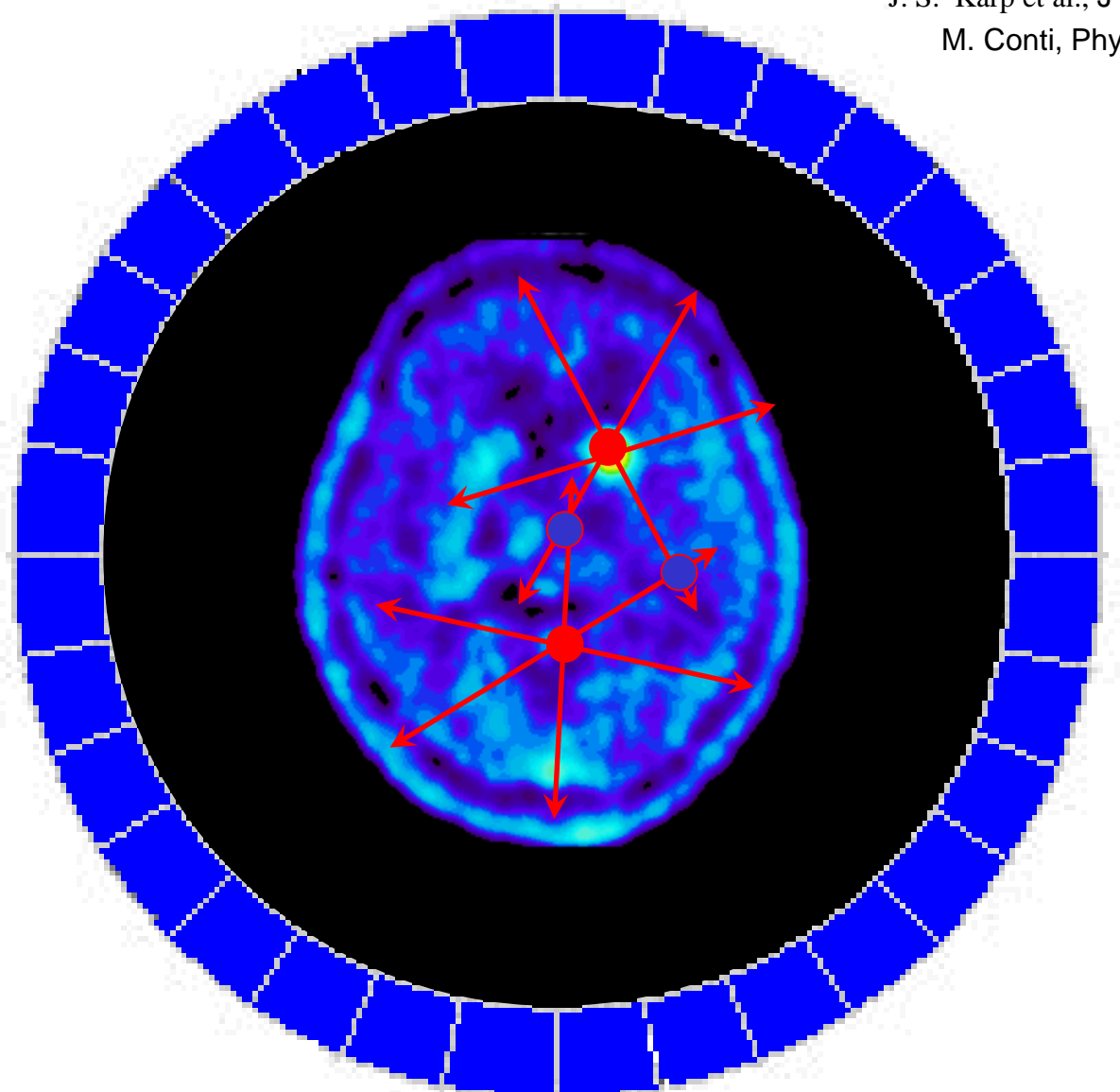




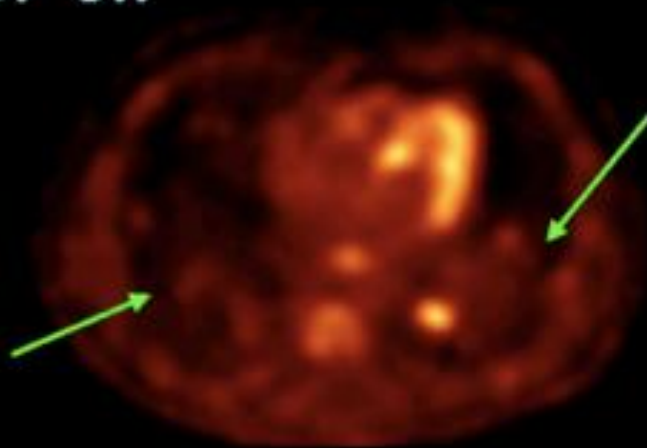
signal/background  
 $\sim D / \Delta t$

40cm/600ps improvement by factor of 4

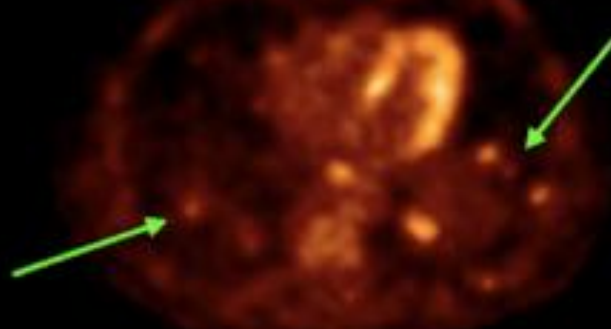
J. S. Karp et al., J Nucl Med 2008; 49: 462  
M. Conti, Physica Medica 2009; 25: 1.



ToF off



ToF on

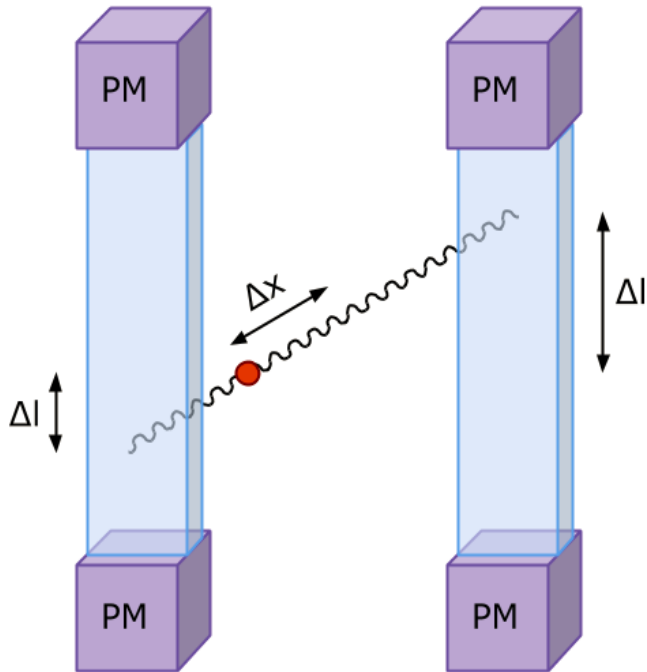




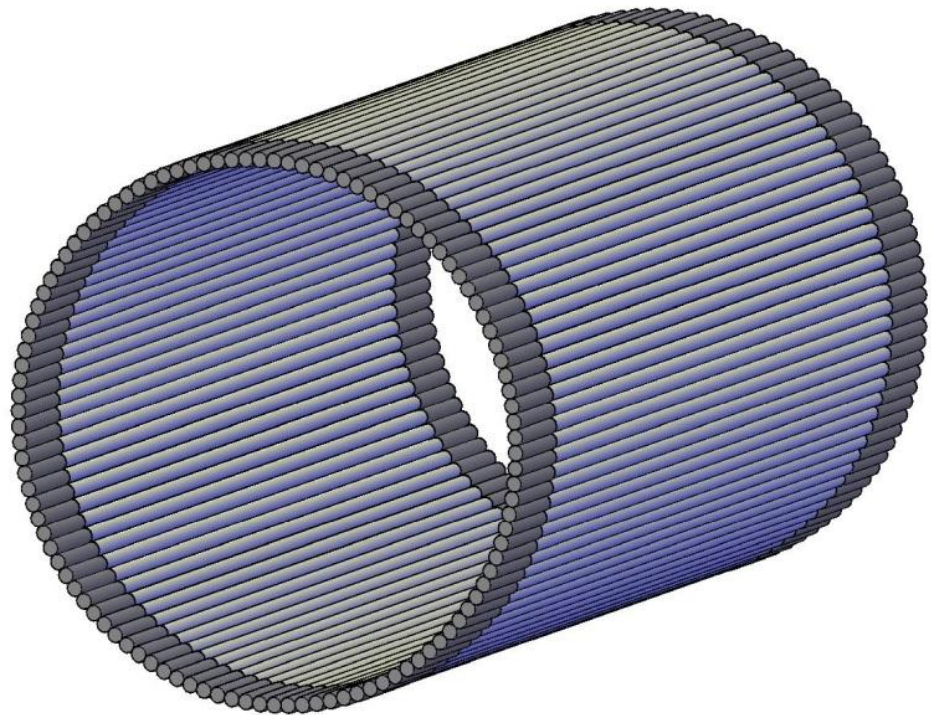
J-PET

# J-PET (Jagiellonian PET)

$$\Delta l = (t_2 - t_1) v / 2$$



$$\Delta x = (t_l - t_r) c / 2$$



$$FWHM(\Delta l) \approx FWHM(\Delta t) * c/4$$

$$FWHM(\Delta x) \approx FWHM(\Delta t) * c / 2\sqrt{2}$$

Na przykład:

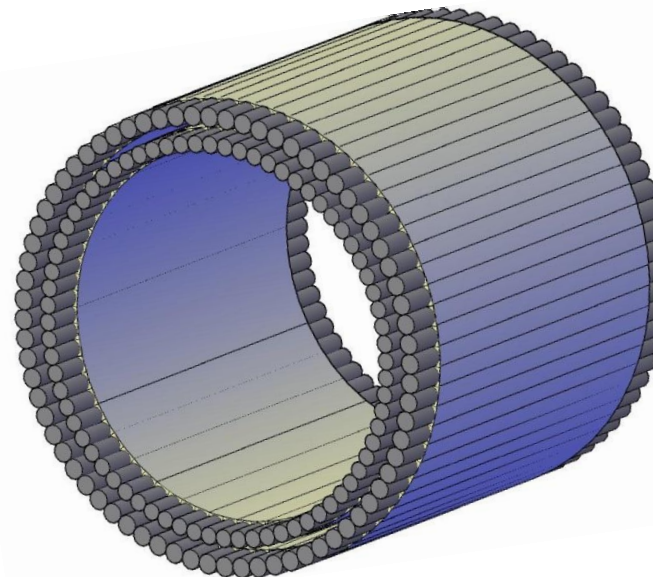
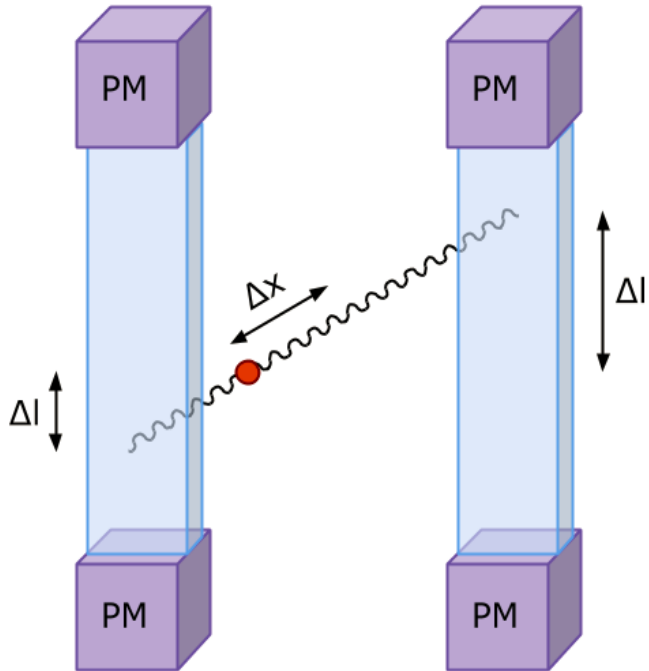
$$FWHM(\Delta t) = 100\text{ps} \rightarrow FWHM(\Delta l) = 0.7\text{cm} \rightarrow FWHM(\Delta x) = 1\text{ cm}$$



J-PET

# J-PET (Jagiellonian PET)

$$\Delta l = (t_2 - t_1) v / 2$$



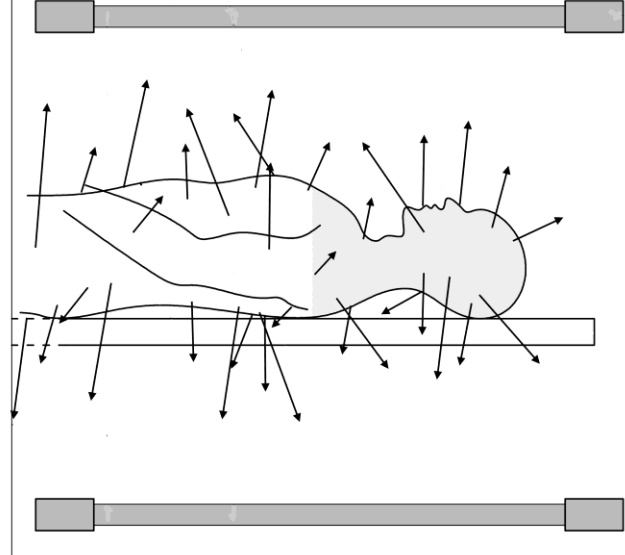
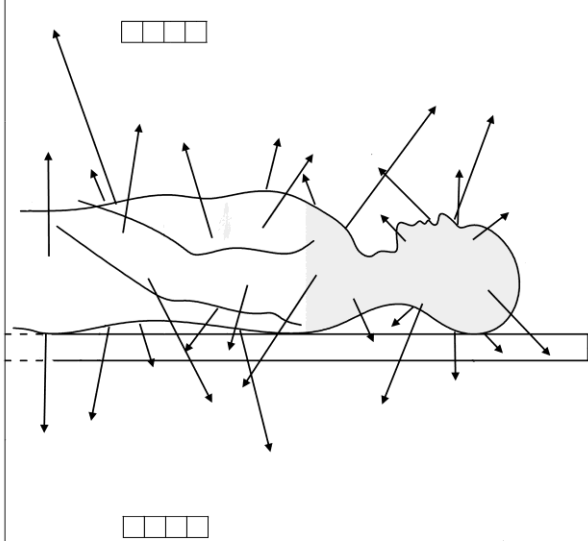
$$\Delta x = (t_l - t_r) c / 2$$

$$\text{FWHM}(\Delta l) \approx \text{FWHM}(\Delta t) * c/4$$

$$\text{FWHM}(\Delta x) \approx \text{FWHM}(\Delta t) * c / 2\sqrt{2}$$

Thus for example:

$$\text{FWHM}(\Delta t) = 100\text{ps} \rightarrow \text{FWHM}(\Delta l) = 0.7\text{cm} \rightarrow \text{FWHM}(\Delta x) = 1\text{ cm}$$



Koszty J-PET nie wzrastają wraz ze zwiększeniem „pola widzenia” tomografu

$\epsilon^2 = 20$  to 40 mniejsza wydajność  
ALE

2D --> 3D ----- > ~5

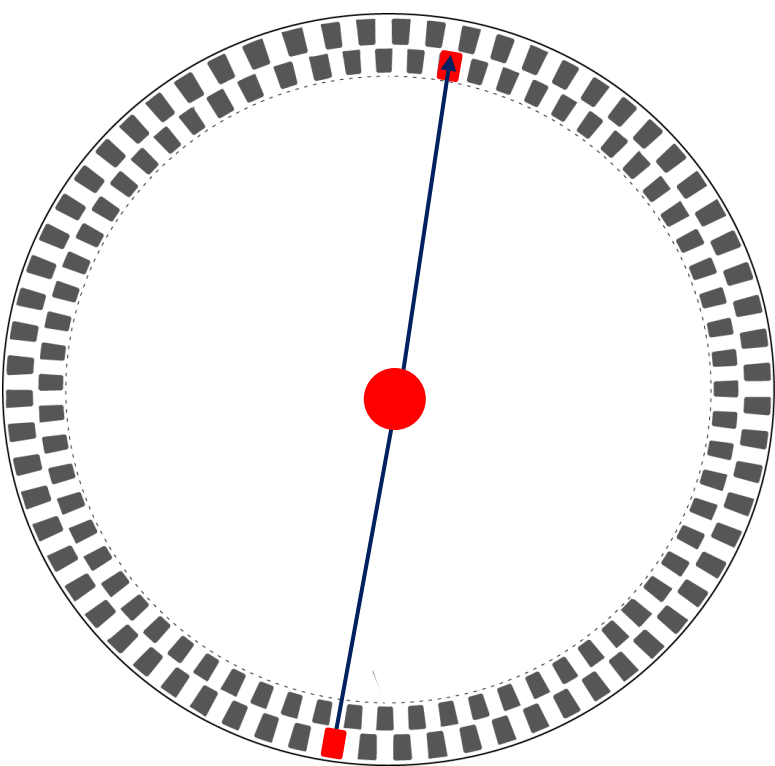
600ps --> 100ps – 200ps --> 6 -- 3

1m zamiast 20cm -----> 9

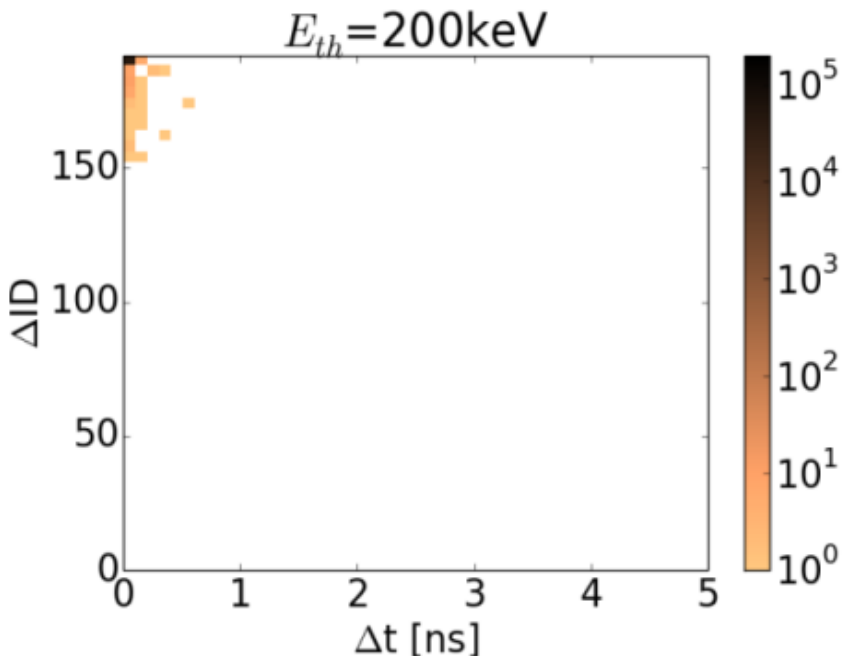
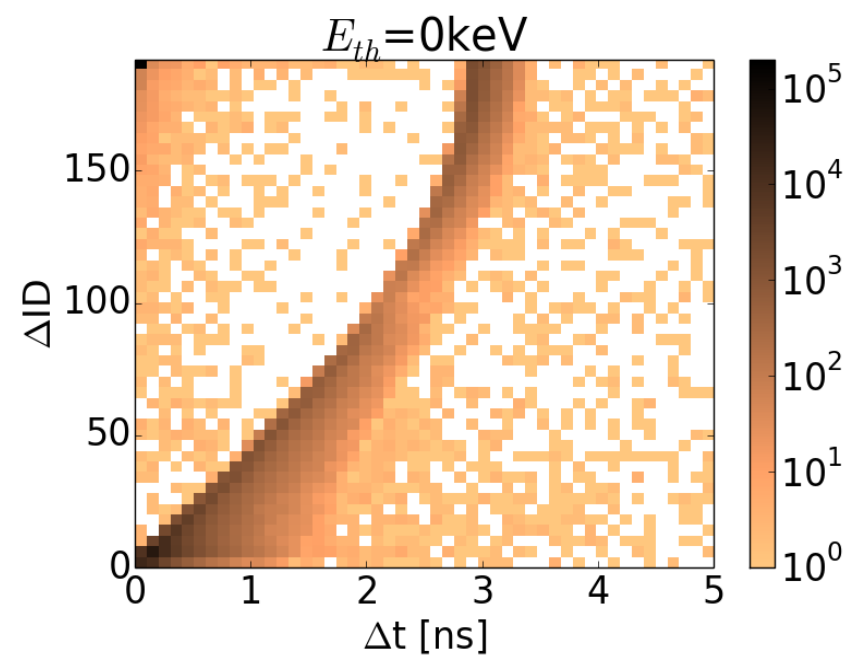
**N** warstw -----> **N<sup>2</sup>**

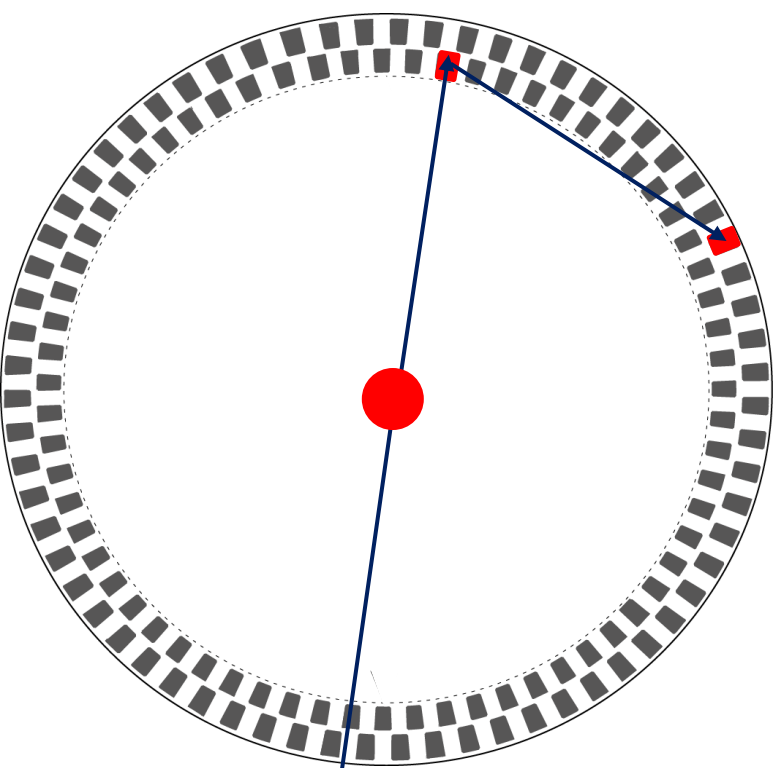
Dla N=1 --- -> czynnik ~ 200

Mniejsza dawka o czynnik 7 (200 lepiej / 30 gorzej)

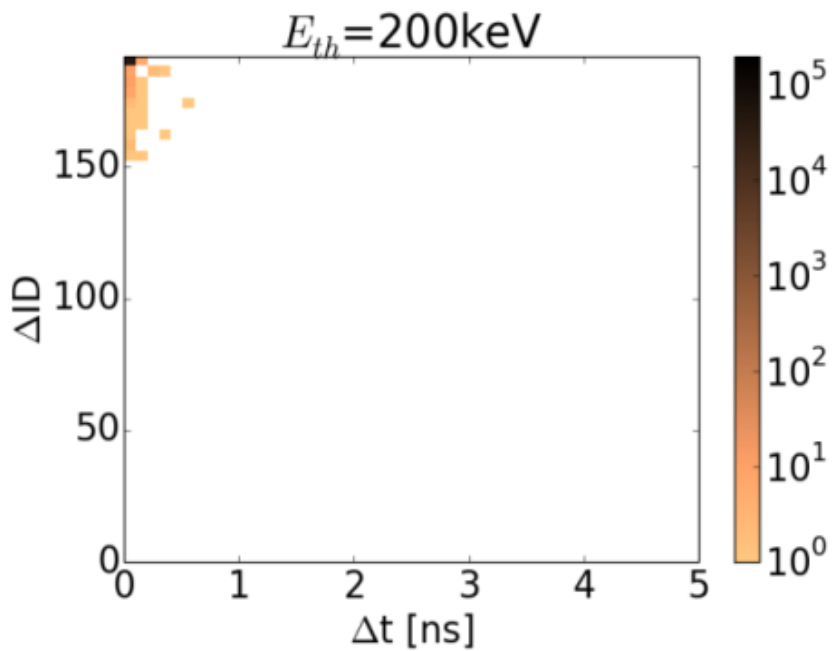
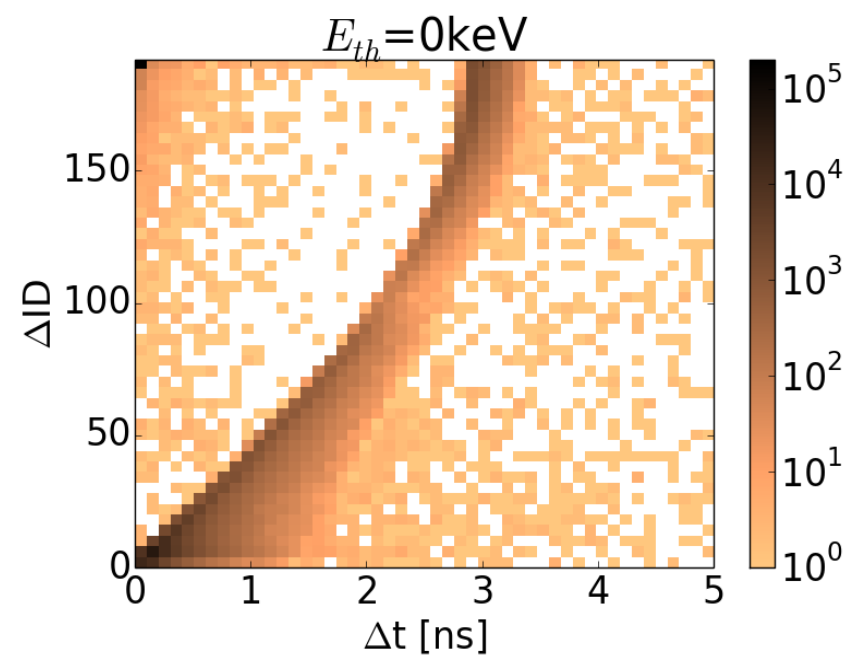


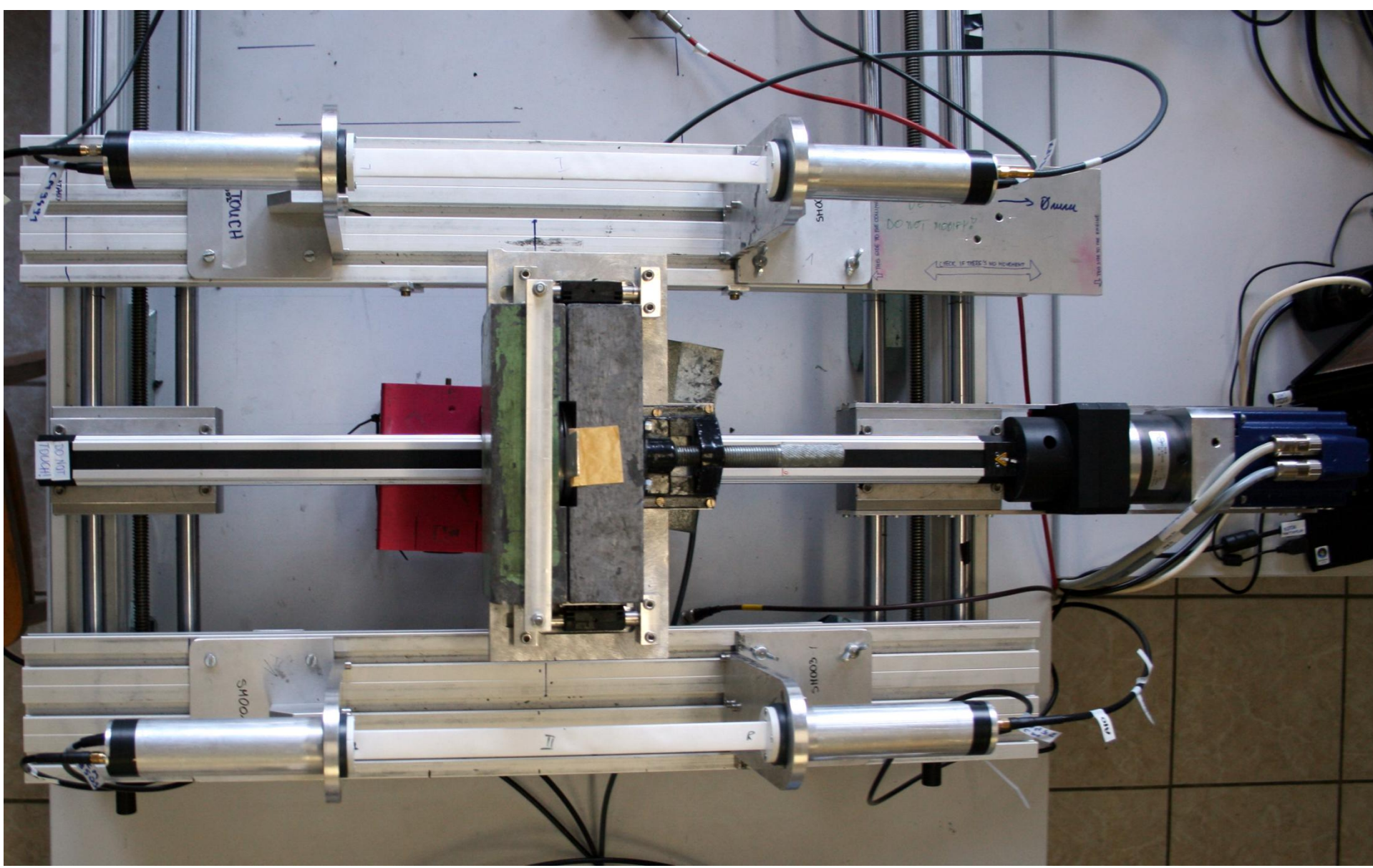
P. Kowalski et al.,  
Acta Phys. Pol. A127 (2015)  
w druku.

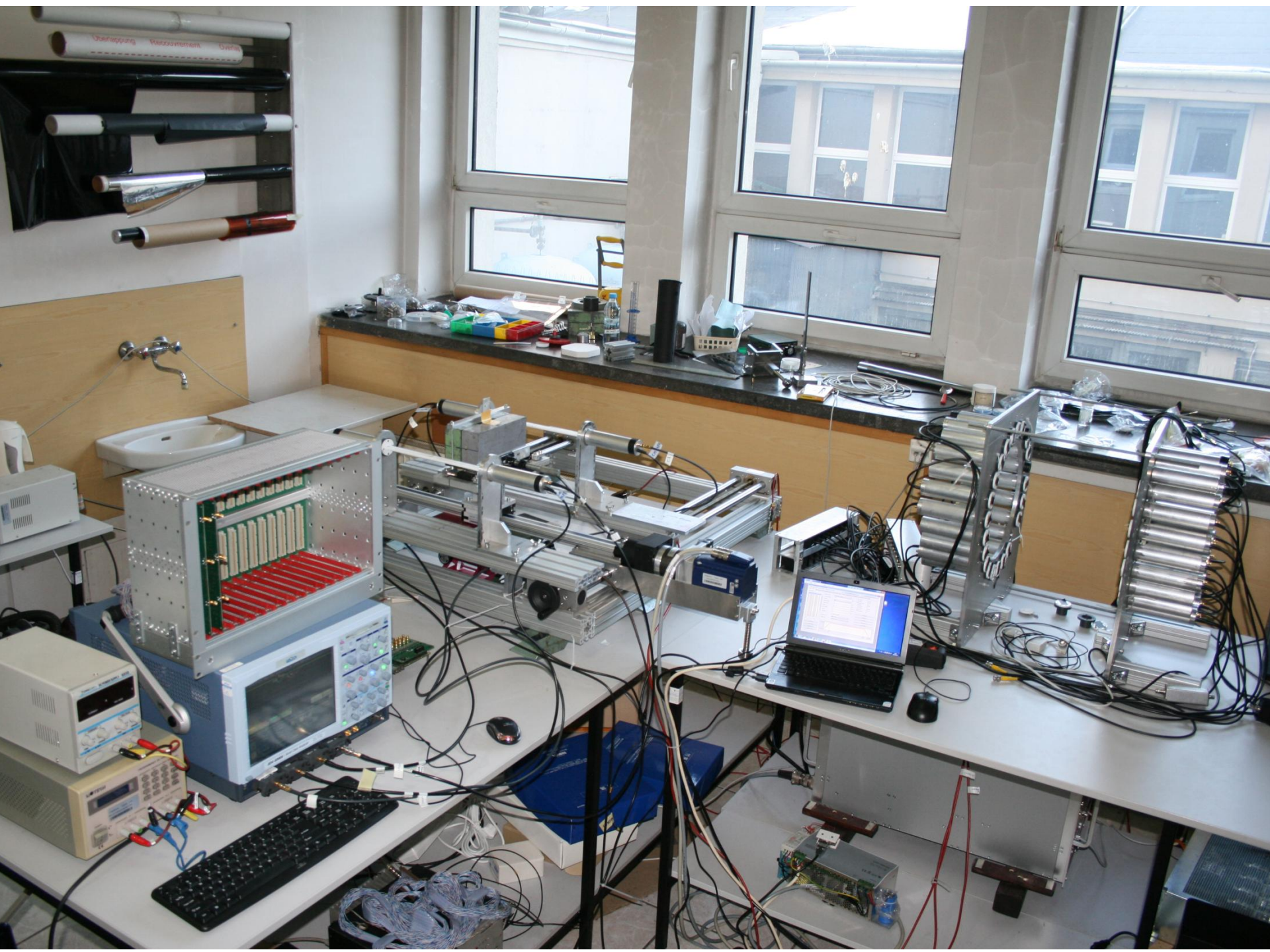


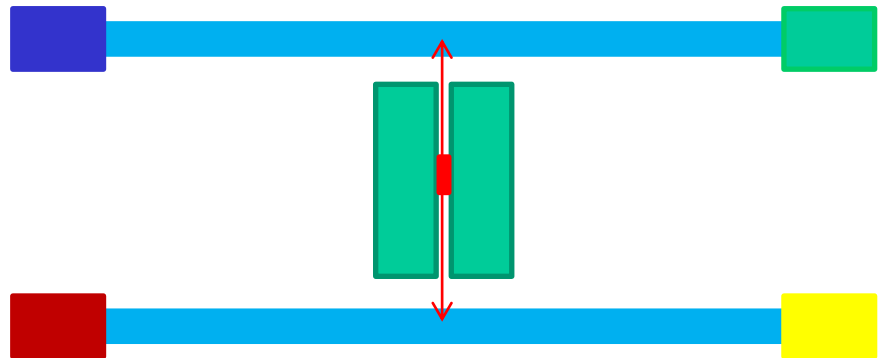


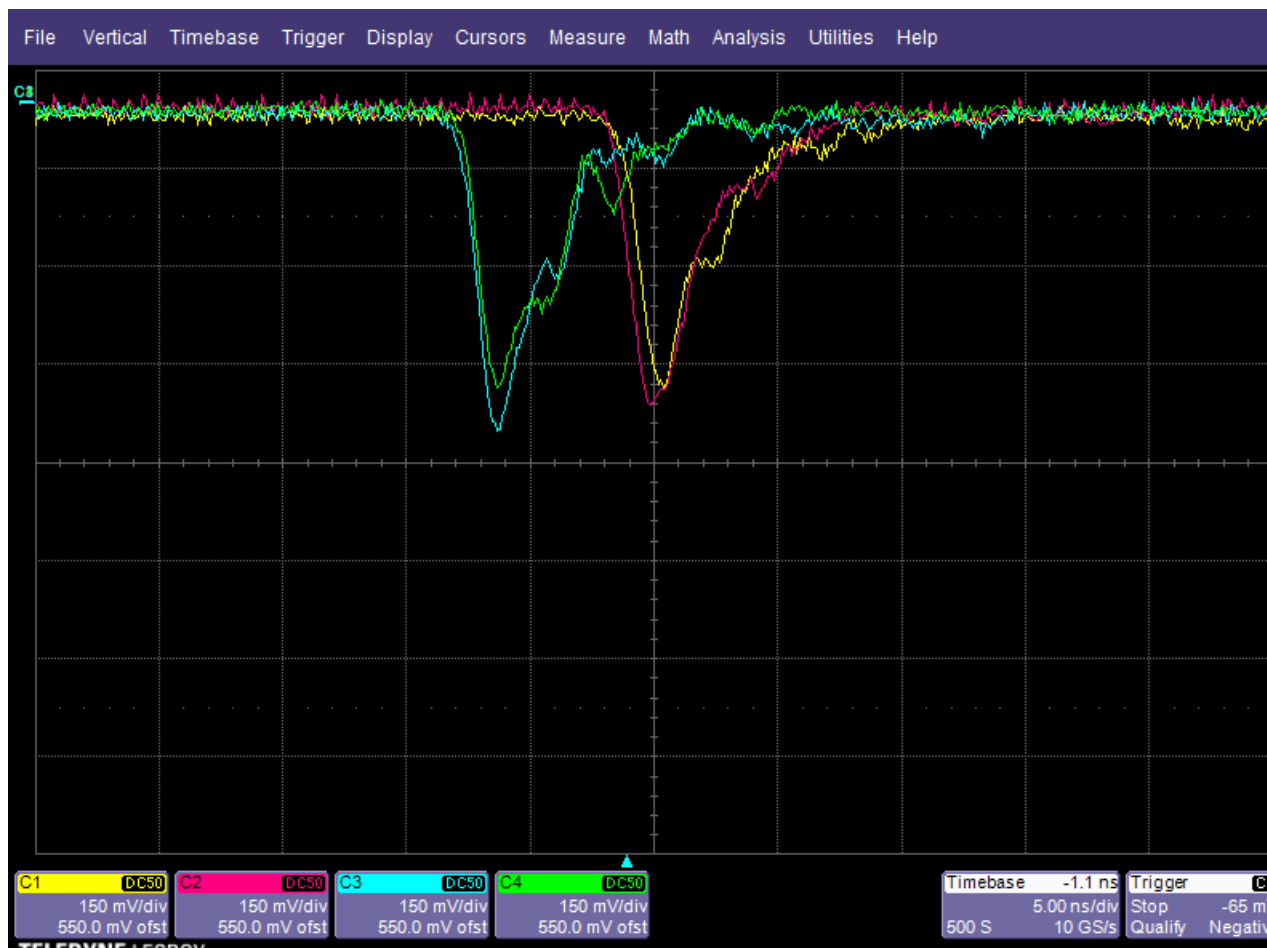
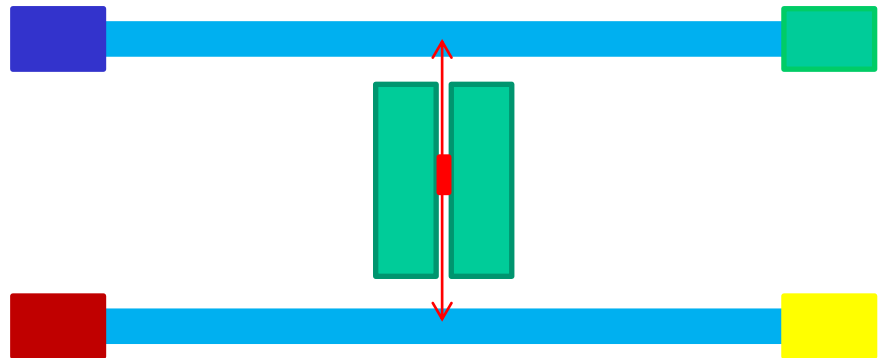
P. Kowalski et al.,  
Acta Phys. Pol. A127 (2015)  
w druku

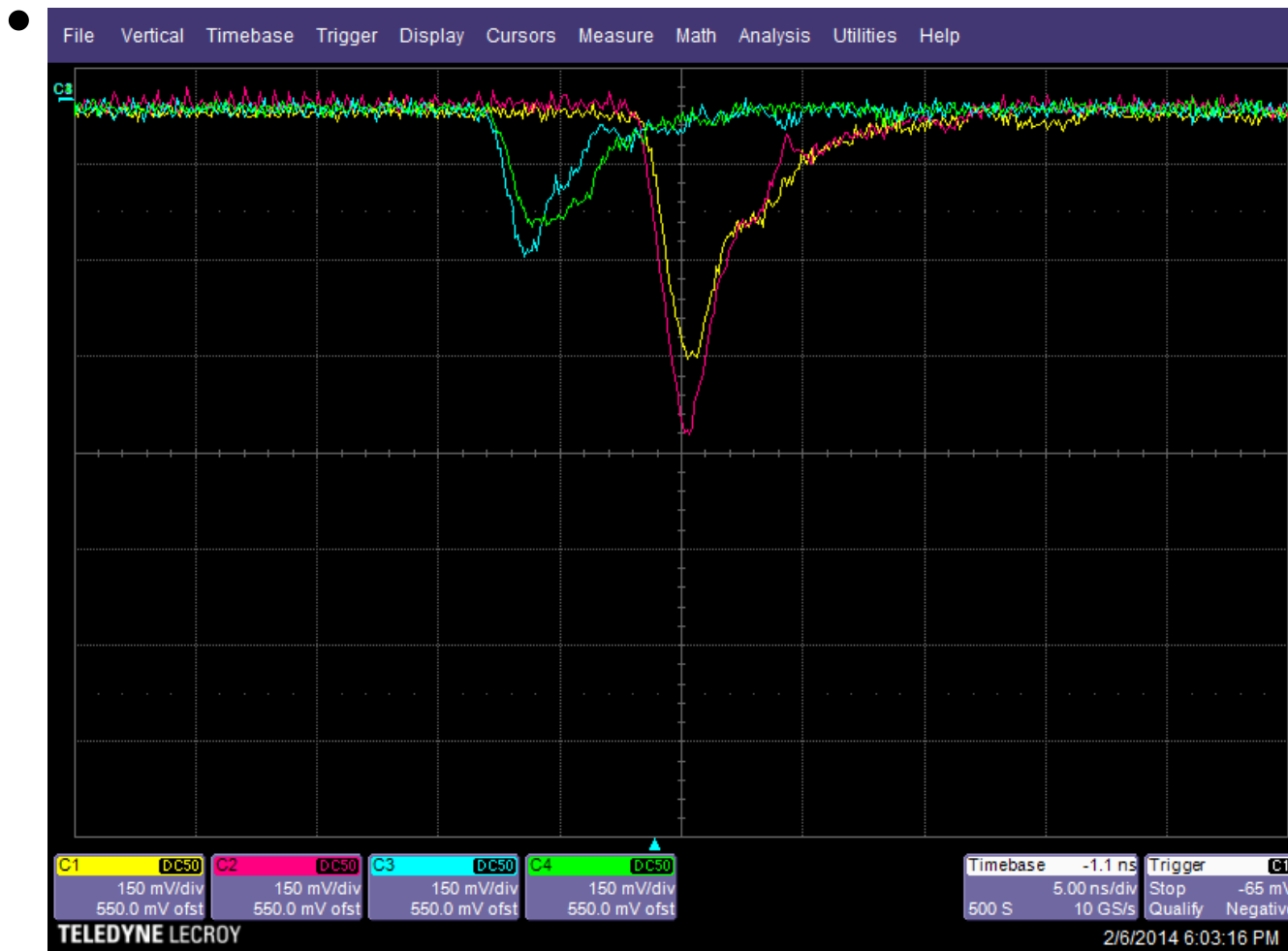
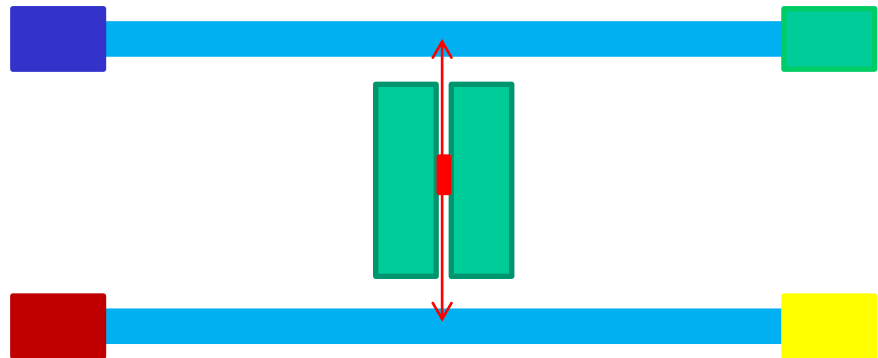


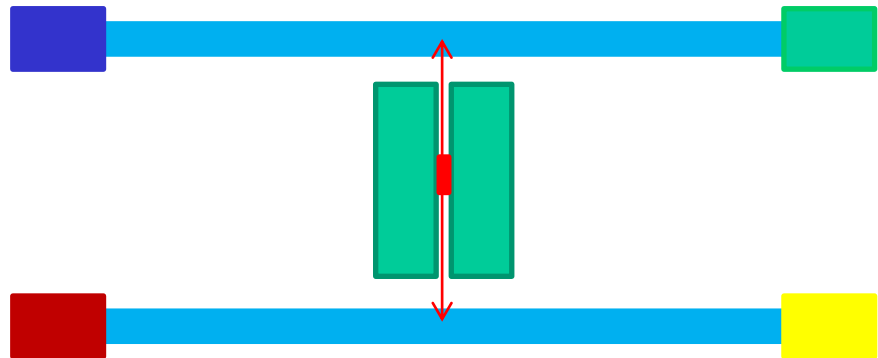


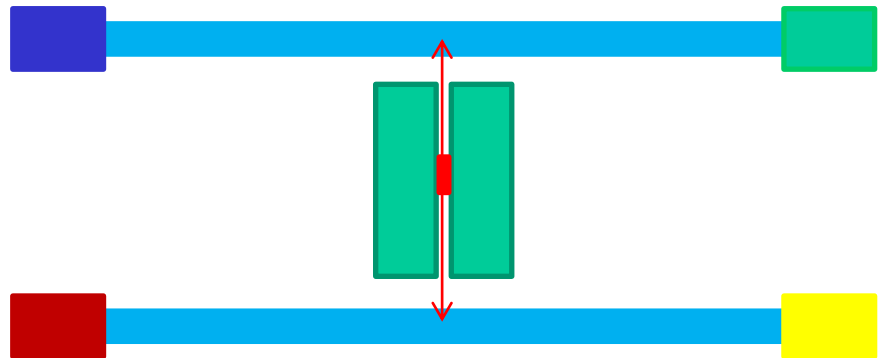


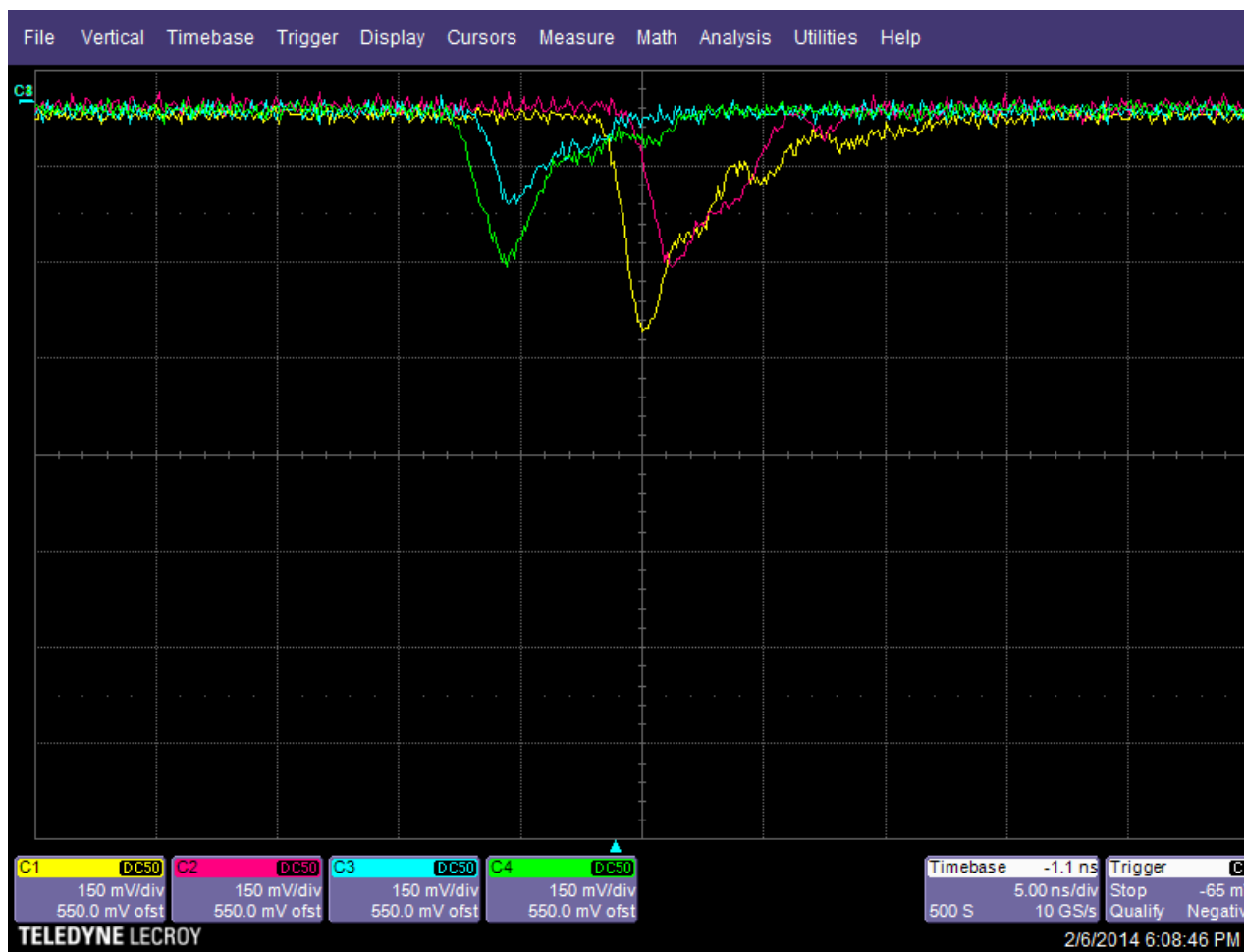
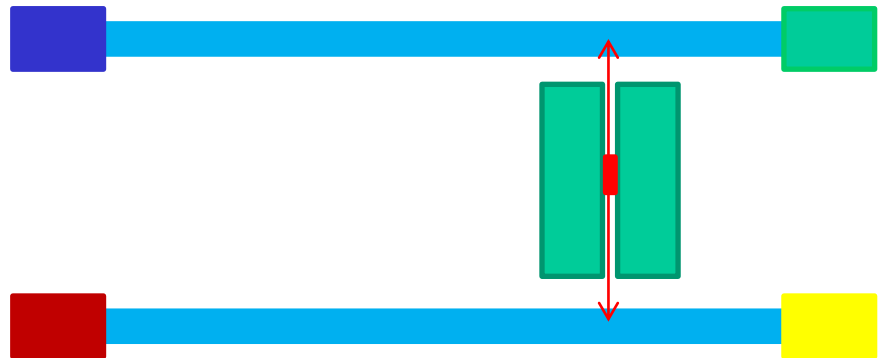


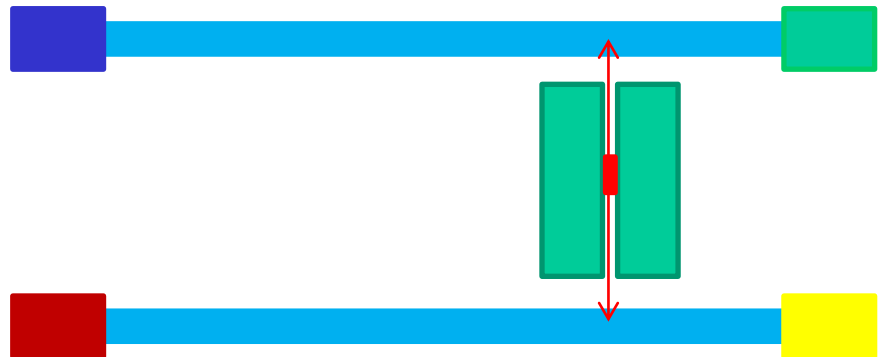


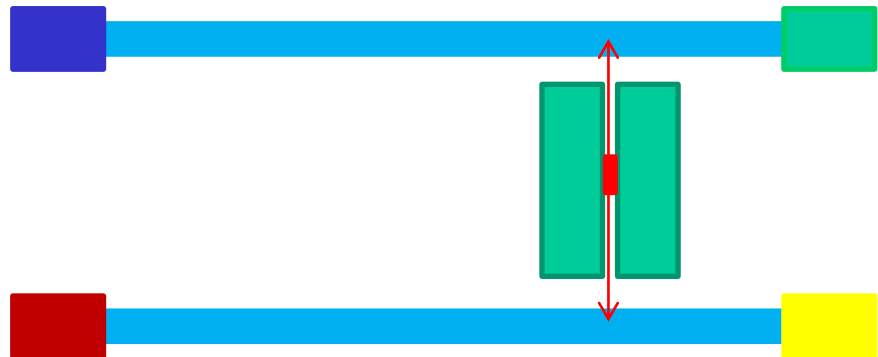


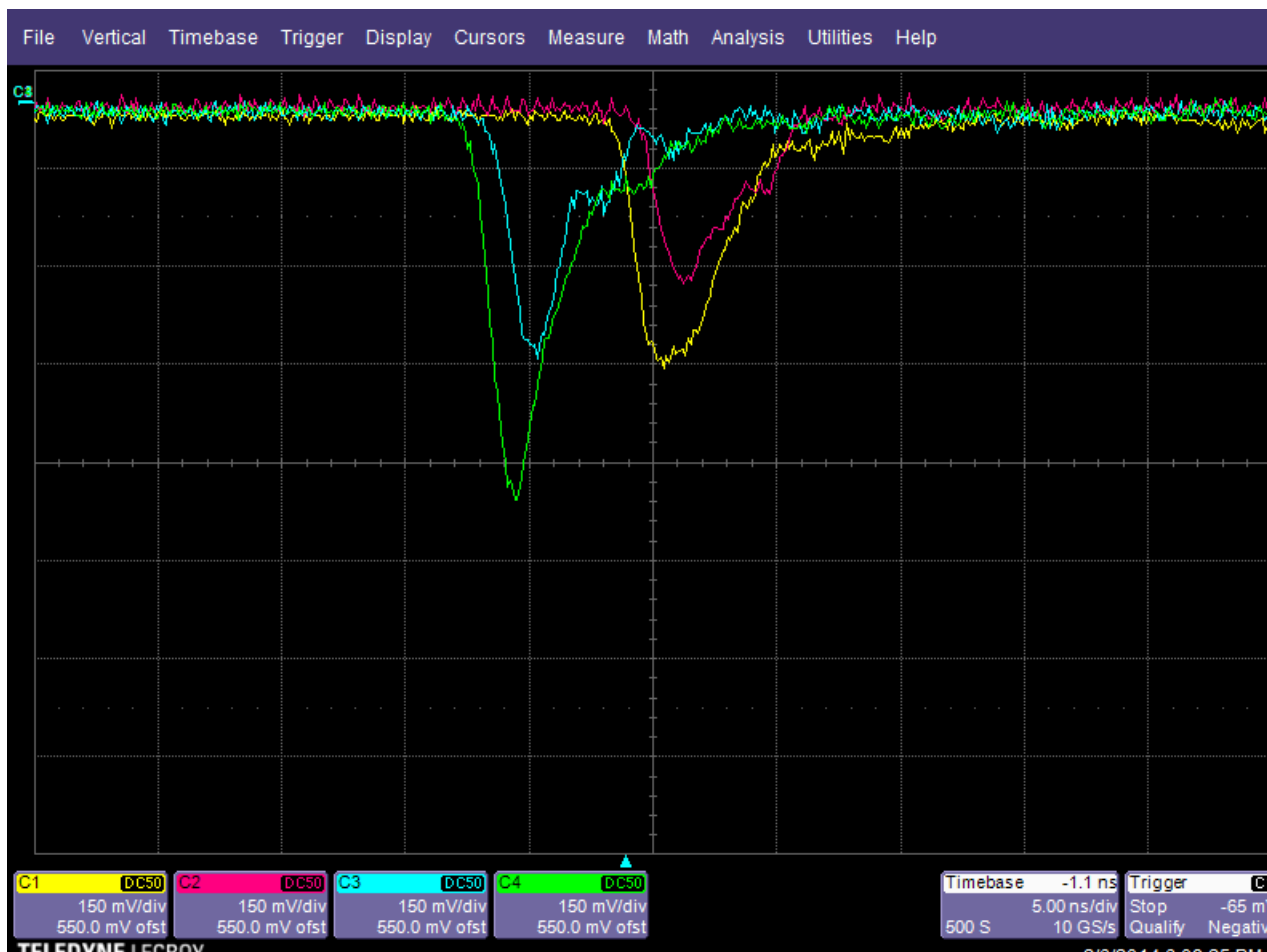
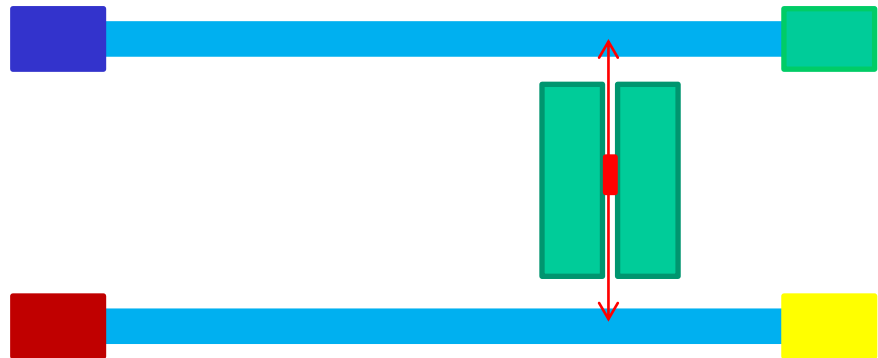


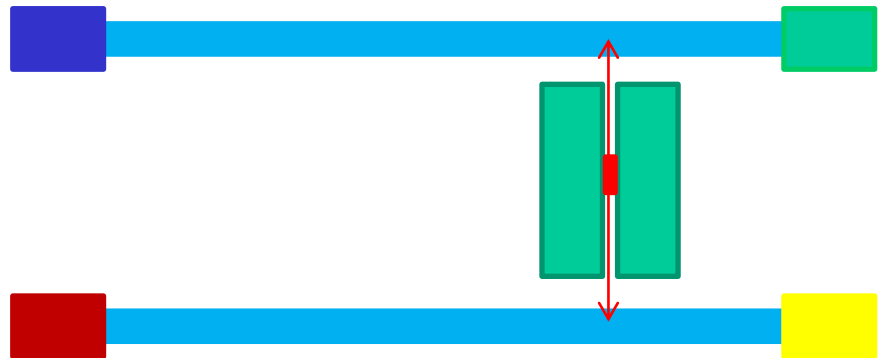






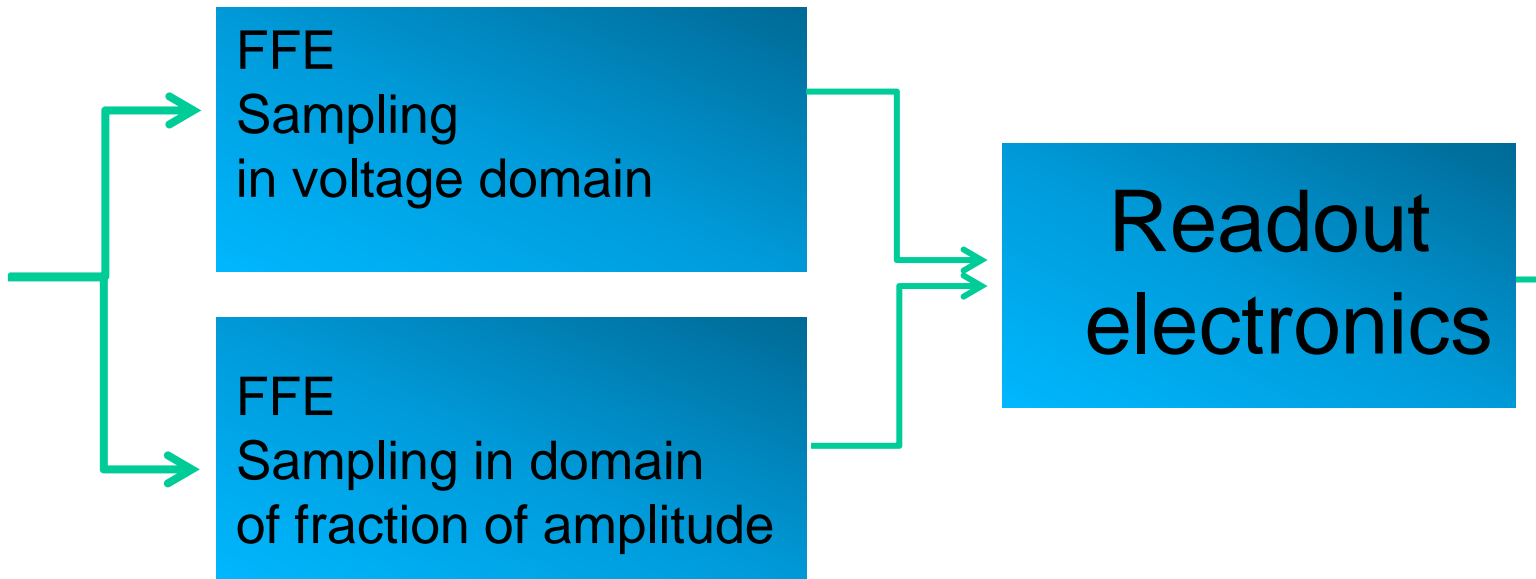
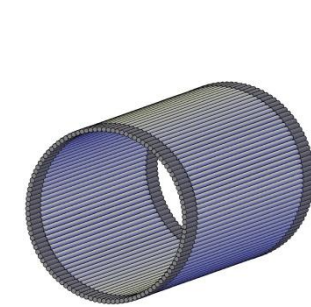




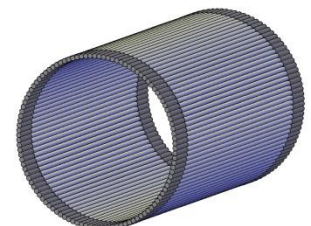


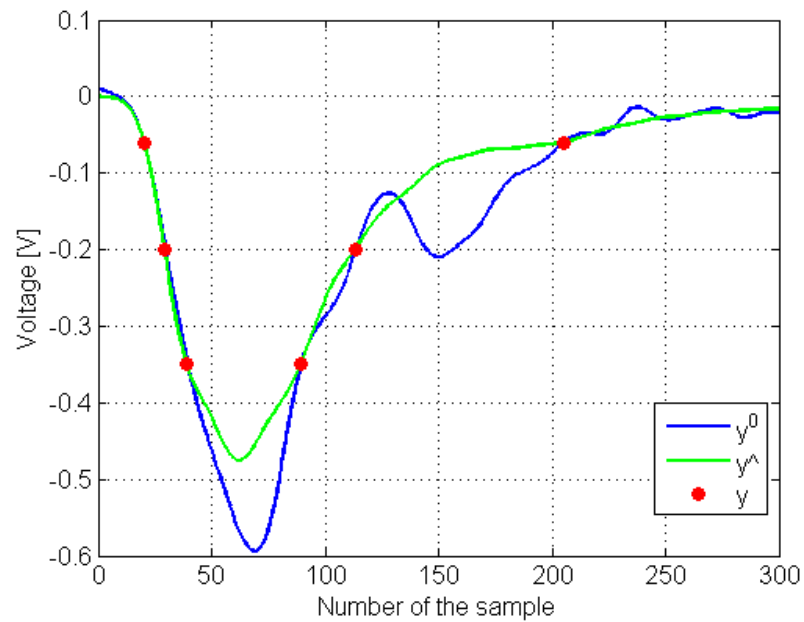
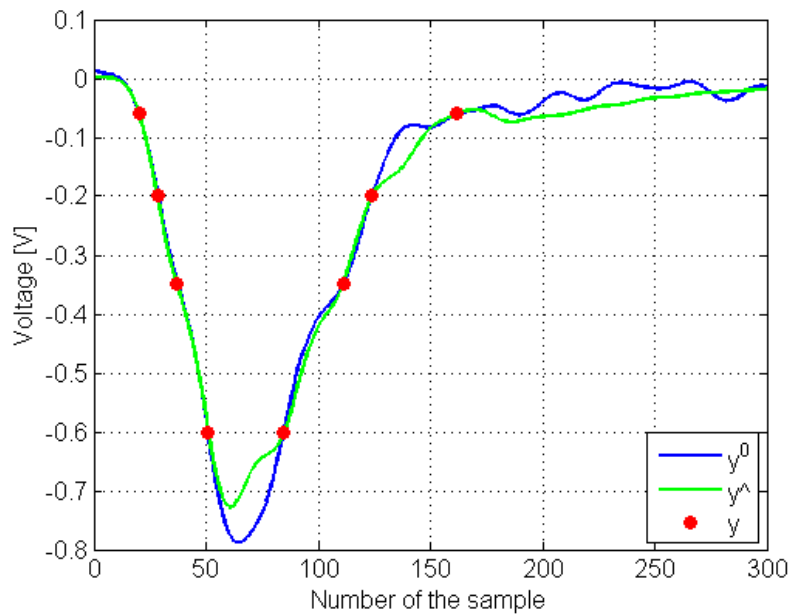
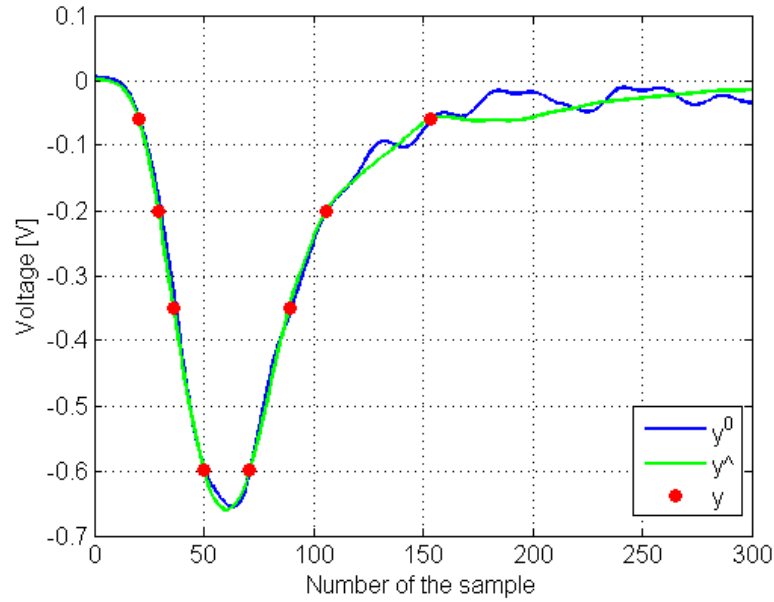
# ANALOG

# DIGITAL

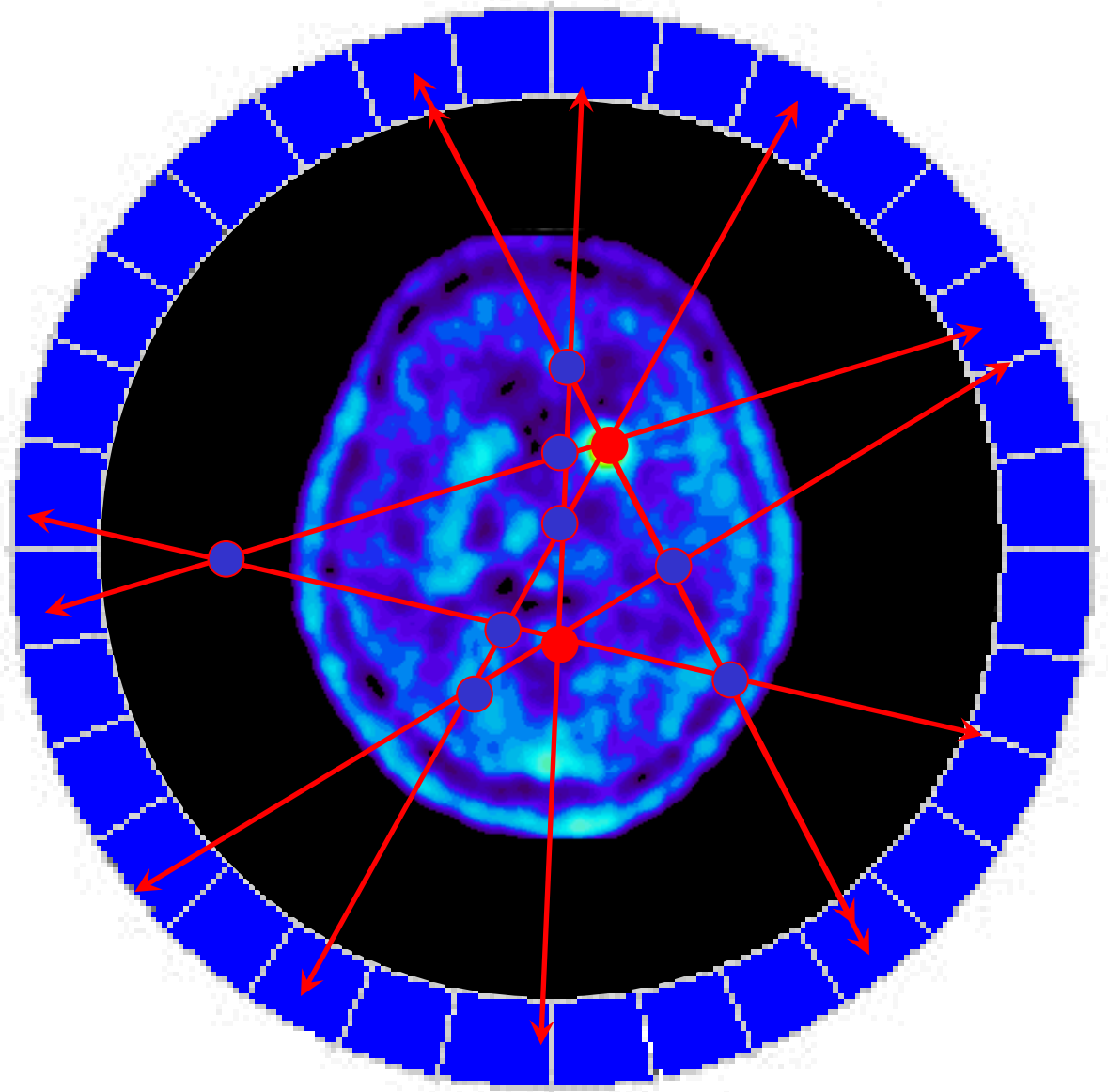


New idea... **BREAK THROUGH**





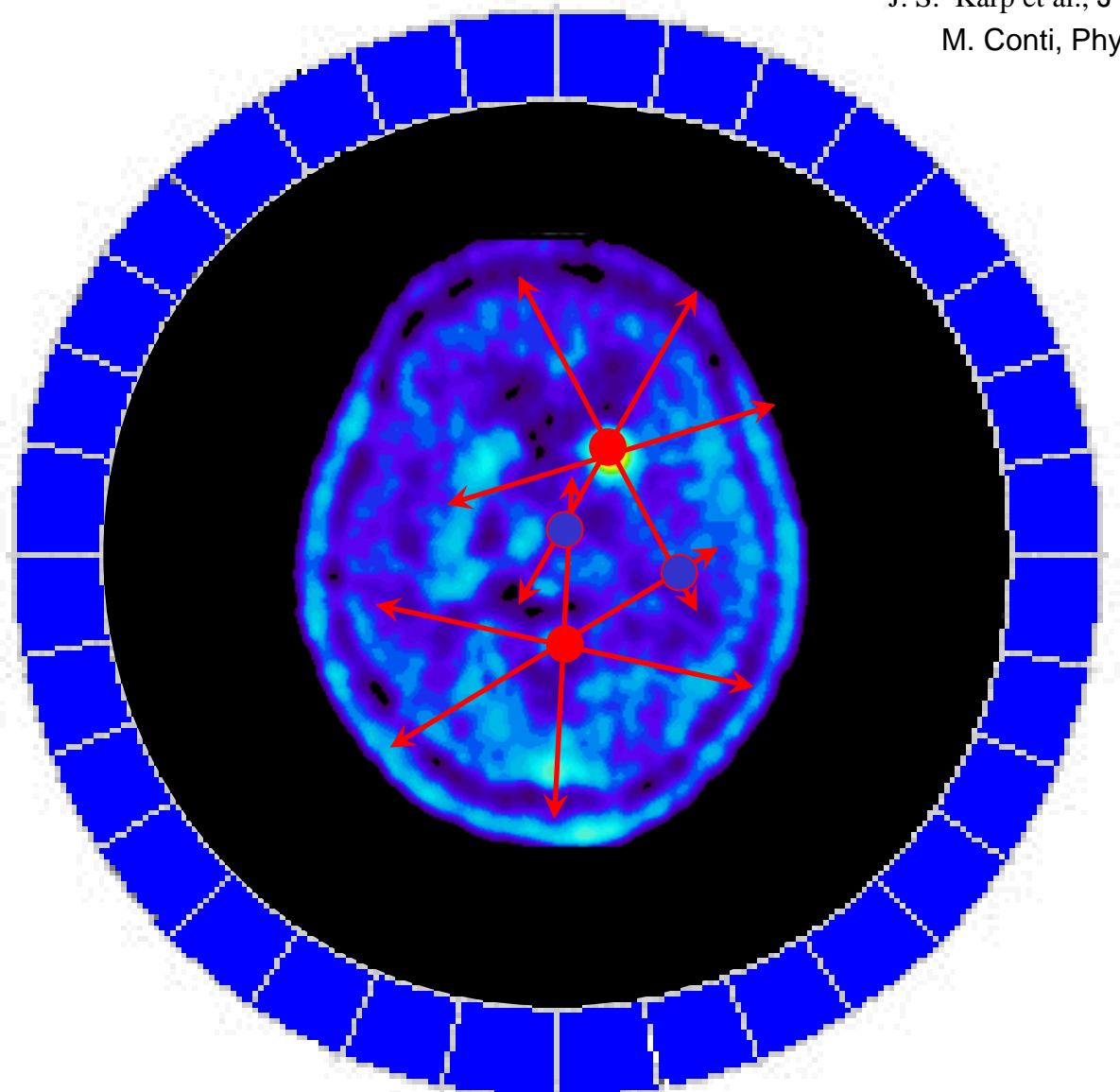
**Library of signals  
Principal Component Analysis  
Compressive Sensing  
L. Raczyński et al.,  
NIM A786 (2015) 105**



signal/background  
 $\sim D / \Delta t$

40cm/600ps improvement by factor of 4

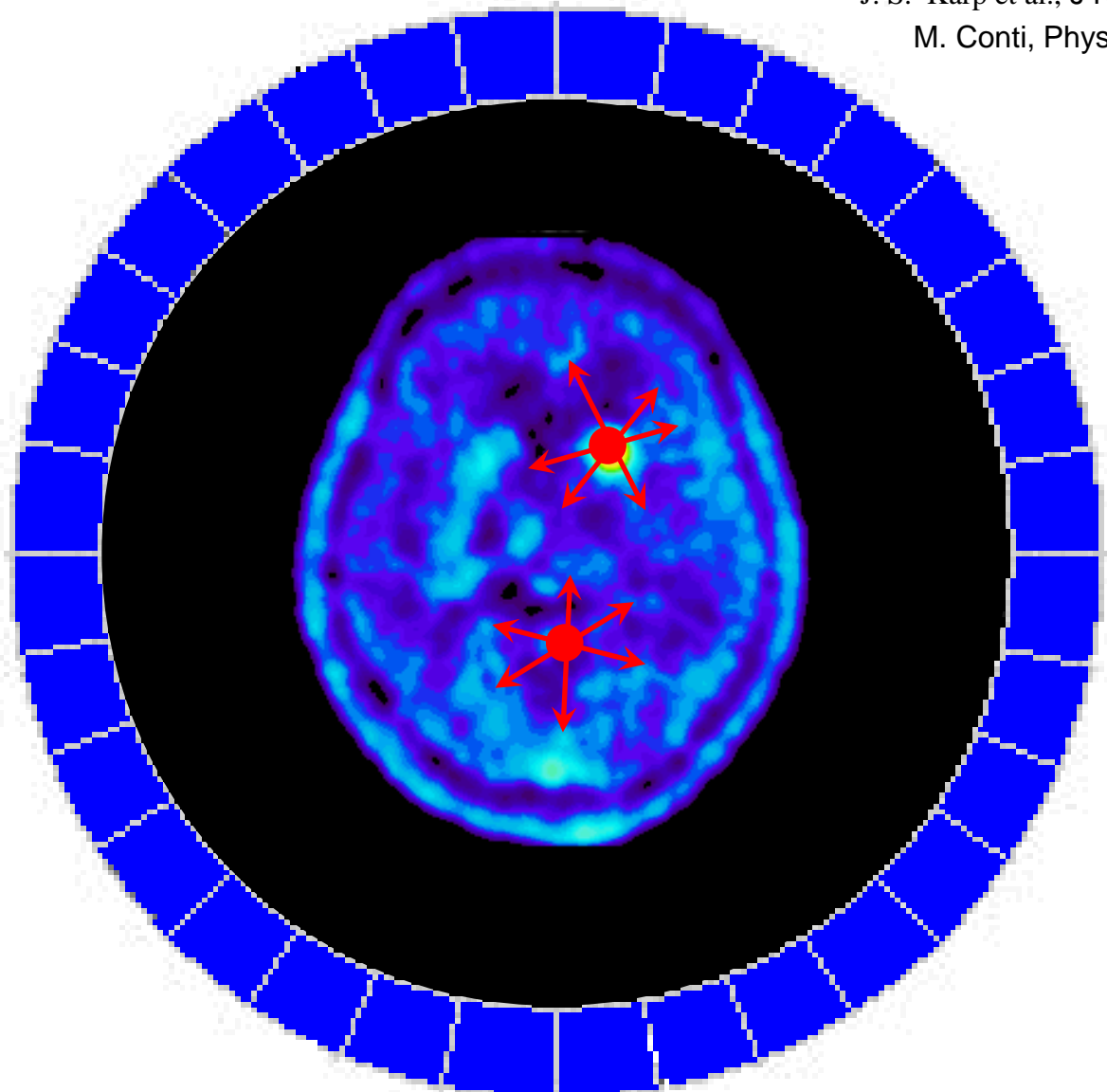
J. S. Karp et al., J Nucl Med 2008; 49: 462  
M. Conti, Physica Medica 2009; 25: 1.



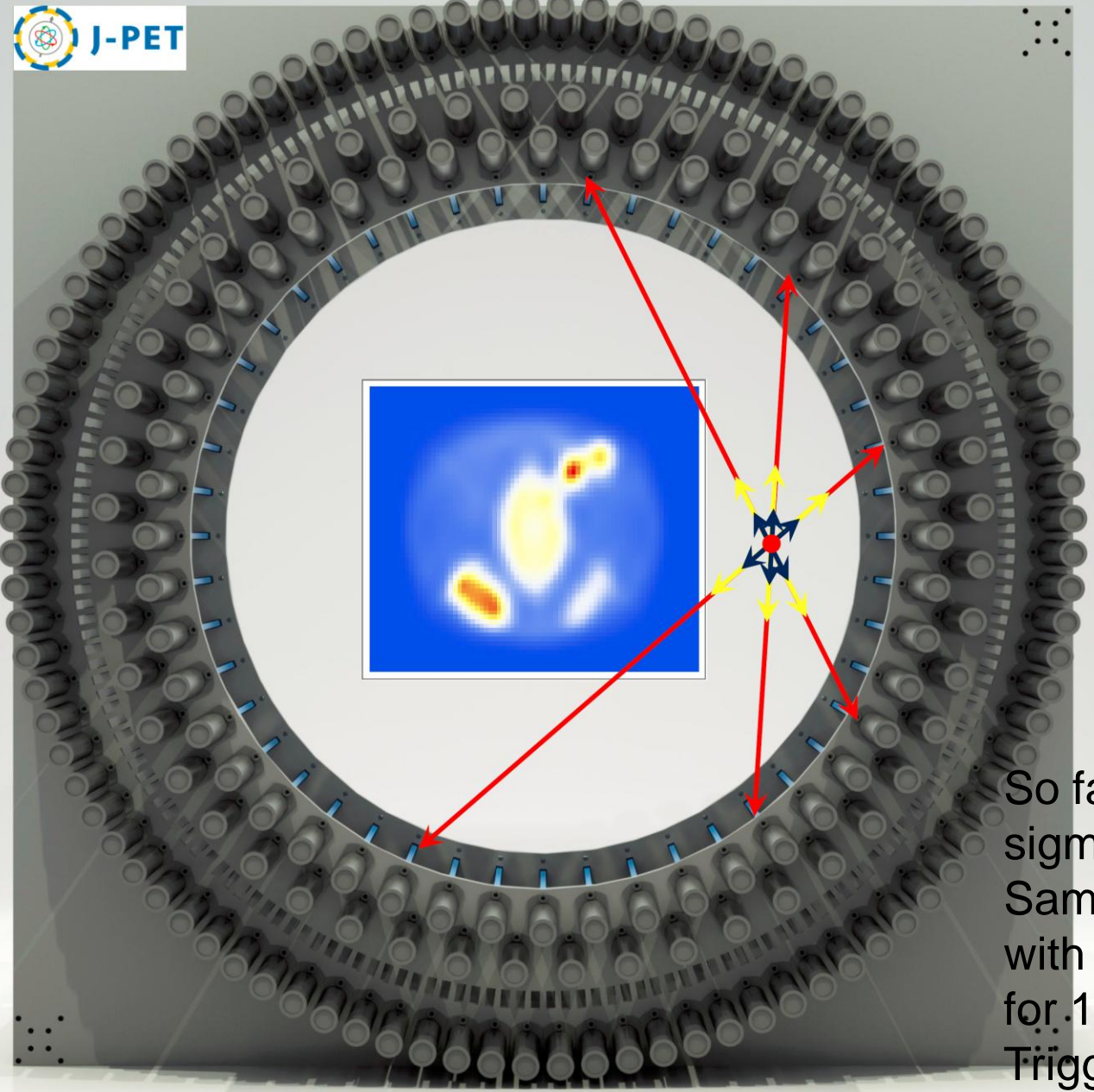
signal/background  
 $\sim D / \Delta t$

40cm/200ps improvement by factor of 12

J. S. Karp et al., J Nucl Med 2008; 49: 462  
M. Conti, Physica Medica 2009; 25: 1.



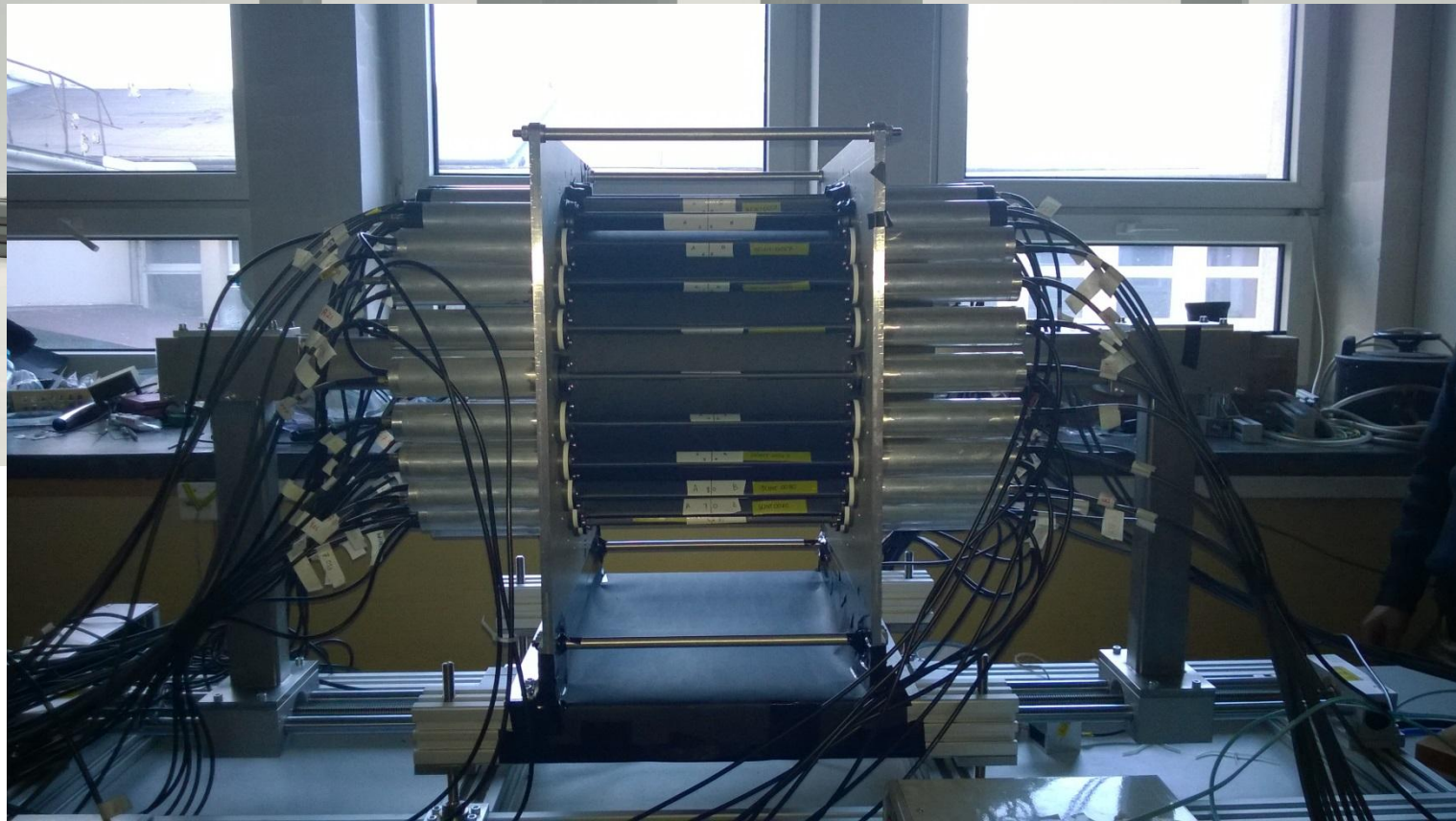
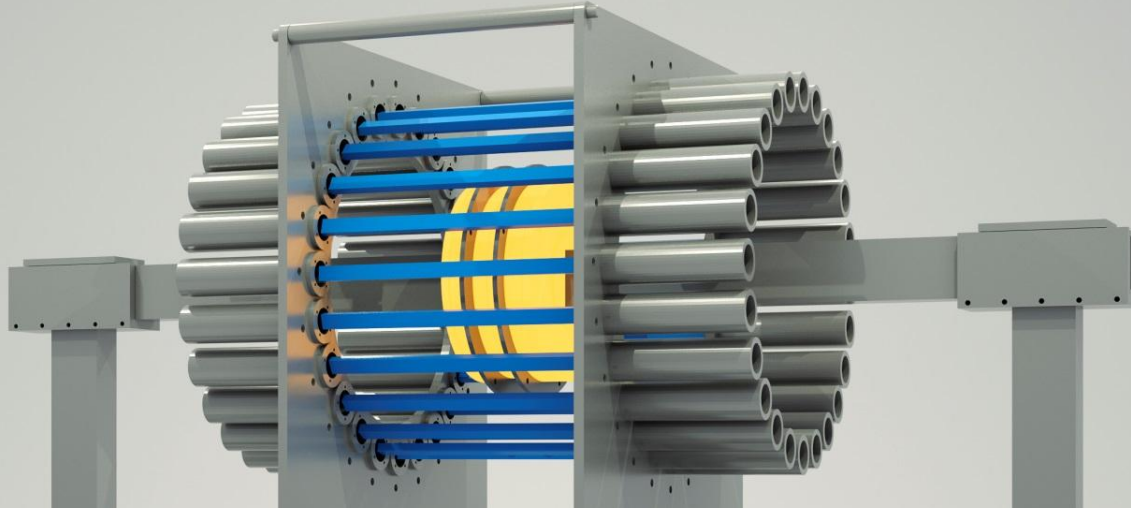
PET  
TOF-PET  
J-PET

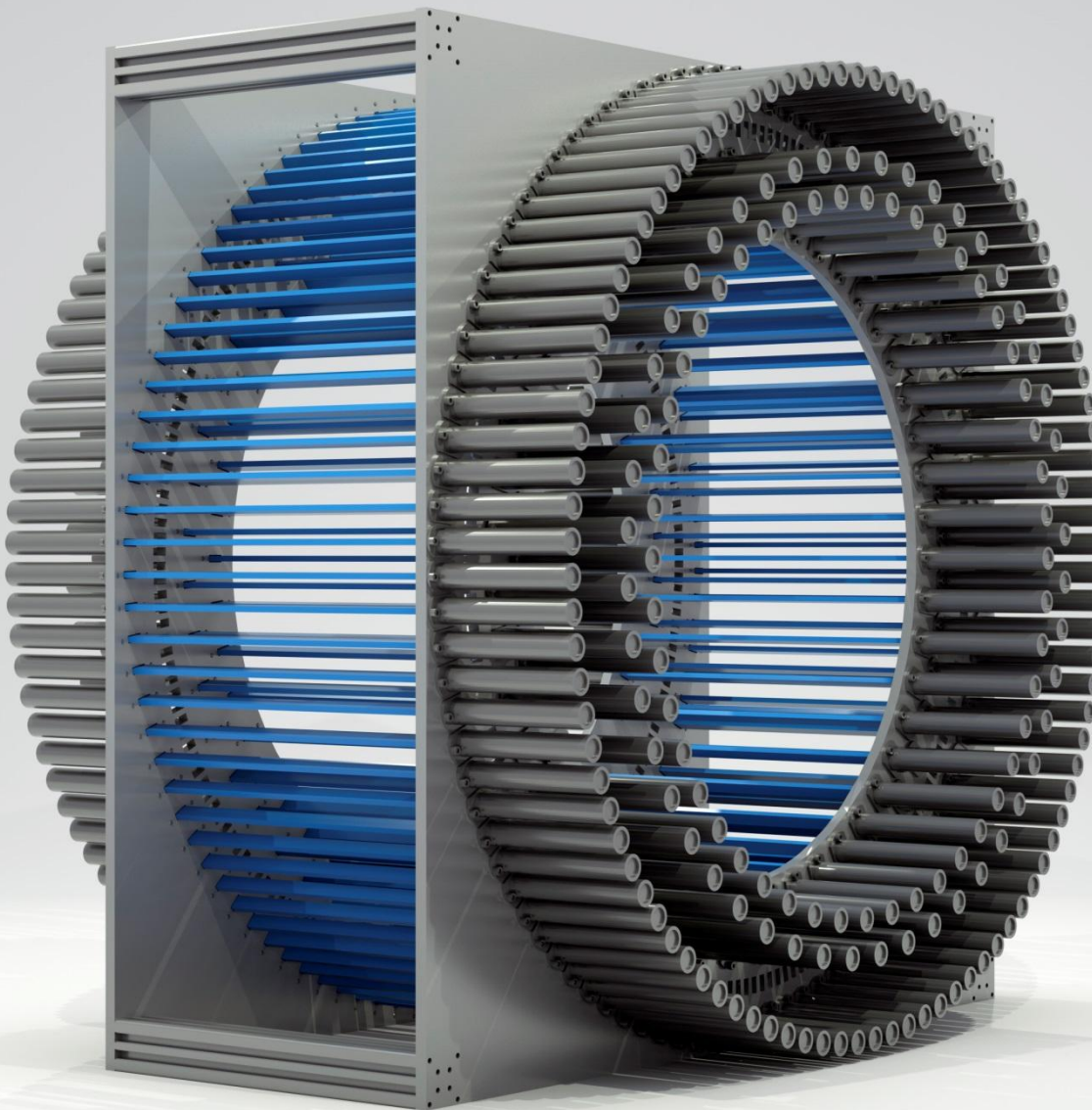


The diagram illustrates the J-PET detector's architecture. It features a central cylindrical core with a white faceplate containing a blue heatmap of a radioactive source. This core is surrounded by two concentric layers of grey cylindrical modules. A red double-headed arrow at the top indicates the total width of the PET layer. A yellow double-headed arrow indicates the width of the TOF-PET layer, which includes the innermost module and the first outer module. A blue double-headed arrow indicates the width of the J-PET layer, which covers all three outermost modules. Red arrows point from the text labels to their corresponding detector components.

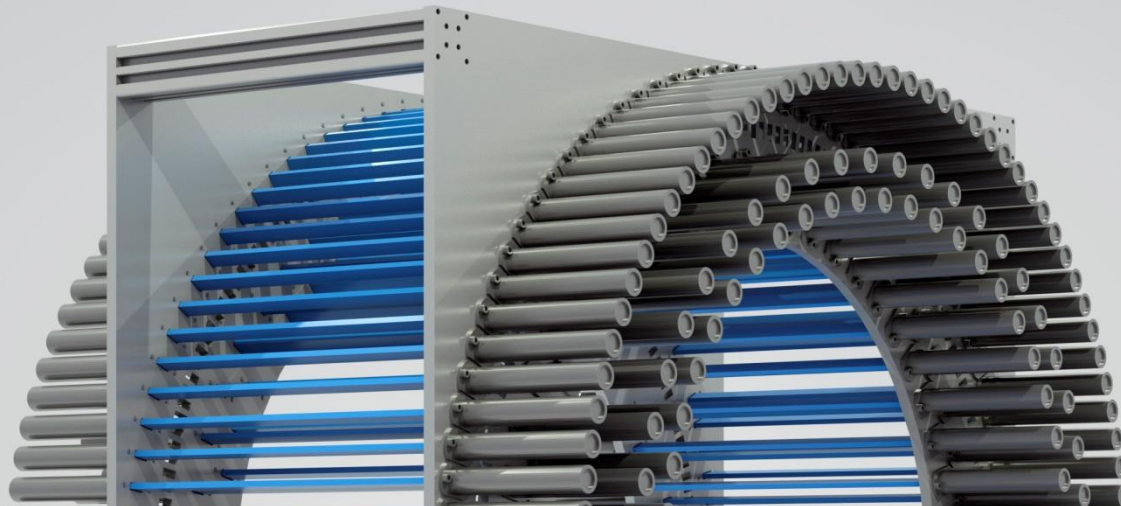


So far:  
 $\sigma(\text{TOF}) = 100\text{ps}$  ;  
Sampling in voltage domain  
with precision of 21ps ( $\sigma$ )  
for 10 Euro per sample;  
Triggerless DAQ;



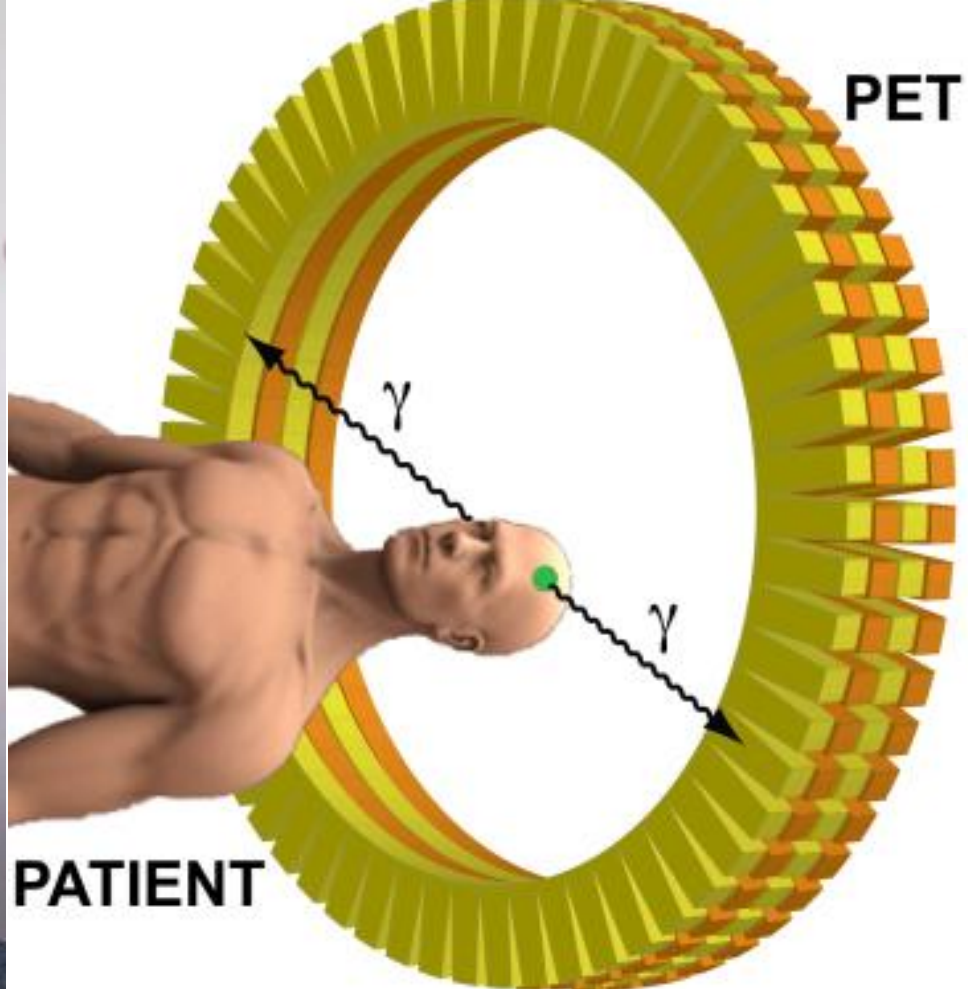


Jagiellonian PET



- materia -- anty-materia
- ciemny foton
- Jagielloński PET
- symetrie dyskretne
- nano-struktura komórek

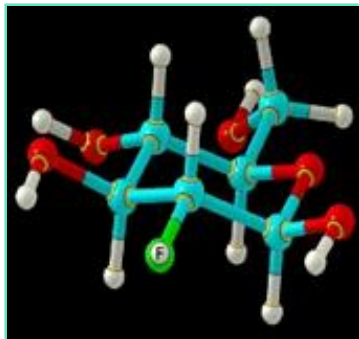
Jagiellonian PET

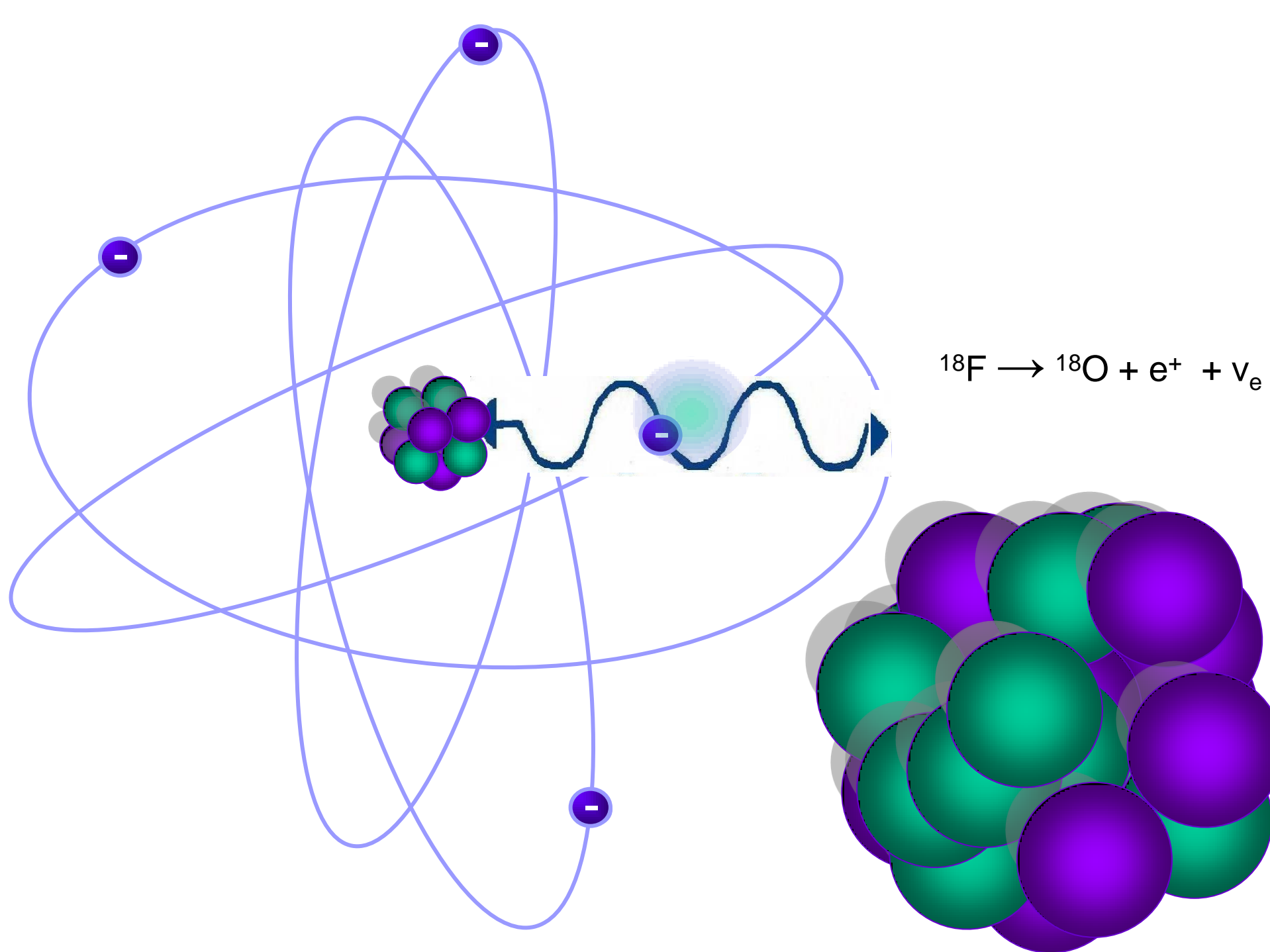


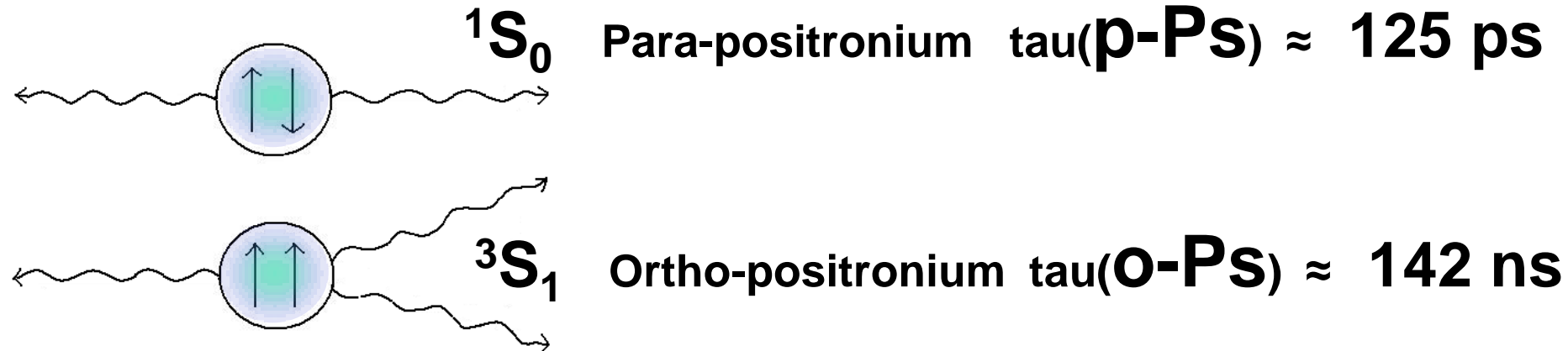
## RADIOAKTYWNY CUKIER

Fluoro-deoksy-glukoza  
(F-18 FDG)

~200 000 000  
kwantów gamma na sekunde







$^1S_0$     $^3S_1$   
L   0   0

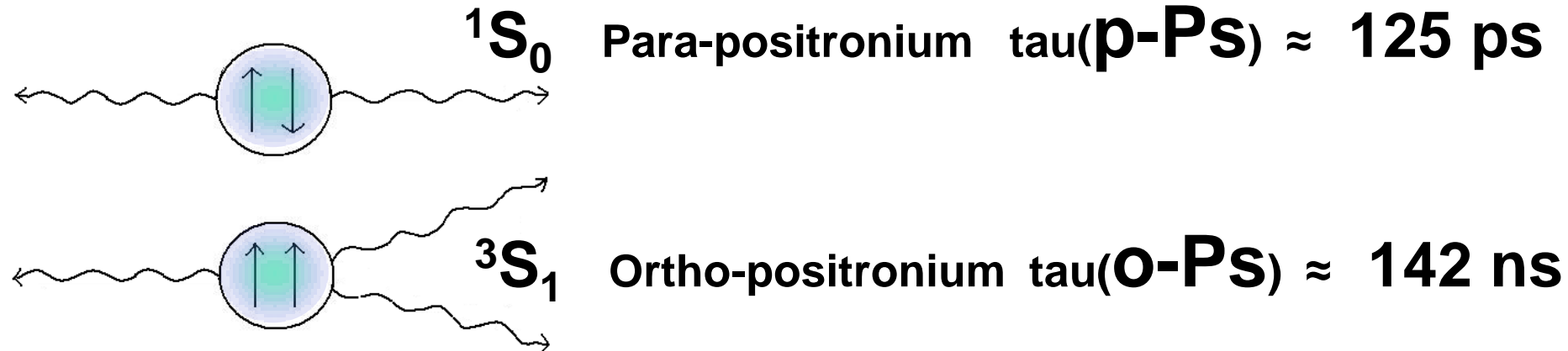
# parzystość ładunkowa C

$$C \quad \begin{array}{c} - \\ + \end{array} = \alpha \quad \begin{array}{c} + \\ - \end{array}$$

$$CC \quad \begin{array}{c} - \\ + \end{array} = C\alpha \quad \begin{array}{c} + \\ - \end{array} = \alpha^2 \quad \begin{array}{c} - \\ + \end{array}$$

$$\alpha^2 = 1$$

$$\alpha = +1 \text{ or } \alpha = -1$$

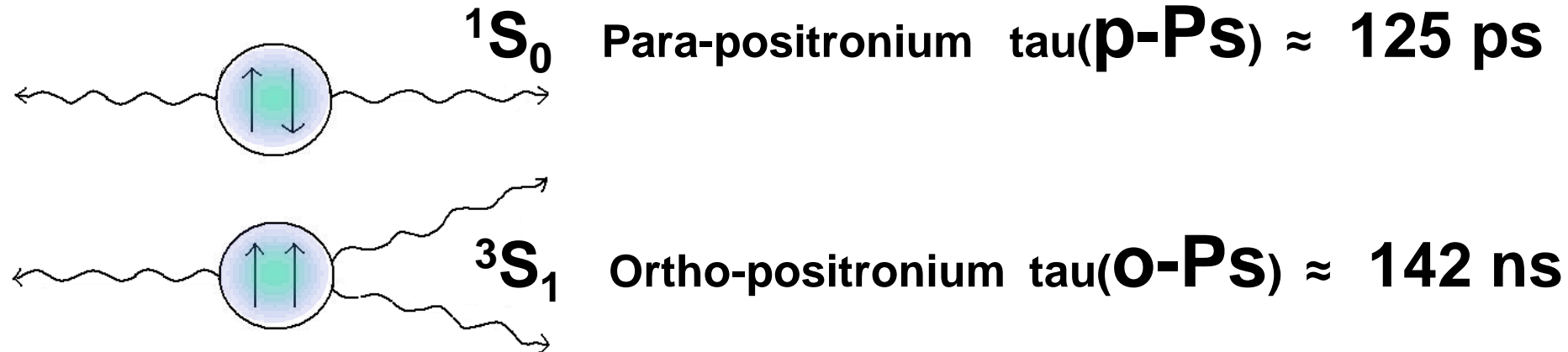


	$^1S_0$	$^3S_1$
L	0	0
S	0	1
C	+	-

$$\begin{aligned} S = 0 & \quad \downarrow \uparrow - \uparrow \downarrow \\ S = 1 & \quad \uparrow \uparrow + \downarrow \downarrow \end{aligned}$$

$$C |Ps\rangle = (-1)^{L+S} |Ps\rangle$$

$$C |n\gamma\rangle = (-1)^n |n\gamma\rangle$$



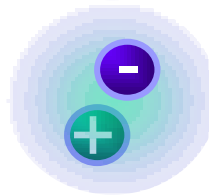
	$^1S_0$	$^3S_1$
L	0	0
S	0	1
C	+	-
$L=0 \rightarrow P$	-	-
CP	-	+

$$S = 0 \quad \downarrow\uparrow - \uparrow\downarrow$$

$$S = 1 \quad \uparrow\uparrow + \downarrow\downarrow$$

$$C |Ps\rangle = (-1)^{L+S} |Ps\rangle$$

$$C |n\gamma\rangle = (-1)^n |n\gamma\rangle$$



Eigen-state of Hamiltonian and P, C, CP operators

**The lightest known atom and at the same time anti-atom  
which undergoes self-annihilation as flavor neutral mesons**

**The simplest atomic system with charge conjugation eigenstates.**

**Electrons and positron are the lightest leptons so they can not decay  
into lighter particles via weak interaction ..**

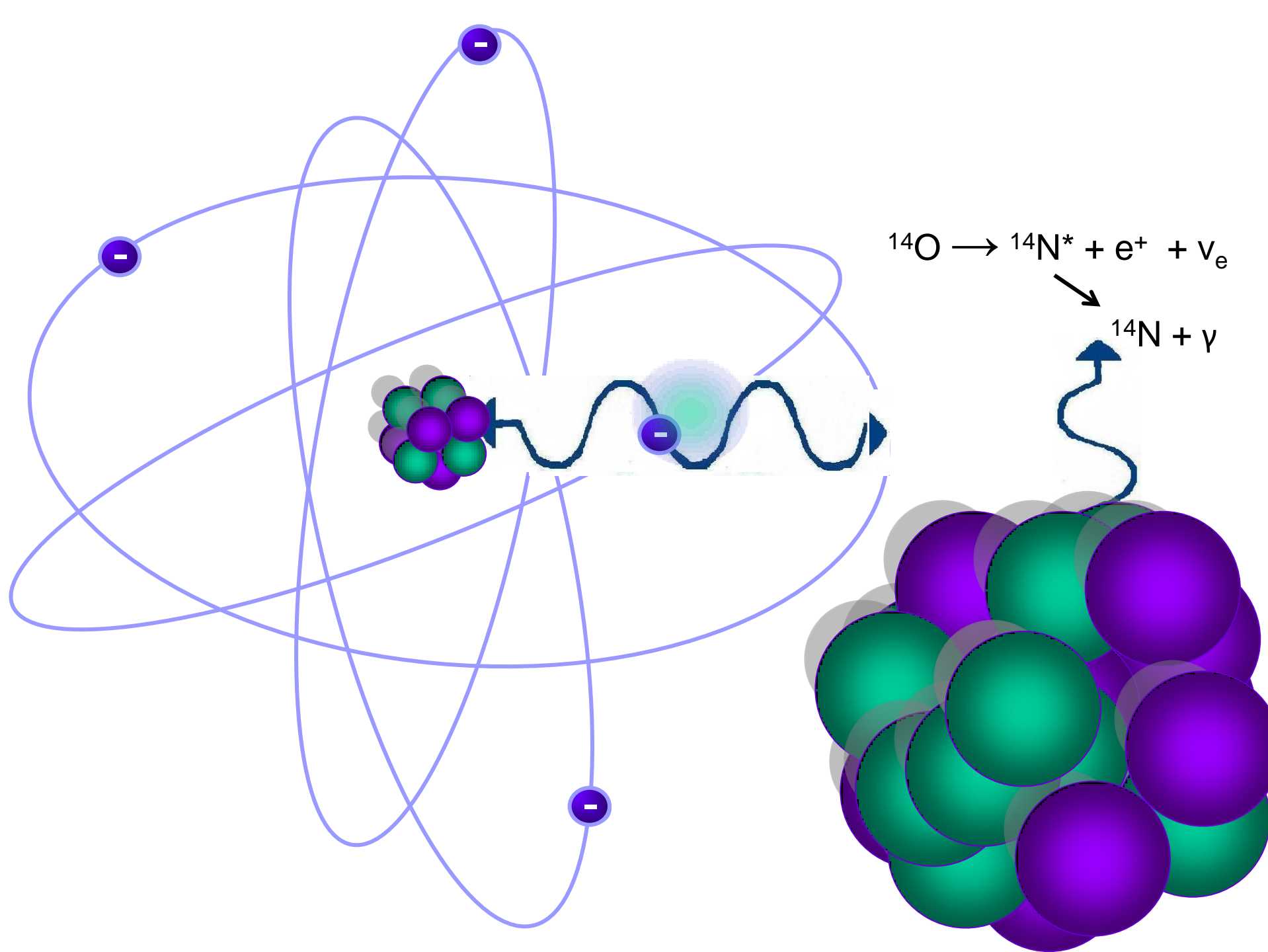
**No charged particles in the final state (radiative corrections very small  $2 * 10^{-10}$ )  
Light by light contributions to various correlations are small**

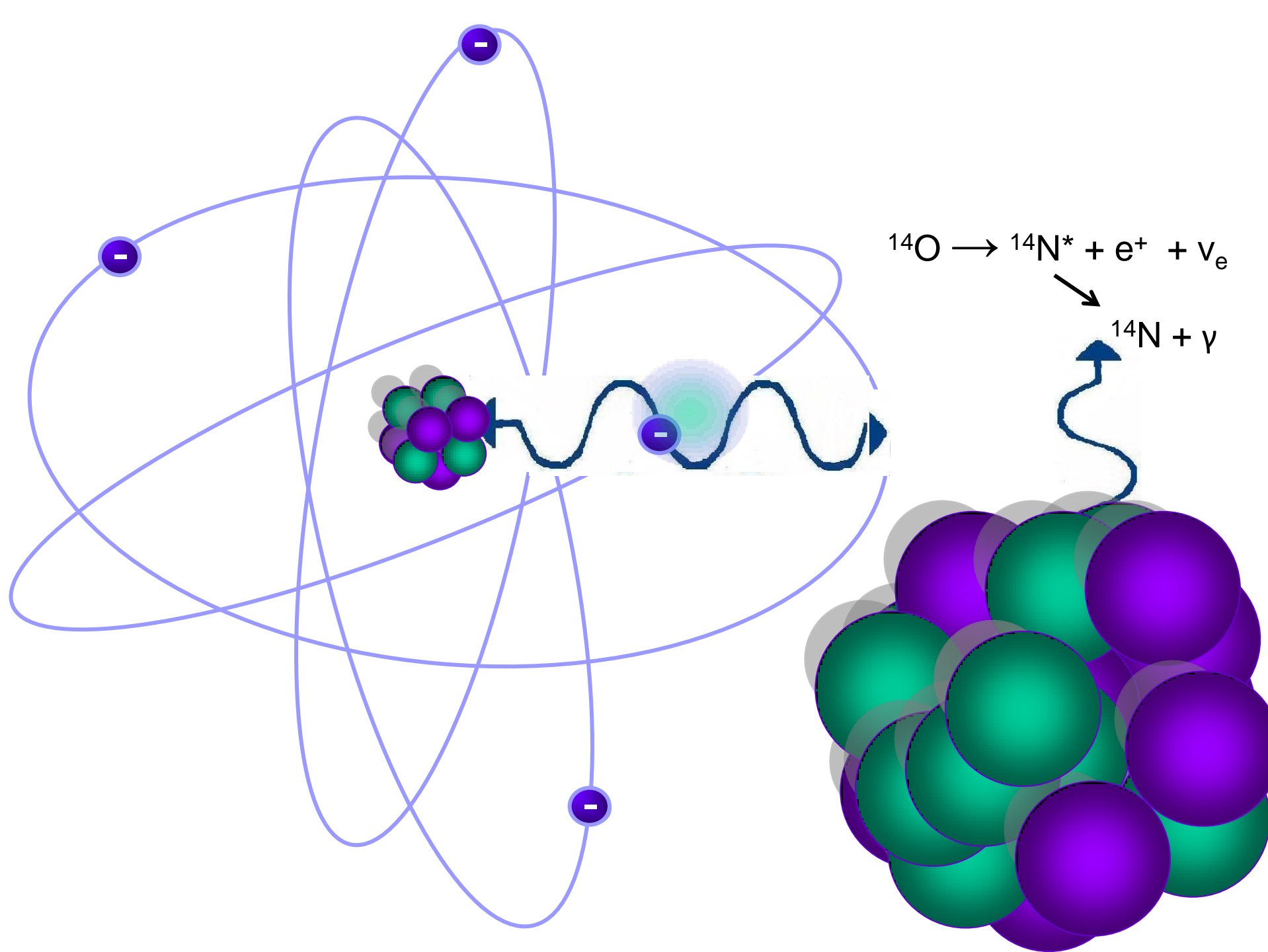
B. K. Arbic et al., Phys. Rev. A 37, 3189 (1988).

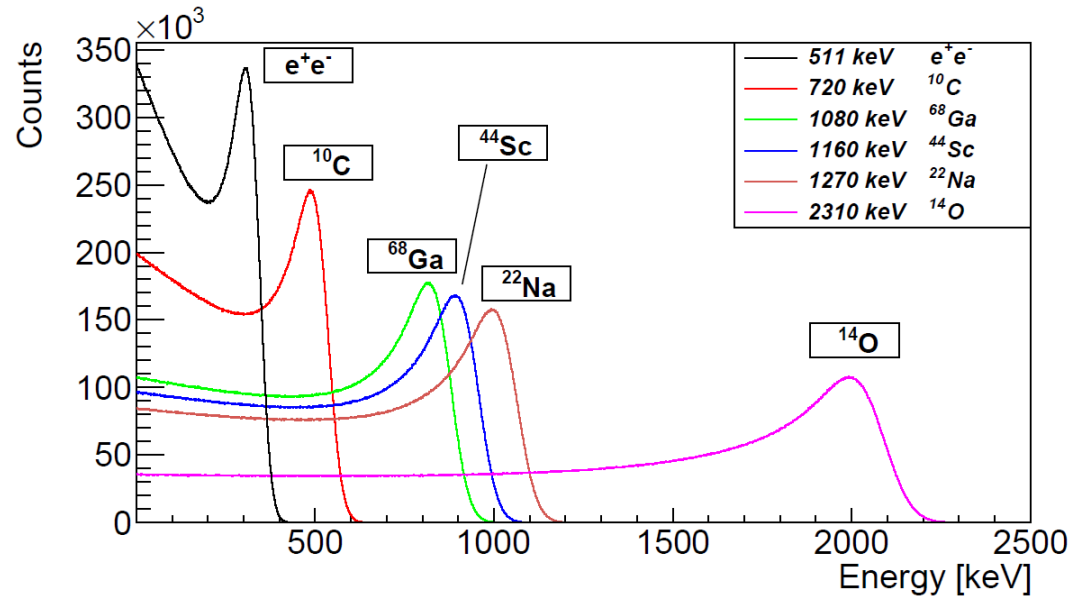
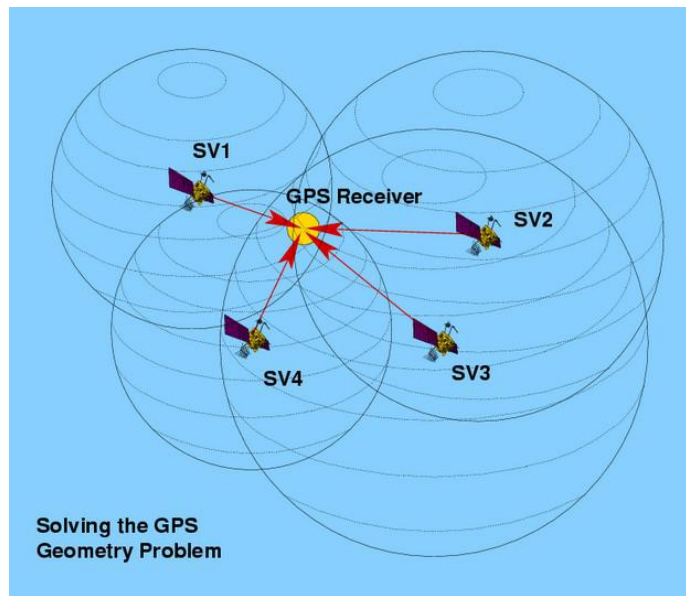
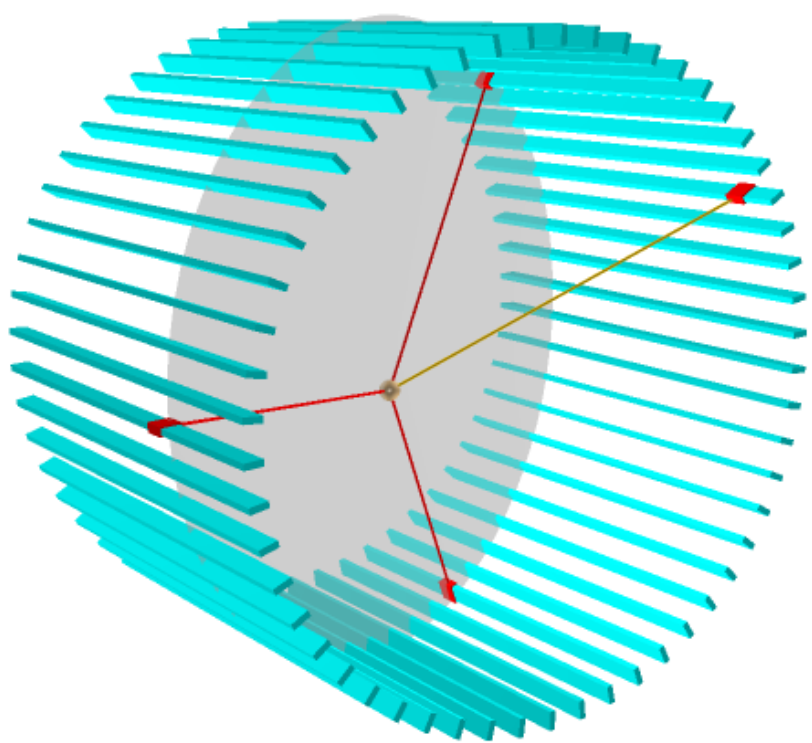
W. Bernreuther et al., Z. Phys. C 41, 143 (1988).

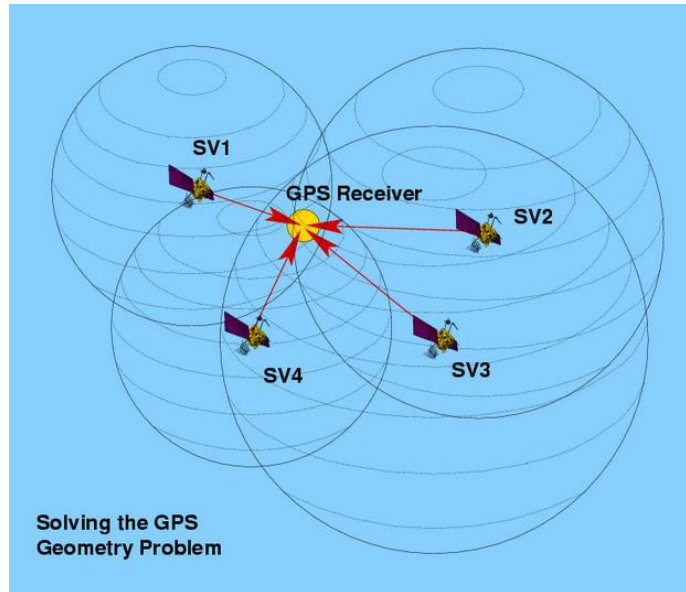
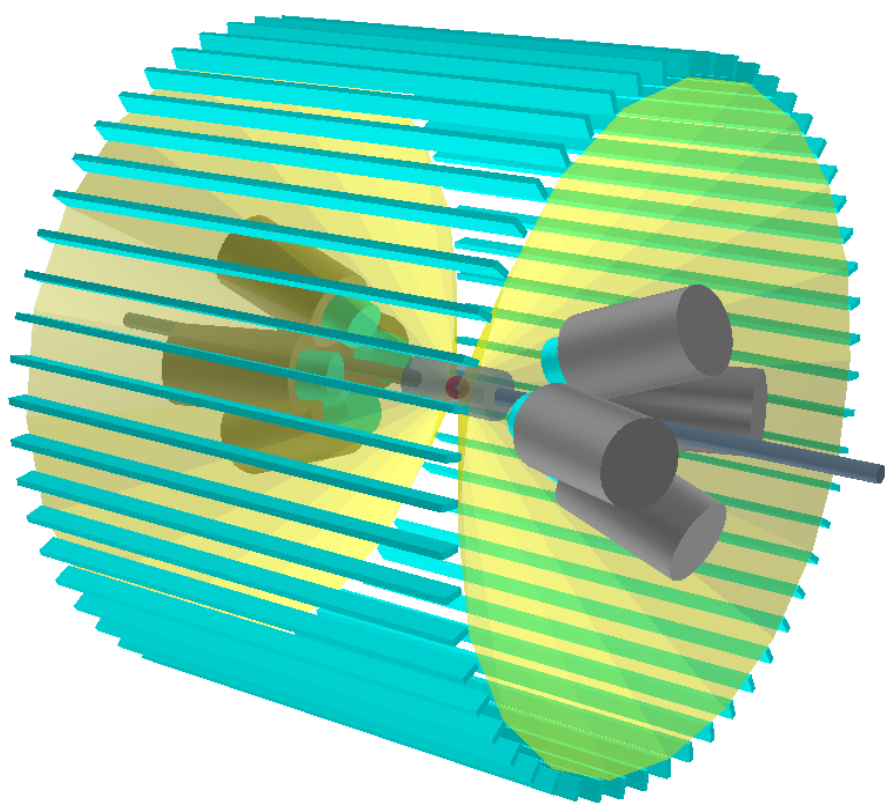
## **Purely Leptonic state !**

Breaking of P, T, C, CP, observed but only for processes involving quarks  
So far breaking of these symmetries was not observed for purely leptonic systems.

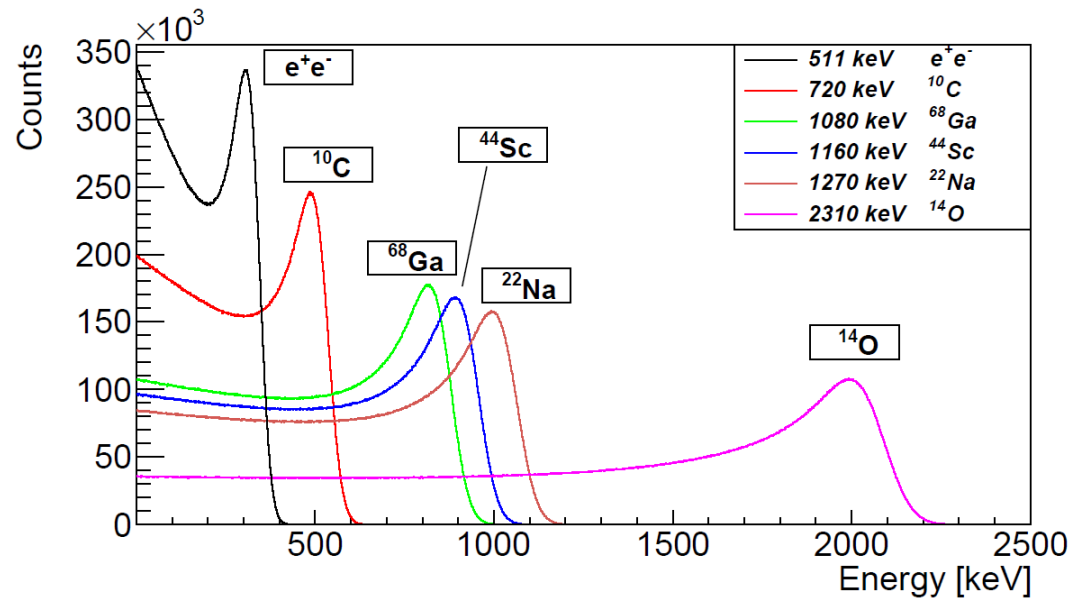


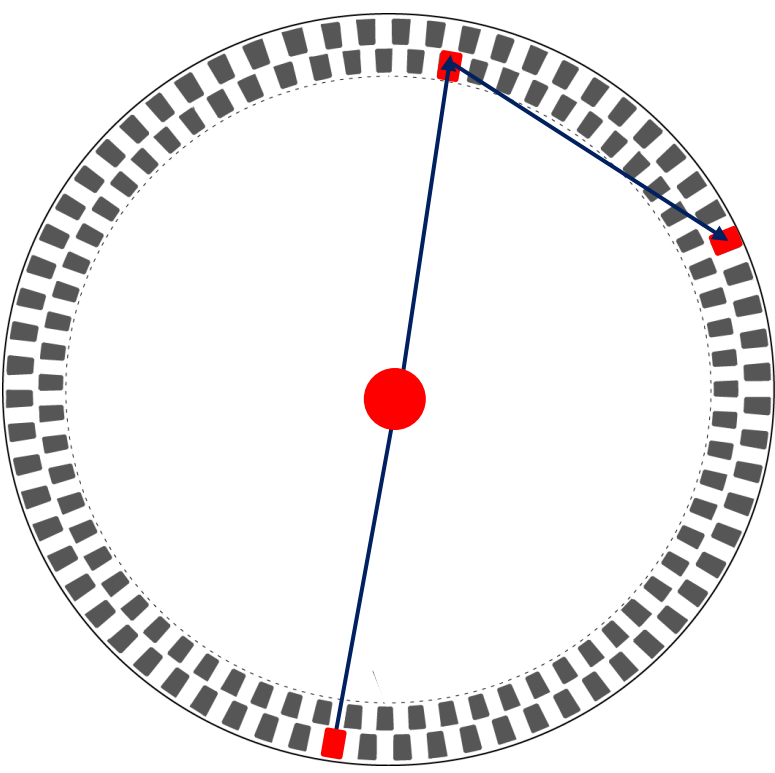




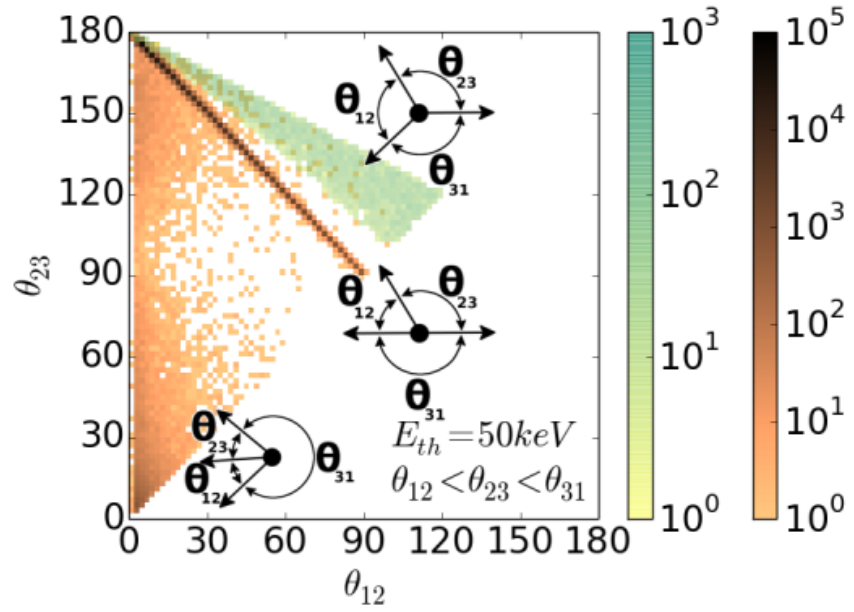
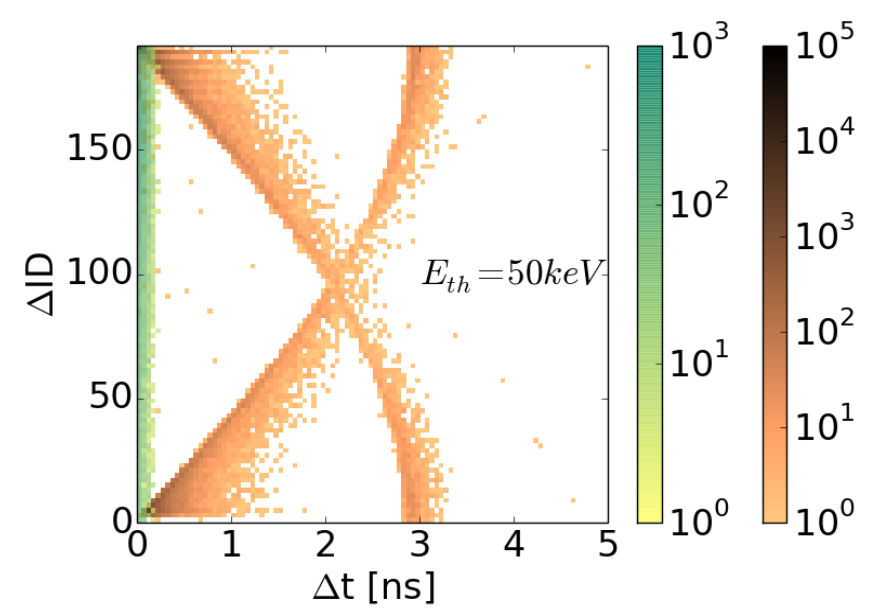


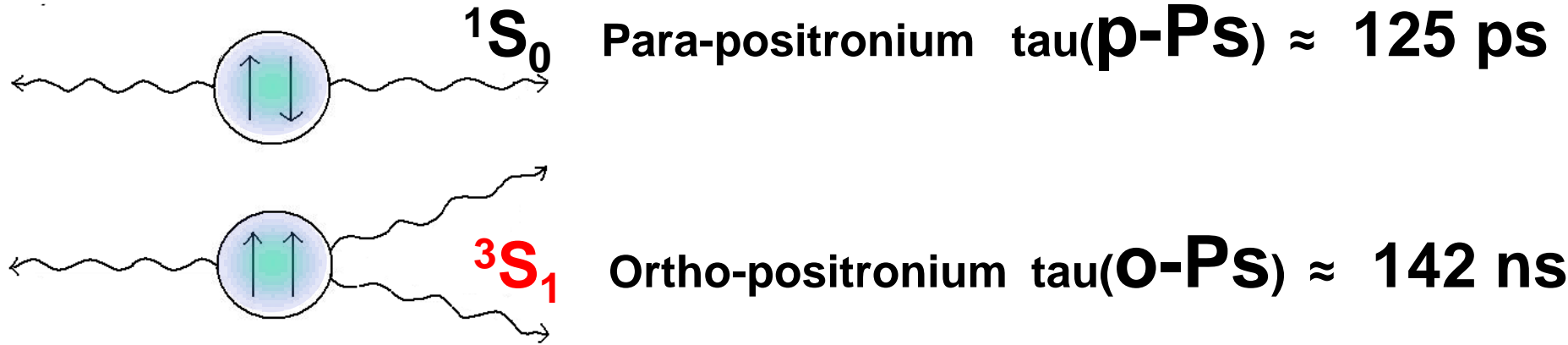
Solving the GPS  
Geometry Problem





Reduction by factor  
 **$10^9$**





	$^1\text{S}_0$	$^3\text{S}_1$	$2\gamma$	$3\gamma$	$4\gamma$	$5\gamma$	$\dots$
C	+	-	+	-	+	-	

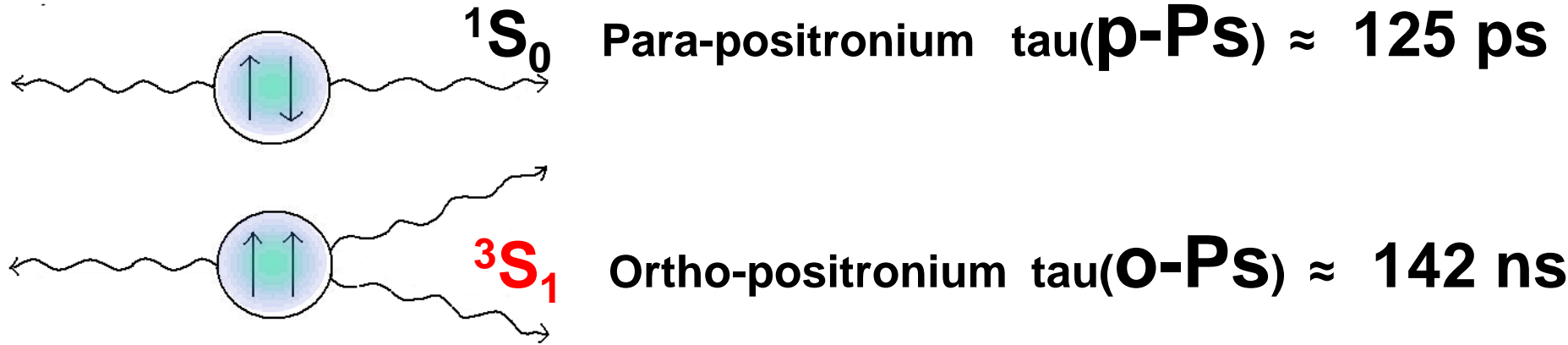
bound state mixing is not possible because there are no positronium states with opposite C-parity and the same  $J^P$ .

$$\text{BR } (^3\text{S}_1 \rightarrow 4\gamma / ^3\text{S}_1 \rightarrow 3\gamma) < 2.6 \cdot 10^{-6} \text{ at 90%CL}$$

J. Yang et al., Phys. Rev. A54 (1996) 1952

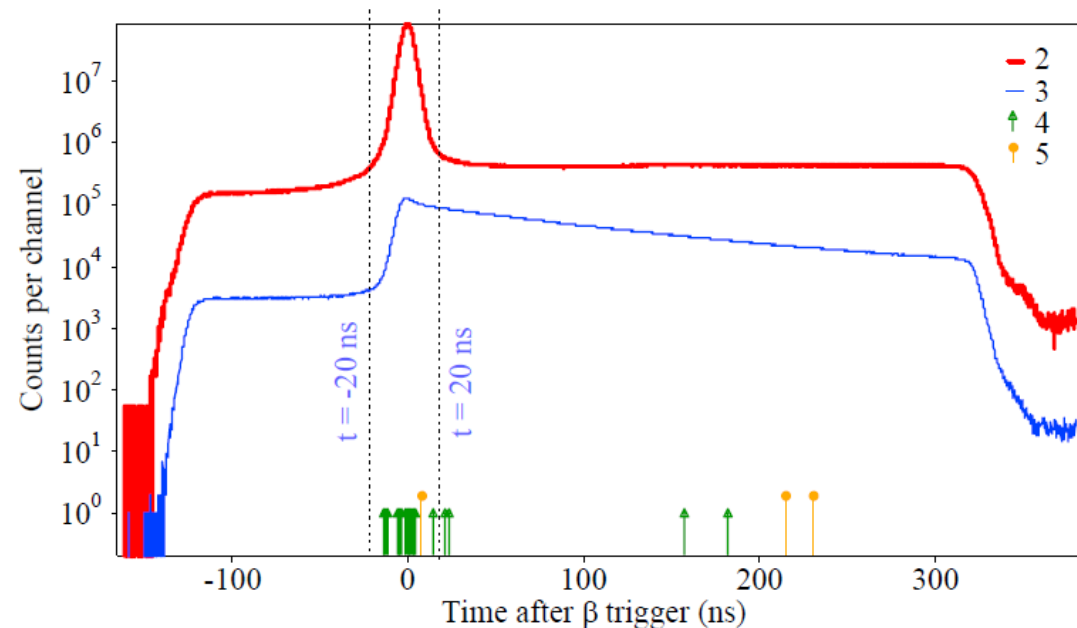
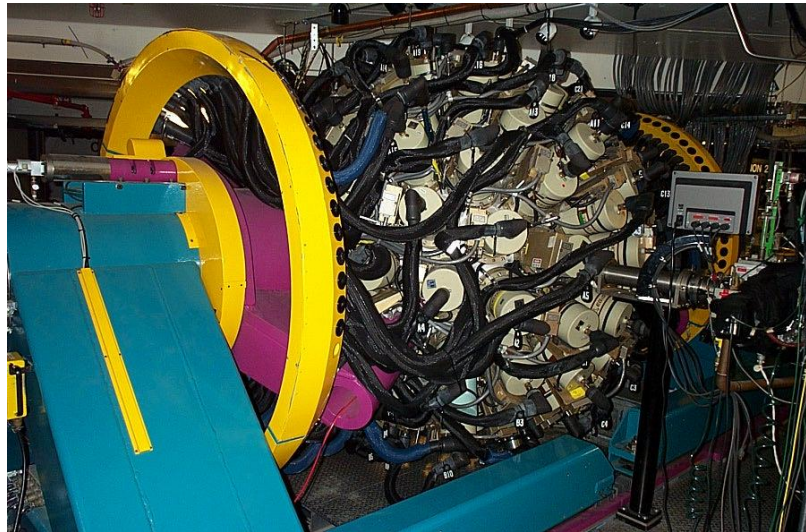
$$\text{BR } (^1\text{S}_0 \rightarrow 3\gamma / ^1\text{S}_0 \rightarrow 2\gamma) < 2.8 \cdot 10^{-6} \text{ at 68%CL}$$

A. P. Mills and S. Berko, Phys. Rev. Lett. 18 (1967) 420



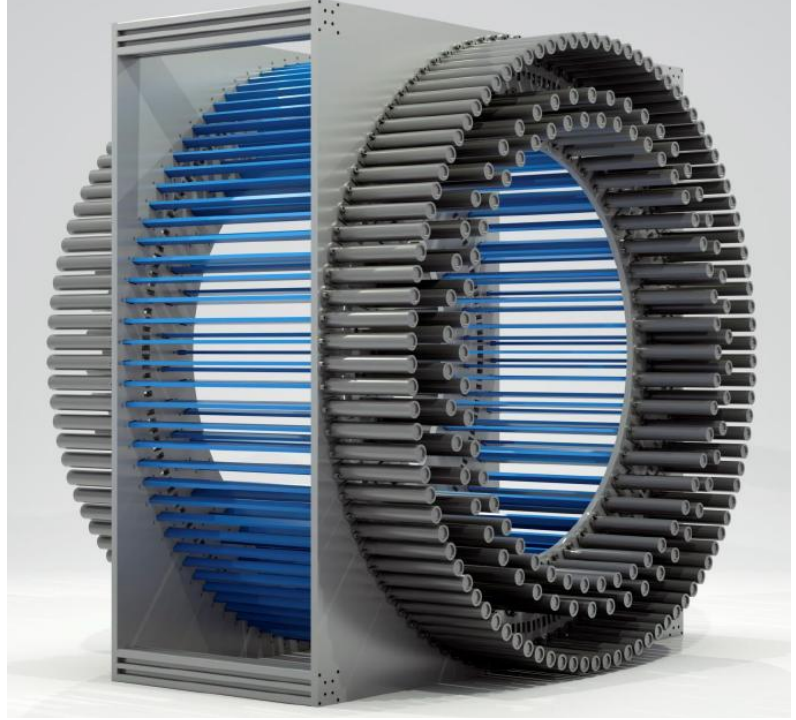
$$\text{BR } (^1S_0 \rightarrow 5\gamma / ^1S_0 \rightarrow 2\gamma) < 2.7 \cdot 10^{-7} \text{ at 90\%CL}$$

P. A. Vetter and S. J. Freedman Phys. Rev. A 66 (2002) 052505



Result from: P. A. Vetter and S. J. Freedman Phys. Rev. A 66 (2002) 052505

Figure taken from the presentation of A. O. Macchiavelli, Nuclear Structure, Oak Ridge, 2006



Sigma(Delta\_T) > 4.6 ns

$$N(\Delta t) = N_o^0 (1+C\dots) e^{-\Delta t/\tau o - Ps} + N_{direct} e^{-\Delta t/\tau b} + N_p^0 (1+C\dots) e^{-\Delta t/\tau p - Ps}$$

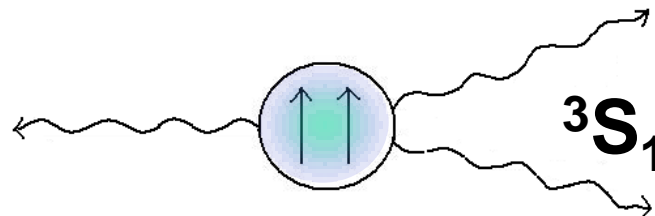
Efficiency + cuts 0.15 per gamma  
Source activity 0.04 MBq

Acceptance x efficiency: 0.1 per gamma  
Activity > 20 MBq

$$\text{pile-ups } t_{\text{crystal}} / t_{\text{plastic scintillator}} \sim 100$$

Angular resolution  
detector 7cm(dia) / 25cm (radius)

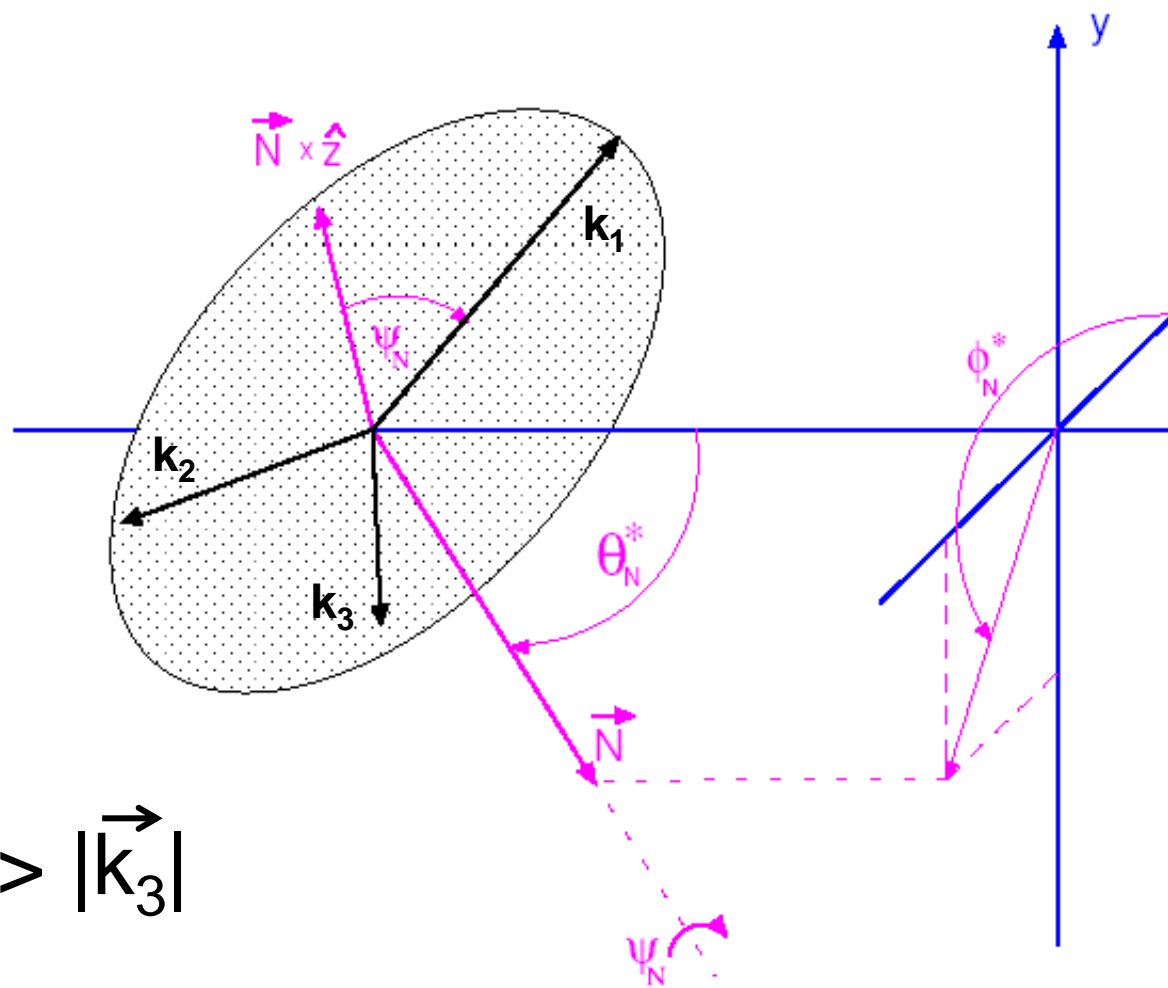
$$1\text{cm} / 40\text{cm} (\text{radius})$$


 $^3S_1$ 

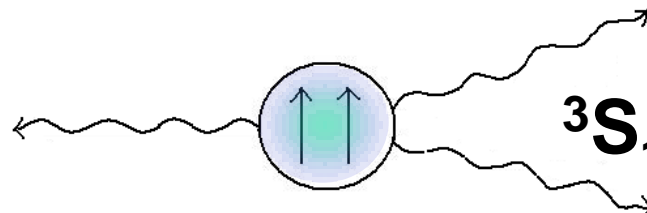
Ortho-positronium tau(O-PS)  $\approx 142$  ns

Operator  
 $\vec{S} \cdot \vec{k}_1 \times \vec{k}_2$

C	P	T	CP	CPT
+	+	-	+	-



$$|\vec{k}_1| > |\vec{k}_2| > |\vec{k}_3|$$


 $^3S_1$ 

Ortho-positronium tau(O-PS)  $\approx 142$  ns

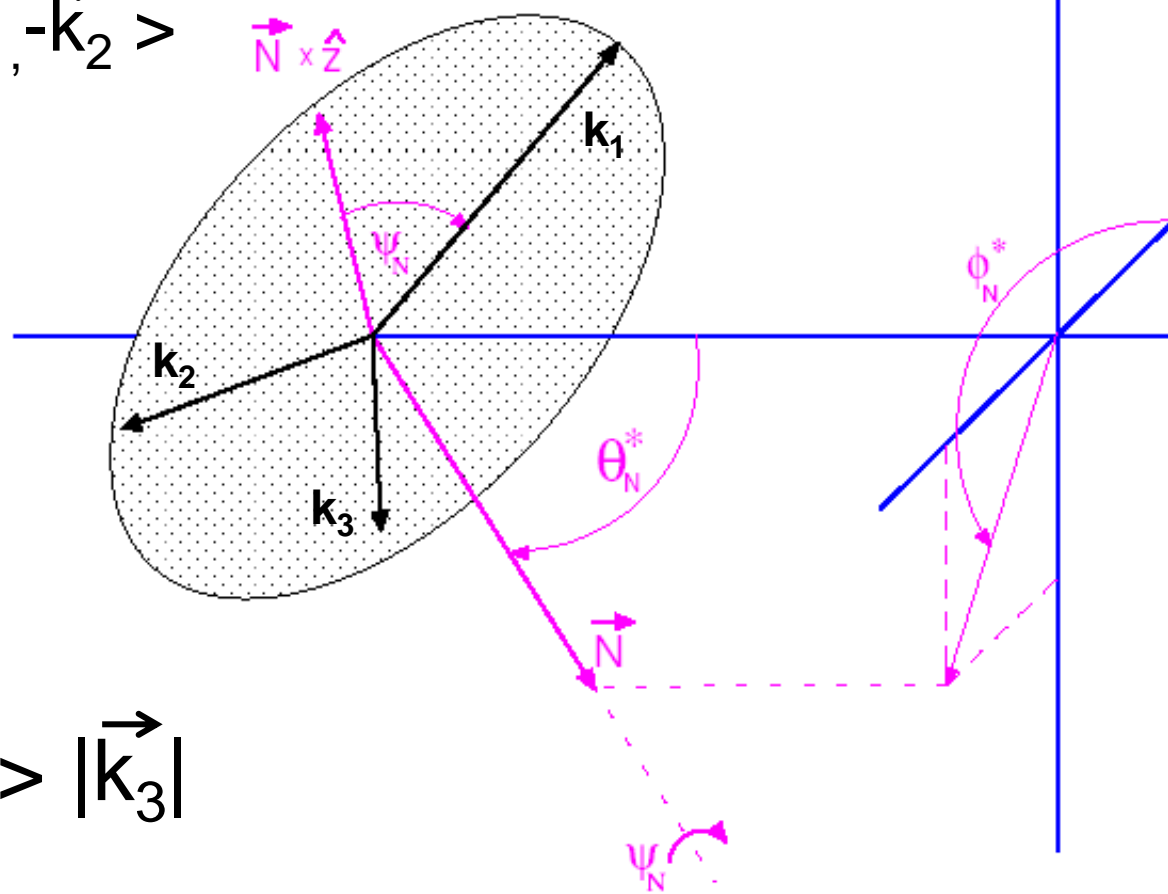
Operator

$$O \equiv \vec{S} \cdot \vec{k}_1 \times \vec{k}_2 \quad C \quad P \quad T \quad CP \quad CPT$$

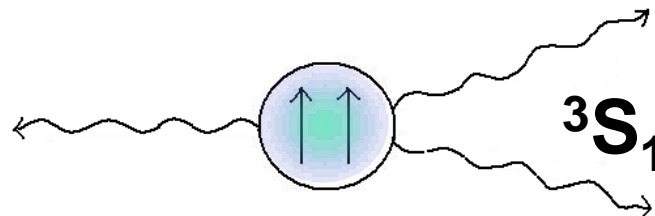
$$T |\vec{S}, \vec{k}_1, \vec{k}_2 \rangle = |-\vec{S}, -\vec{k}_1, -\vec{k}_2 \rangle$$

$$O |\vec{S}, \vec{k}_1, \vec{k}_2 \rangle = - O |-\vec{S}, -\vec{k}_1, -\vec{k}_2 \rangle$$

$$\sum O |\vec{S}, \vec{k}_1, \vec{k}_2 \rangle = 0$$



$$|\vec{k}_1| > |\vec{k}_2| > |\vec{k}_3|$$



Ortho-positronium tau(O-PS)  $\approx 142$  ns

Operator	C	P	T	CP	CPT
$\vec{S} \cdot \vec{k}_1 \times \vec{k}_2$	+	+	-	+	-

P.A. Vetter and S.J. Freedman,  
Phys. Rev. Lett. 91, 263401 (2003).  
 $C_{CPT} = 0.0071 \pm 0.0062$

**SM  $10^{-10} - 10^{-9}$**   
photon-photon interactions

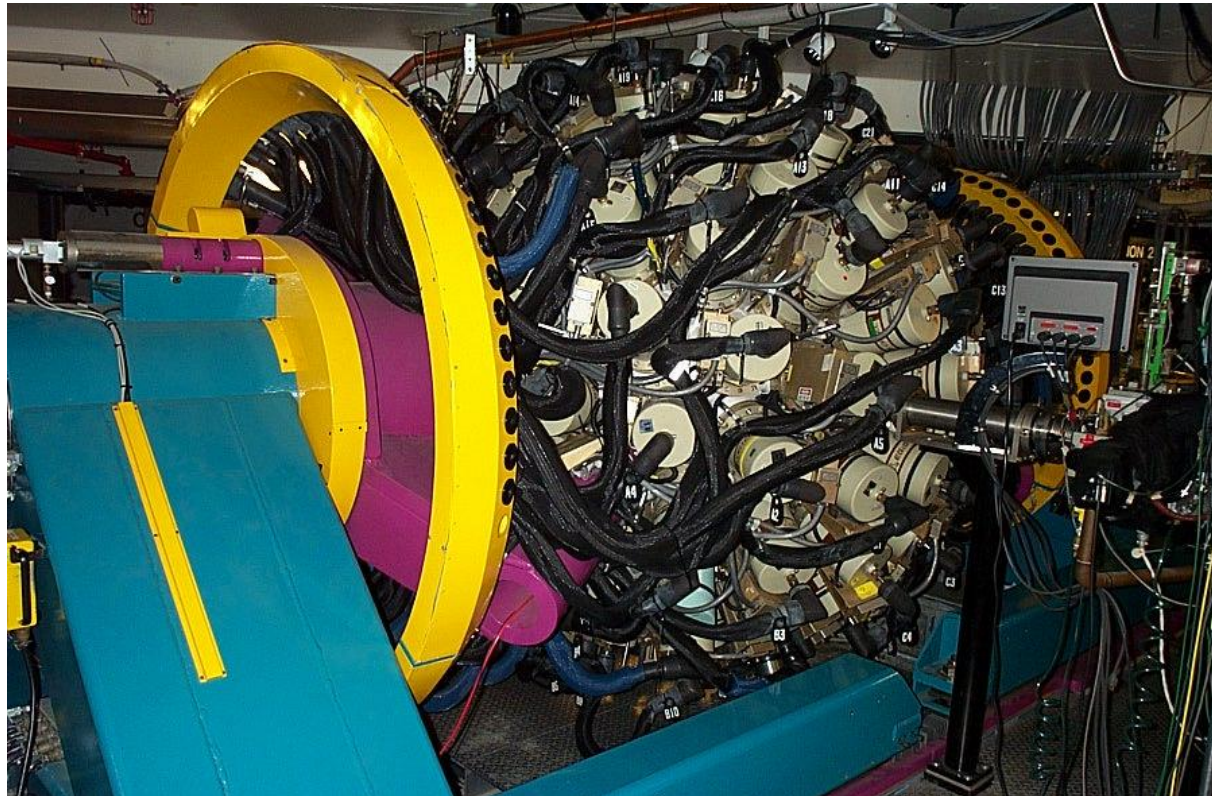
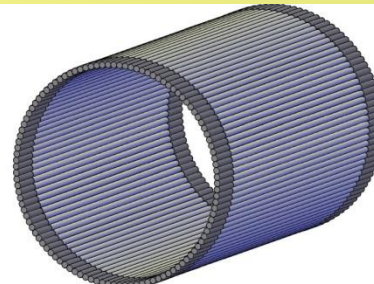
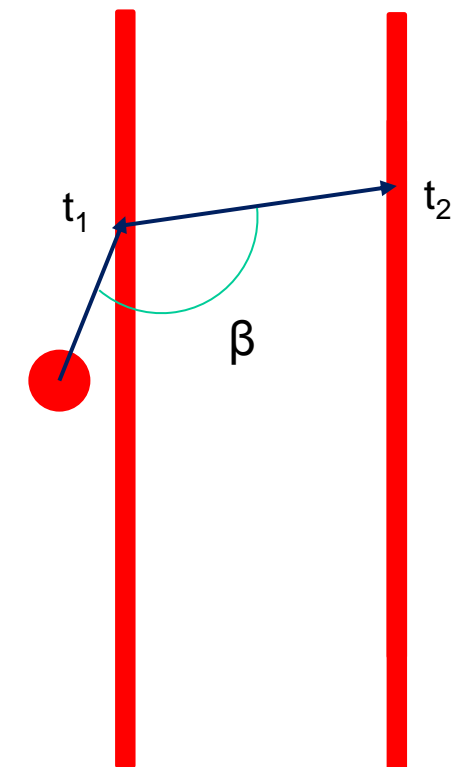
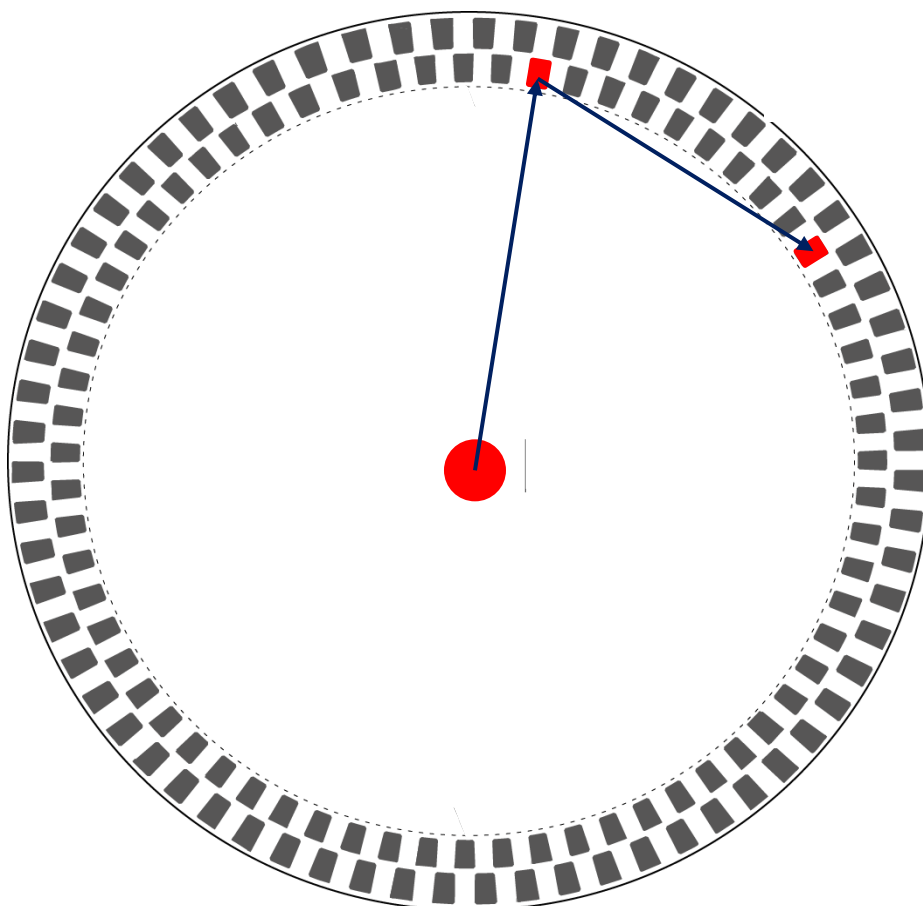


Figure taken from the presentation of P. Vetter, INT UW Seattle, November, 2002

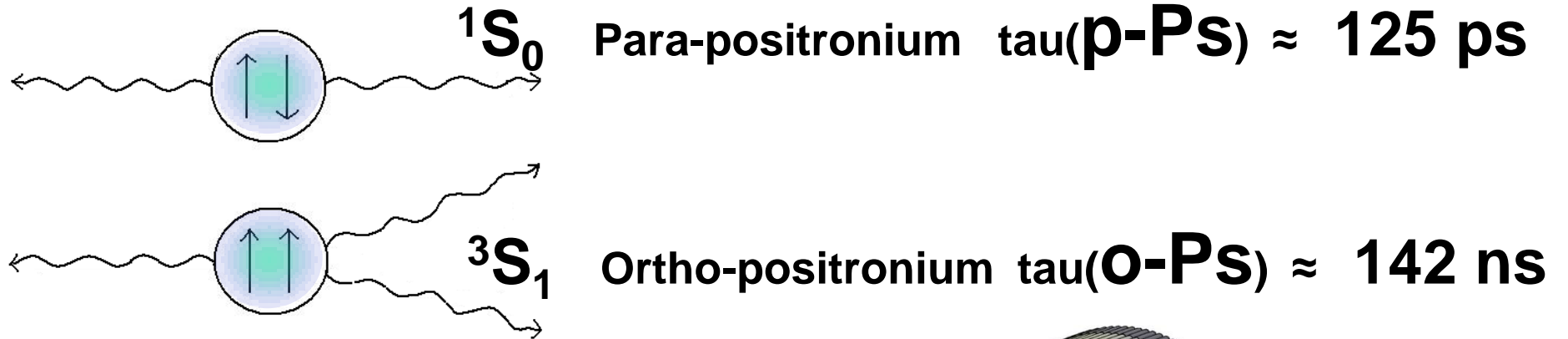
# J-PET --> polarization of $\gamma$



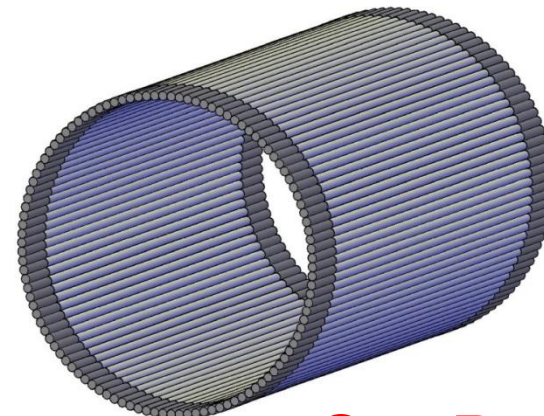
$$\sigma(t_1 - t_2) < 100\text{ps}$$



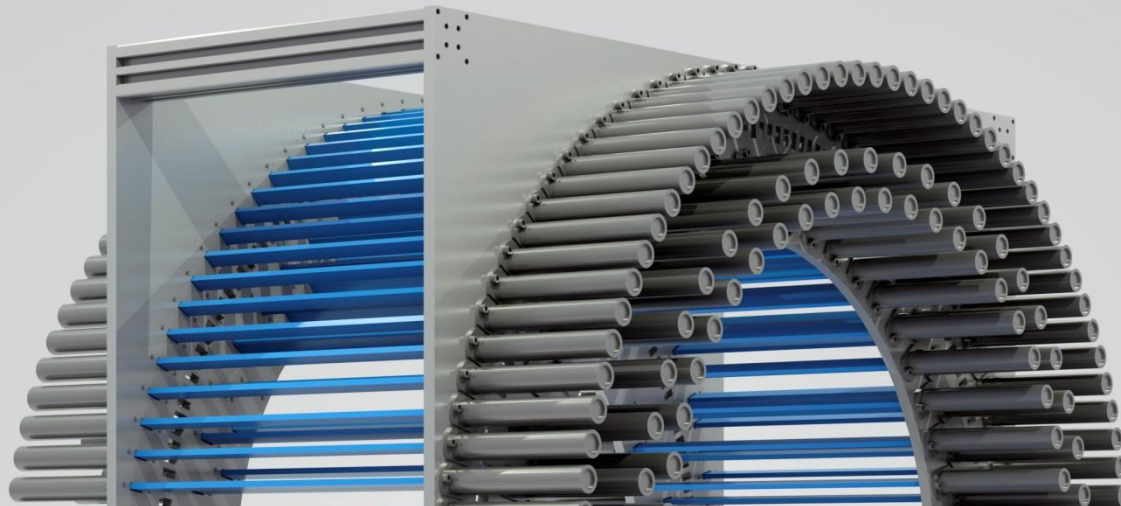
Compton scattering:  
 $\beta$  correlated with  $\vec{E}$



$T$	$P$
-	+
-	-
+	-

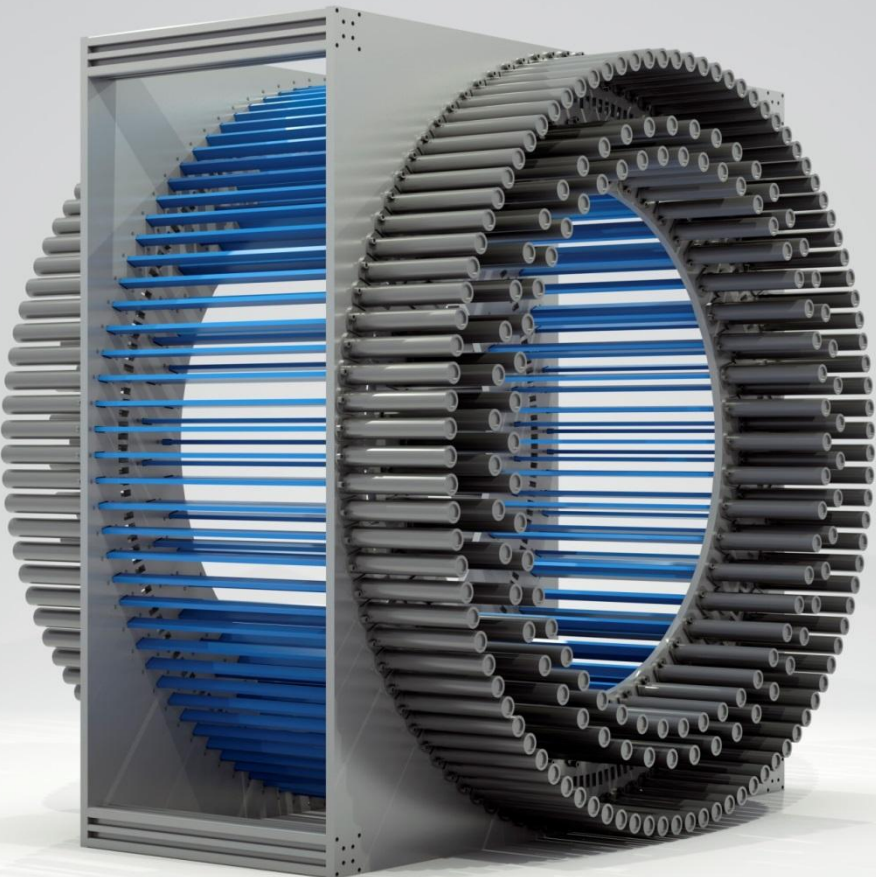


$^3\text{S}_1 \rightarrow 3\gamma$	-->	$\vec{S} \cdot \vec{k}_1 \times \vec{k}_2$ $(\vec{S} \cdot \vec{k}_1)(\vec{S} \cdot \vec{k}_1 \times \vec{k}_2)$	Operator	$C$ $P$ $T$ $CP$ $CPT$
$^1\text{S}_0 \rightarrow 2\gamma$	-->	$\vec{S} \cdot \vec{E}_1 \times \vec{E}_2$ $\vec{S} \cdot \vec{E}_1$	Operator	$C$ $P$ $T$ $CP$ $CPT$



- materia -- anty-materia
- ciemny foton
- Jagielloński PET
- symetrie dyskretne
- nano-struktura komórek

Jagiellonian PET

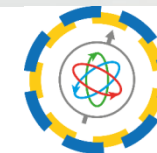


## Jagiellonian PET

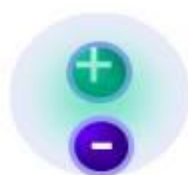
### RADIOAKTYWNY CUKIER

Fluoro-deoksy-glukoza  
(F-18 FDG)

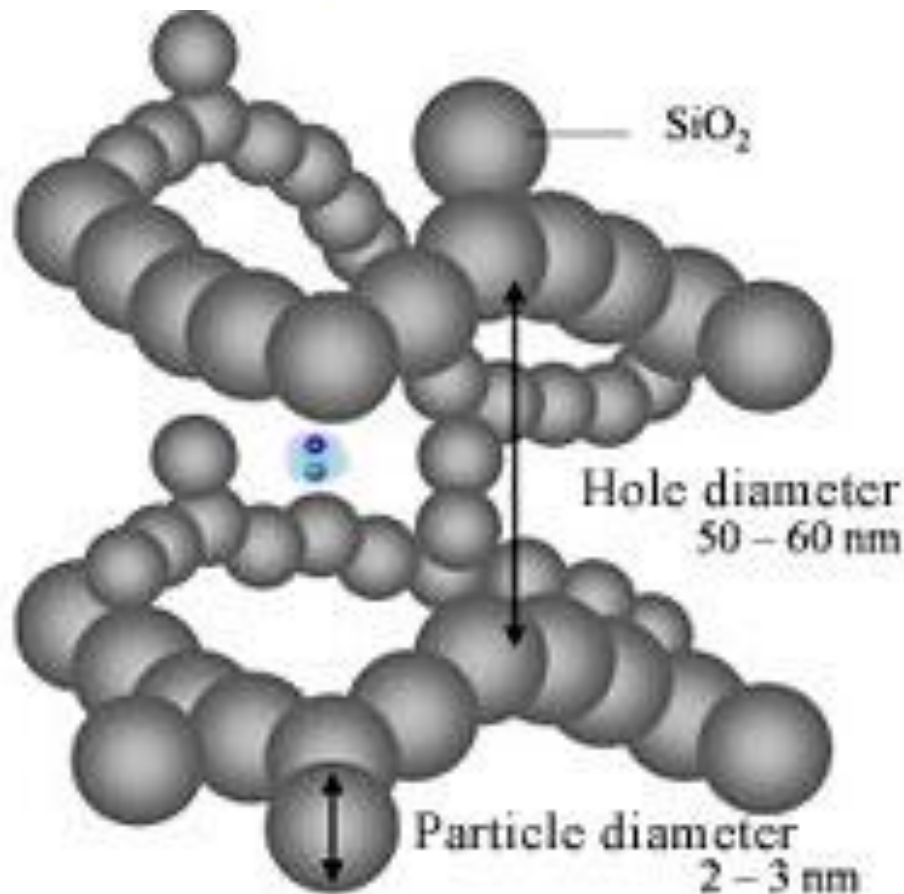
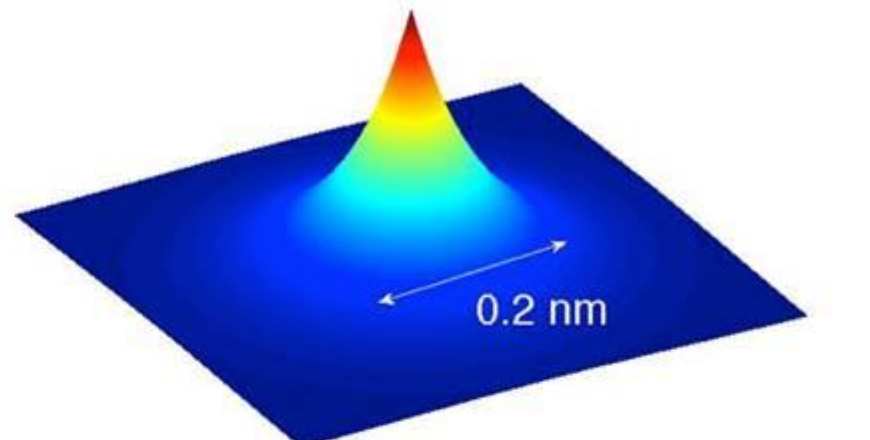
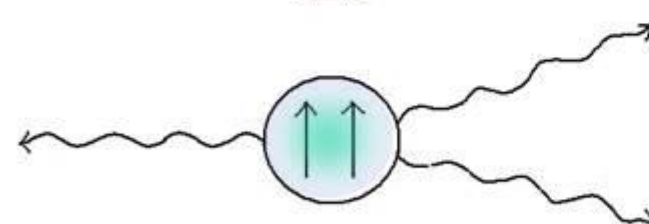
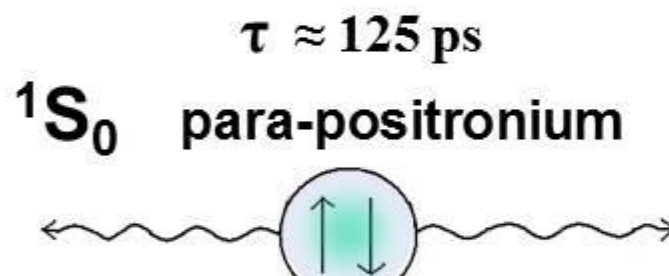
~200 000 000  
kwantów gamma na sekundę



J-PET

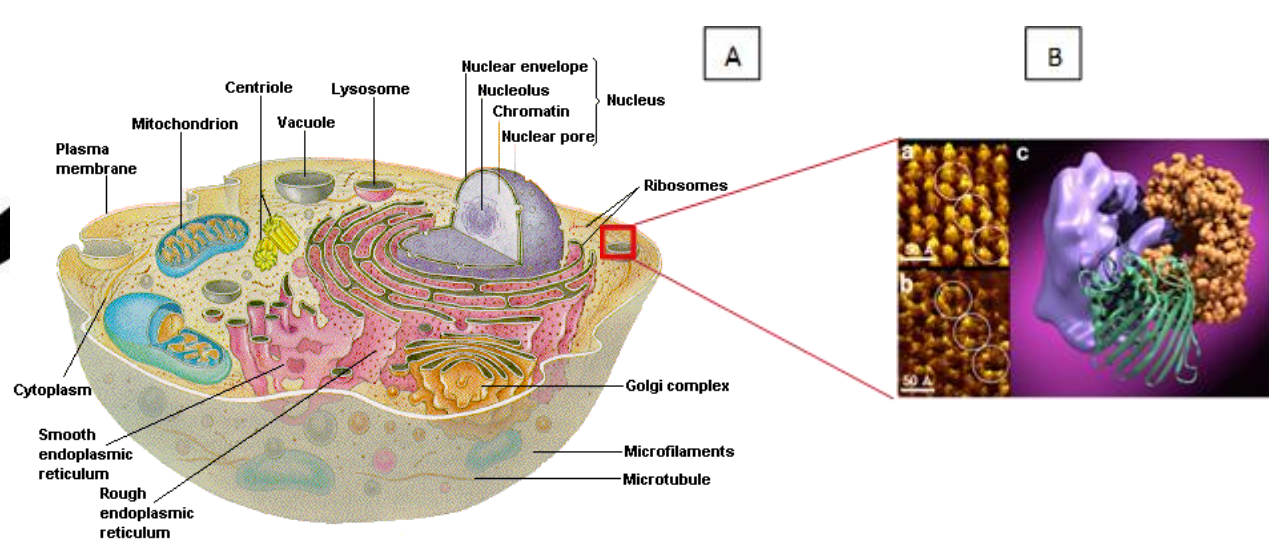
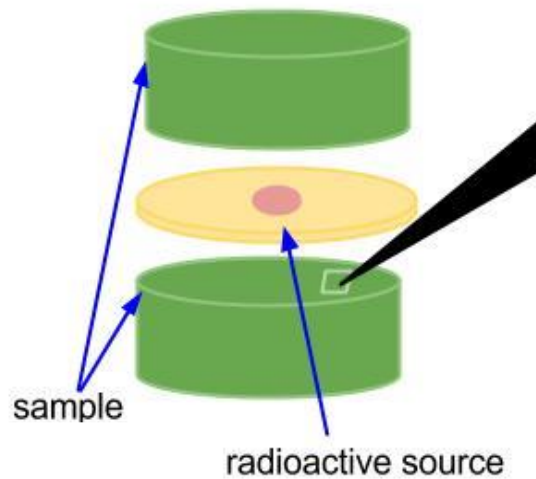


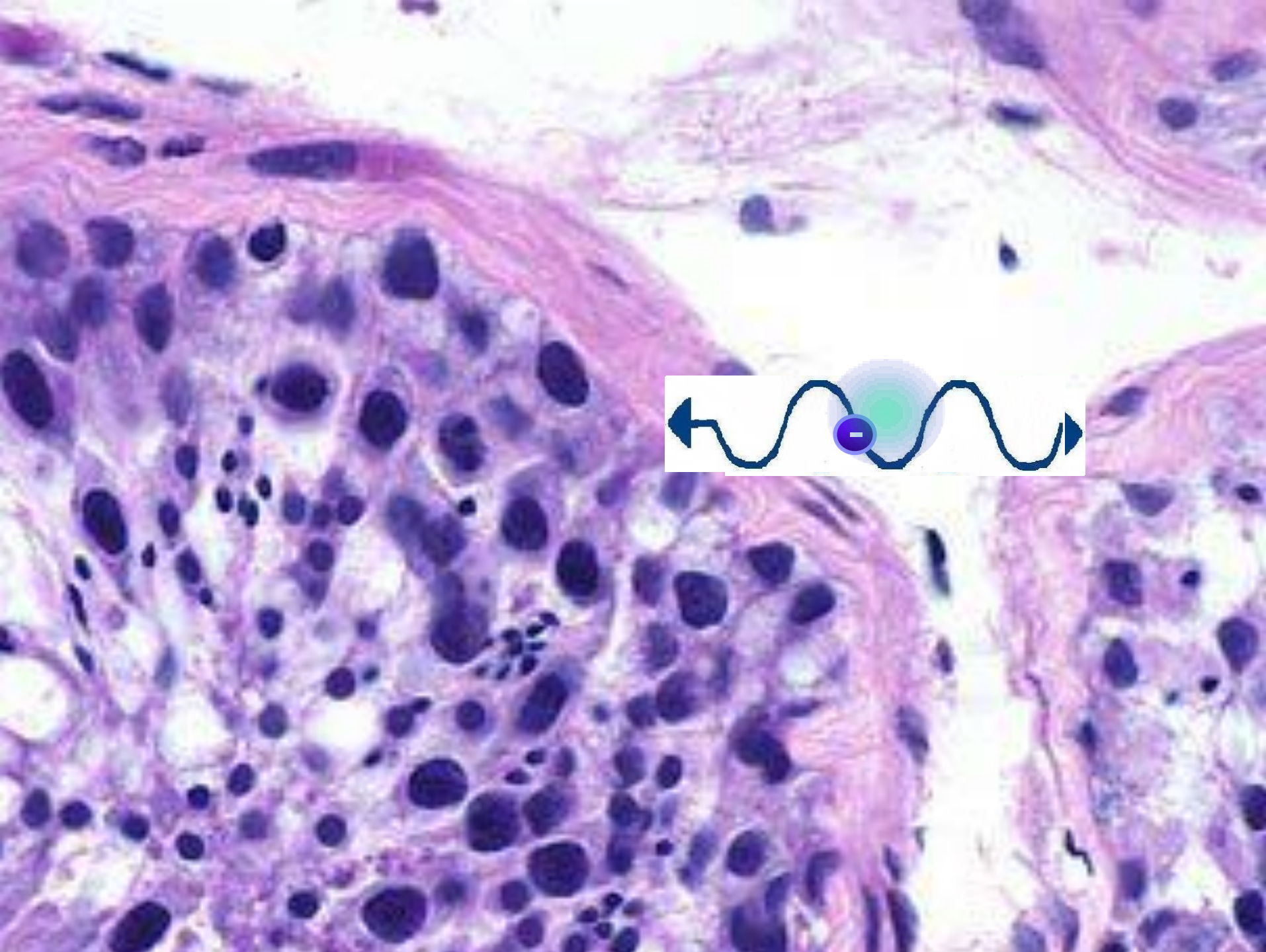
positronium

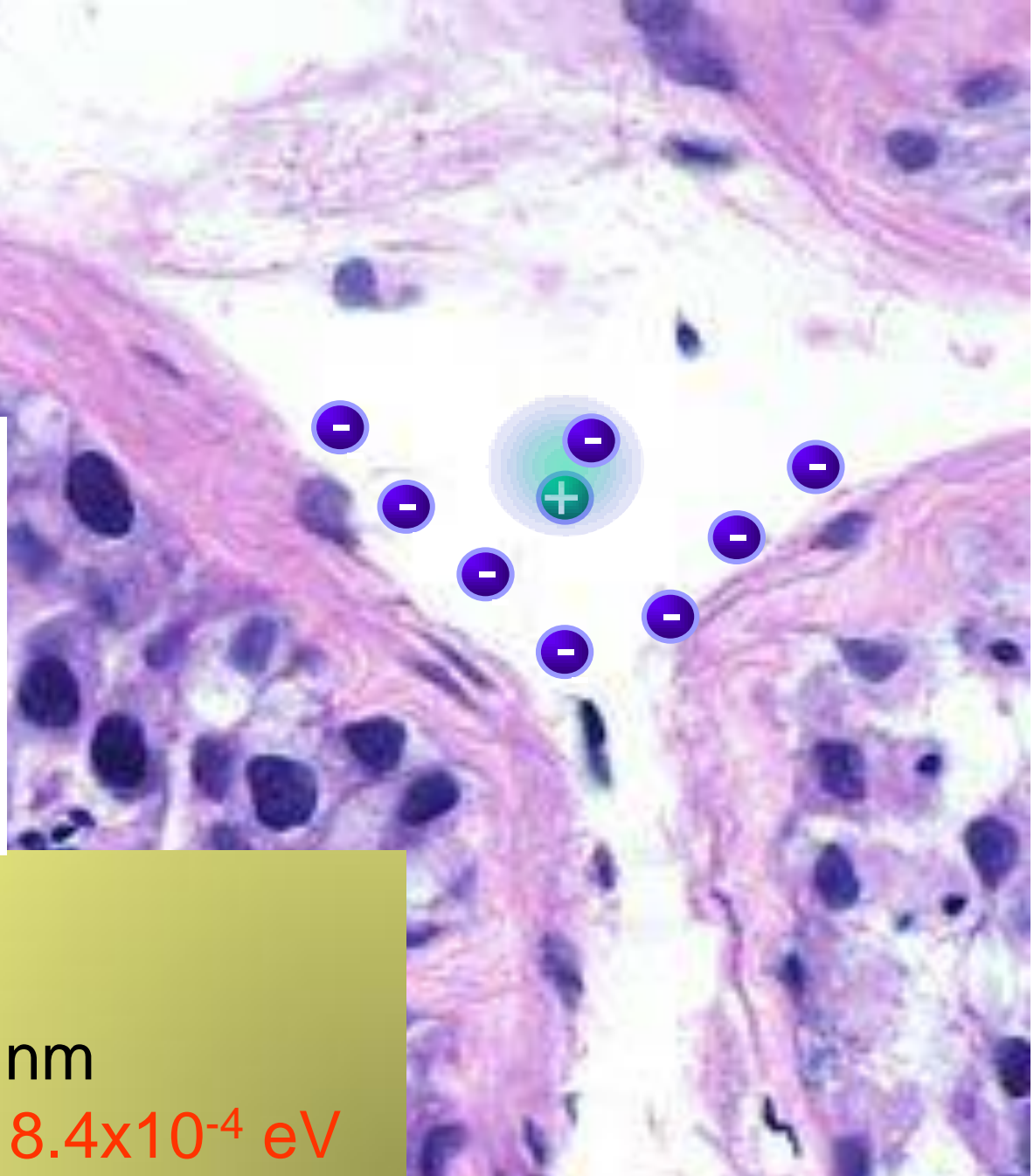
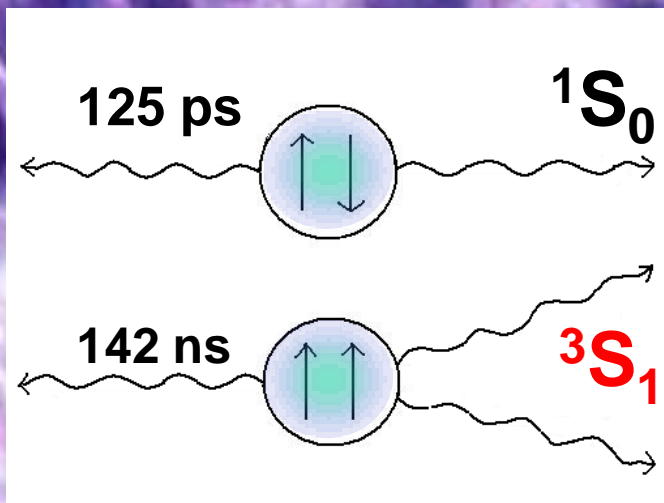


Hole diameter  
50 – 60 nm

Particle diameter  
2 – 3 nm







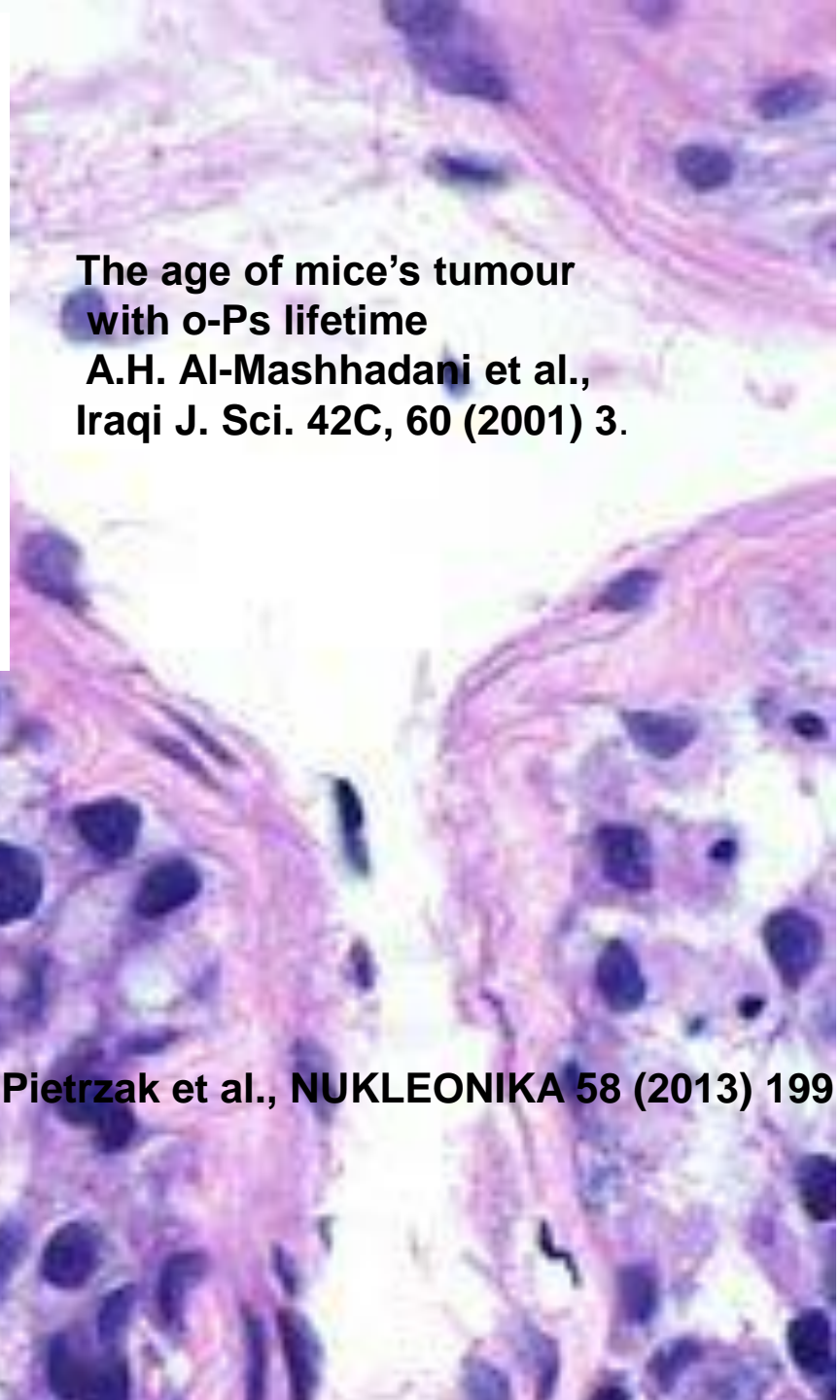
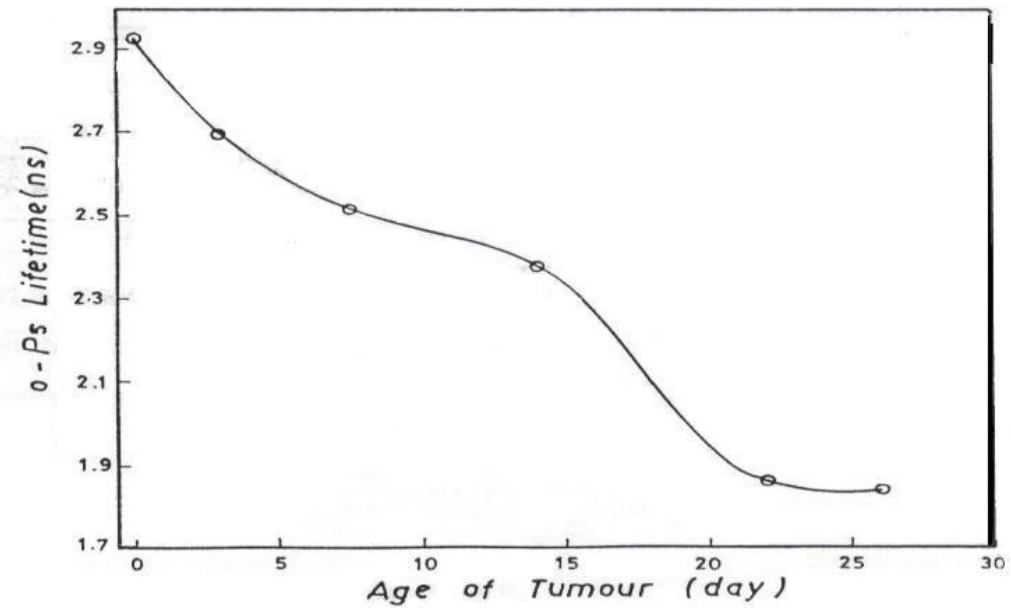
$$M_0 = mM/(M+m)$$

$$E = E_H/2 = 6.8 \text{ eV};$$

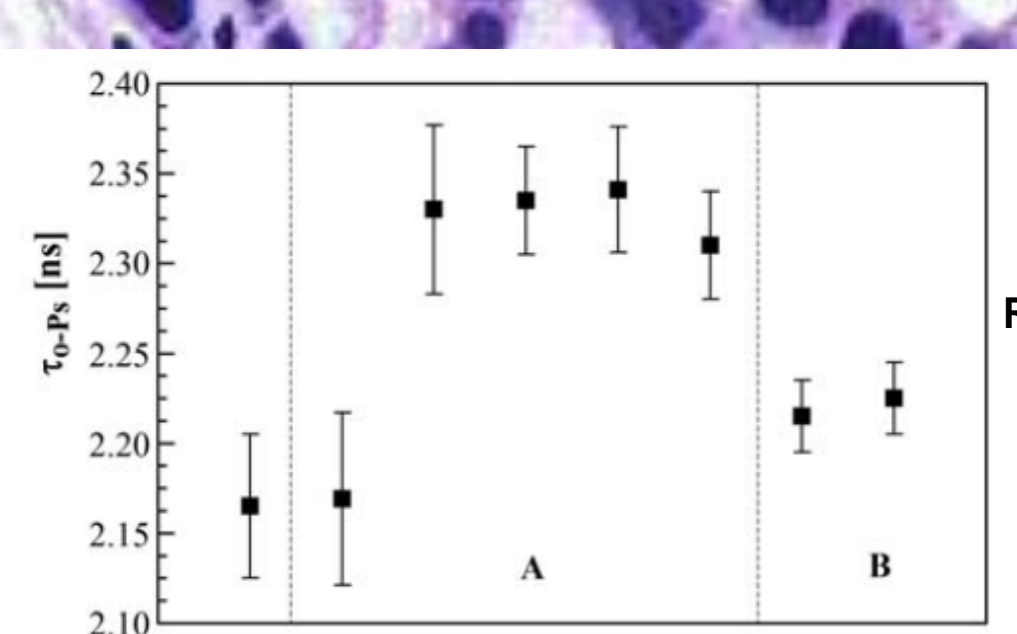
$$\text{Radius} = 2 r_B = 0.1 \text{ nm}$$

(hyperfine splitting)  $8.4 \times 10^{-4} \text{ eV}$

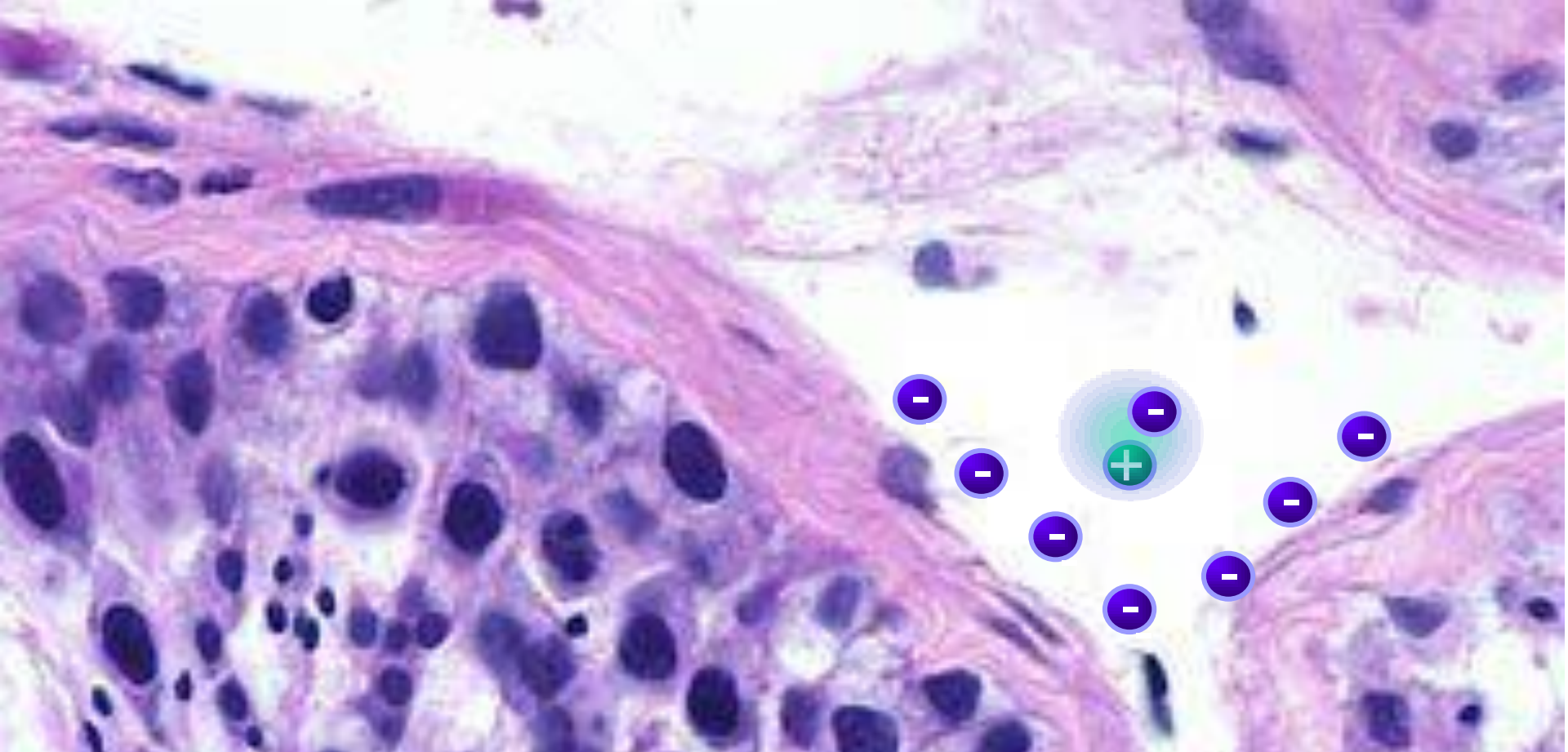
**Patent application:** Morphometric imaging PCT/EP2014/068374 (2014)



The age of mice's tumour  
with o-Ps lifetime  
A.H. Al-Mashhadani et al.,  
Iraqi J. Sci. 42C, 60 (2001) 3.



R. Pietrzak et al., NUKLEONIKA 58 (2013) 199

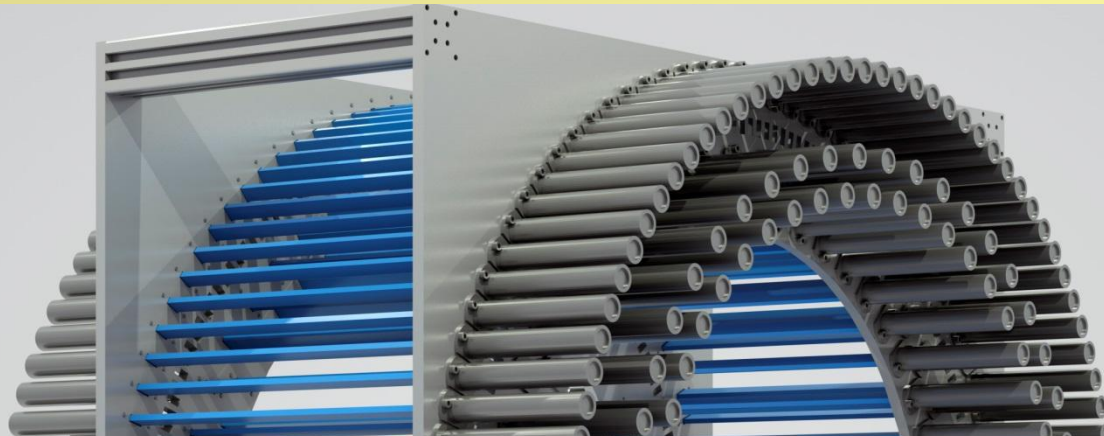


$$N(\Delta t) = N_0 P_{ps}^{3/4} e^{-\Delta t/\tau_{o-Ps}} + N_0 1/4 P_{ps} e^{-\Delta t/\tau_{p-Ps}} + N_0 (1-P_{ps}) e^{-\Delta t/\tau_b}$$

$$(\tau_{o-Ps} \cdot P_{poz})^{-1} \quad W = SUV / (\tau_{o-Ps} \cdot P_{poz})$$

Patent application:

Morphometric imaging PCT/EP2014/068374 (2013)



**DZIĘKUJĘ PAŃSTWU  
ZA UWAGĘ**



Jagiellonian PET